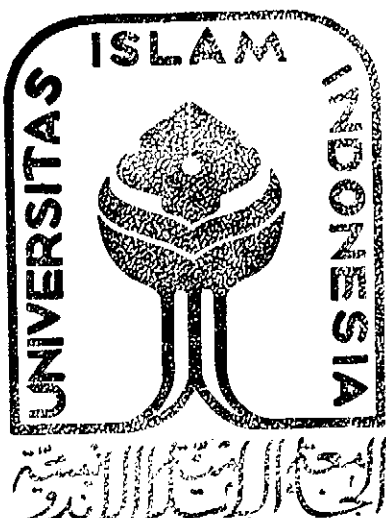


**TUGAS AKHIR**  
**TINJAUAN ANALISA DISPLACEMENT**  
**MENURUT METODE D - VALUE, KOLOM ANALOGI**  
**DAN EQUIVALENT BRACINGS**  
**PADA STRUKTUR PORTAL DINDING GESER**  
**GEDUNG BERTINGKAT BANYAK**



Disusun oleh :

**1. MOHAMMAD MAHRI**

No. Mhs. : 85 310 252

NIRM : 855014330251

MILIK PERPUSTAKAAN  
JURUSAN TEKNIK SIPIL  
FAKULTAS TEKNIK UI YOGYAKARTA

SUMBER BELAJAR ALUMNI  
JURUSAN TEKNIK SIPIL  
FAKULTAS TEKNIK UII

**JURUSAN TEKNIK SIPIL**  
**FAKULTAS TEKNIK SIPIL DAN PERENCANAAN**  
**UNIVERSITAS ISLAM INDONESIA**  
**YOGYAKARTA**

**1993 – 1994**



# **TUGAS AKHIR**

## **TINJAUAN ANALISA DISPLACEMENT MENURUT METODE D - VALUE, KOLOM ANALOGI DAN EQUIVALENT BRACINGS PADA STRUKTUR PORTAL DINDING GESER GEDUNG BERTINGKAT BANYAK**

Diajukan Untuk Melengkapi Persyaratan Dalam Rangka  
Memperoleh Derajat Sarjana Pada Jurusan Teknik Sipil  
Fakultas Teknik Sipil dan Perencanaan  
Universitas Islam Indonesia  
Yogyakarta

Disusun oleh :

1. MOHAMMAD MAHRI

No. Mhs. : 85 310 252

NIRM : 855014330251

2. MUH. TAUFIQ

No. Mhs : 85 310 254

NIRM : 855014330253

**SUMBANGAN ALUMNI  
JURUSAN TEKNIK SIPIL  
FAKULTAS TEKNIK UII**

**MILIK PERPUSTAKAAN  
JURUSAN TEKNIK SIPIL  
FAKULTAS TEKNIK UII YOGYA**

**JURUSAN TEKNIK SIPIL  
FAKULTAS TEKNIK SIPIL DAN PERENCANAAN  
UNIVERSITAS ISLAM INDONESIA  
YOGYAKARTA**

**1993 – 1994**



## KATA PENGANTAR

Bismillahirrahmanirrahim

Assalamu 'alaikum wr.wb.

Alhamdulillah, berkat Rahmat Alloh s.w.t. yang maha pemurah, akhirnya tugas akhir ini selesai kami susun. Tugas akhir ini berjudul : "Tinjauan Analisa Displacement Menurut Metode D-Value, Kolom analogi dan Equivalent bracings pada Struktur Portal Dinding Geser Gedung Bertingkat banyak".

Sesuai dengan judulnya maka tugas akhir ini menelaah teori tentang dinding geser dan disertai pula dengan simulasi perhitungannya dengan maksud agar dapat diketahui teori dan aplikasinya. Dengan harapan semoga dapat dijadikan landasan pada pekerjaan di lapangan nantinya walaupun sebenarnya tugas akhir ini belum sempurna, khususnya masih memerlukan pembahasan lebih lanjut tentang tinjauan gaya-gaya vertikal. Dalam tugas akhir ini parameter yang ditinjau adalah hanya displacement yang merupakan indikator kestabilan struktur portal.

Tugas akhir ini dapat terselesaikan adalah juga berkat bantuan dan dorongan dari banyak pihak antara lain:

1. Ir. Susastrawan,MS, selaku Dekan Fakultas Teknik Sipil dan Perencanaan Universitas Islam Indonesia, yang telah mengizinkan kami untuk menyusun tugas akhir ini,
2. Ir. Bambang Sulistiono,MSCE, selaku Ketua Jurusan Fakultas Teknik Sipil Universitas Islam Indonesia, yang telah menunjuk dosen pembimbing tugas akhir bagi kami,
3. Ir. M. Samsudin, selaku dosen pembimbing tugas akhir yang



telah memberikan koreksi dan arahan khususnya dalam pemilihan judul tugas akhir ini,

4. Ir. Suharyanto, MSCE, selaku assisten dosen pembimbing tugas akhir yang telah memberikan koreksi dan arahan dalam penulisan tugas akhir ini,
5. Bagian Pengajaran Fakultas Teknik Sipil dan Perencanaan Universitas Islam Indonesia yang banyak membantu kelancaran administrasi penyusunan tugas akhir ini,
6. Semua pihak yang telah membantu kami dalam menyusun tugas akhir ini baik langsung maupun tidak langsung, yang tidak dapat kami sebut satu persatu.

Kepada mereka semua kami mengucapkan ribuan terima kasih.

Akhirnya, mudah-mudahan tugas akhir ini bermanfaat bagi penyusun khususnya dan bagi para mahasiswa lain pada umumnya.

Wassalamu 'alaikum wr. wb.

Yogyakarta, 10 Mei 1994.

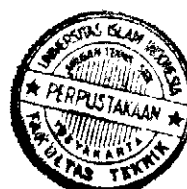
Penyusun Tugas akhir

Muh. Taufiq

Muh. Mahri

85310254

85310252



## DAFTAR ISI

Halaman Judul .....	i
Halaman Pengesahan .....	ii
Halaman Persembahan .....	iii
Halaman Motto .....	iv
Kata Pengantar .....	v
Daftar Isi .....	vii
Daftar Gambar .....	x
Daftar Tabel .....	xi
<b>BAB 1 PENDAHULUAN</b>	
1.1. Latar Belakang Studi .....	1
1.2. Rumusan Masalah .....	3
1.3. Tujuan Studi Pustaka .....	3
1.4. Pembatasan Masalah .....	3
1.5. Metodologi .....	5
<b>BAB 2 TINJAUAN PUSTAKA</b>	
2.1. Landasan Teori	
2.2.1. Perhitungan Beban Gempa .....	7
2.2.1.1. Analisa Beban Statis Ekivalen	7
2.2.1.2. Analisa Beban Dinamis .....	14
2.1.2. Parameter Kekakuan .....	14
2.1.3. Deformasi Akibat Gempa .....	17
2.1.4. Anggapan terhadap Dinding Geser	18
2.1.4.1. Dinding Geser sebagai kolom ..	19
2.1.4.2. Dinding Geser sebagai "Equivalent Bracings" .....	19



<b>BAB 3 SIMULASI PERHITUNGAN</b>	<b>25</b>
3.1. Analisa Portal tanpa Dinding Geser (kondisi 1)	26
3.2. Analisa Portal dengan Dinding Geser (kondisi 2)	32
3.3. Ikhtisar Diagram Gaya Geser .....	42
3.4. Analisa Portal dengan Dinding Geser (kondisi 3)	43
3.5. Analisa Portal dengan Dinding Geser (kondisi 4)	49
<b>BAB 4 PROGRAM KOMPUTER</b>	
4.1. Pendahuluan .....	53
4.2. Program Framex-1 .....	53
4.3. Cara operasi Program Framex-1 .....	53
4.4. Cara Penomoran titik nodal dan batang .....	54
4.4.1. Cara penomoran Pertama .....	55
4.4.2. Cara Penomoran Kedua .....	58
<b>BAB 5 HASIL PERHITUNGAN DAN PEMBAHASAN</b>	
5.1. U m u m .....	63
5.2. Ringkasan Hasil Perhitungan .....	63
5.2.1. Hasil Perhitungan Manual dengan Metode Muto .....	63
5.2.2. Hasil Perhitungan dengan Microcomputer .....	65
5.2.2.1. Anggapan Dinding Geser sebagai Kolom .....	65
5.2.2.2. Anggapan Dinding Geser sebagai "Equivalent Bracings" .....	66
5.2.3. Perbandingan Hasil Perhitungan pada masing-masing Kondisi .....	68



<b>BAB 6 KESIMPULAN DAN SARAN</b>	<b>76</b>
6.1. Kesimpulan .....	76
6.2. Saran-saran .....	77
<b>Penutup .....</b>	<b>79</b>
<b>Daftar Pustaka .....</b>	<b>80</b>
<b>LAMPIRAN-LAMPIRAN</b>	<b>81</b>



## DAFTAR GAMBAR

	Halaman
Gambar 2.1. Pembagian wilayah Gempa Indonesia .....	8
2.2. Hubungan koefisien gempa dasar dengan waktu getar alami .....	9
2.3. Ketinggian maximum bangunan .....	13
2.4. Denah penonjolan bangunan .....	13
2.5. Penjulangan bangunan gedung .....	14
2.6. Dinding geser sebagai kolom .....	19
2.7. Gaya yang bekerja pada portal terbuka .....	20
2.8. Gaya horizontal pada portal dengan "Equivalent bracings" .....	22
2.9. Anggapan dinding geser sebagai kolom equivalent ..	24
2.10. Balok equivalent .....	24
Gambar 3.1. Bangunan tampak atas .....	25
3.2. Bangunan tampak samping .....	25
3.3. Diagram gaya geser yang ditahan oleh portal tanpa dinding geser .....	31
3.4. Diagram defleksi horizontal .....	31
3.5. Diagram gaya geser portal dengan dinding geser ..	34
3.6. Bangunan tampak samping dengan dinding geser ...	35
3.7. Portal dengan dinding geser yang diidealisisir ...	35
3.8. Denah letak dinding geser .....	36
3.9. Diagram defleksi horizontal .....	40
3.10. Diagram gaya geser dan diagram defleksi horizontal untuk portal tanpa dinding geser .....	42

3.11.	Diagram gaya geser dan diagram defleksi horizontal untuk portal dengan dinding geser .....	42
3.12.	Diagram gaya geser yang dipikul portal dengan dinding geser setelah ukuran balok dan kolomnya diubah .....	44
3.13.	Diagram defleksi horizontal ( $\theta_1$ ) setelah ukuran balok dan kolomnya diubah .....	48
3.14.	Diagram defleksi horizontal ( $\theta_1$ ) setelah ukuran balok dan kolomnya diubah .....	52
Gambar 4.1.	Penomoran titik joint dan batang portal terbuka (kondisi 1) .....	55
4.2.	Penomoran titik joint dan batang portal dengan dinding geser dianggap sebagai kolom (kondisi 2)	56
4.3.	Penomoran titik joint dan batang portal dengan dinding geser dianggap sebagai kolom (kondisi 3)	57
4.4.	Penomoran titik joint & batang portal dengan dinding geser dianggap sebagai kolom (kondisi 4)	58
4.5.	Penomoran titik joint dan batang portal terbuka tanpa dinding geser (kondisi 1) .....	59
4.6.	Penomoran titik joint dan batang portal terbuka dengan dinding geser dianggap sebagai "equivalent bracings" (kondisi 2) .....	60
4.7.	Penomoran titik joint dan batang portal terbuka dengan dinding geser dianggap sebagai "equivalent bracings" (kondisi 3) .....	61



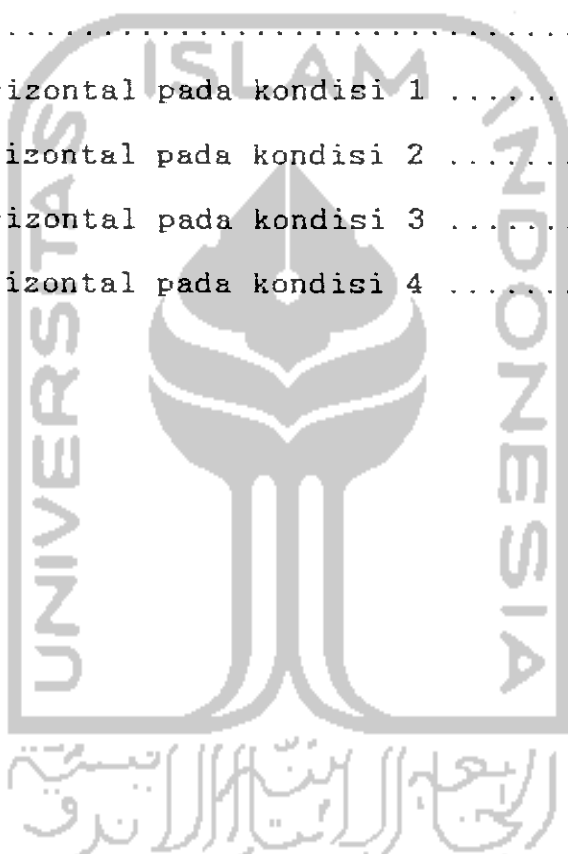
4.8. Penomoran titik joint dan batang portal terbuka dengan dinding geser dianggap sebagai "equivalent bracings" (kondisi 4) .....	62
Gambar 5.1. Grafik defleksi pada kondisi 1 .....	69
5.2. Grafik defleksi pada kondisi 2 .....	71
5.3. Grafik defleksi pada kondisi 3 .....	72
5.4. Grafik defleksi pada kondisi 4 .....	74



## DAFTAR TABEL

Nomor Tabel	Halaman
2.1. Faktor Keutamaan Gedung .....	10
2.2. Faktor Jenis Konstruksi .....	11
2.3. Variasi nilai $k$ dan $a$ .....	17
3.1. Hitungan Distribusi Gaya Geser .....	28
3.2. Harga $k$ dan $a$ untuk portal terbuka tanpa dinding geser .....	29
3.3. Defleksi Horizontal pada portal terbuka .....	30
3.4. Hitungan distribusi gaya geser .....	32
3.5. Hitungan distribusi gaya geser .....	34
3.6. Harga $k$ dan $a$ untuk portal dengan dinding geser .....	38
3.7. Perhitungan $\Sigma an_i$ dan $Kk n_i$ .....	38
3.8. Lanjutan Perhitungan $\Sigma an_i$ dan $Kk n_i$ .....	39
3.9. Defleksi horizontal pada portal dan dinding geser ....	40
3.10. Hitungan distribusi gaya geser .....	41
3.11. Hitungan distribusi gaya geser .....	44
3.12. Harga $k$ dan $a$ untuk portal dengan dinding geser .....	45
3.13. Perhitungan $\Sigma an_i . Kk n_i$ .....	46
3.14. Perhitungan $\Sigma an . kk$ .....	47
3.15. Hitungan defleksi horizontal lantai 1 - 4 .....	47
3.16. Hitungan defleksi horizontal lantai 5 - 7 .....	48
3.17. Harga $k$ dan $a$ untuk portal dengan dinding geser .....	50
3.18. Perhitungan $\Sigma an_i . Kk n_i$ .....	51
3.19. Hitungan defleksi horizontal lantai 1 - 7 .....	52

5.1. Defleksi Horizontal pada struktur portal terbuka dengan dinding geser yang dianggap sebagai kolom .....	64
5.2. Defleksi Horizontal pada struktur portal terbuka dengan dinding geser yang dianggap sebagai kolom .....	65
5.3. Defleksi Horizontal pada struktur portal terbuka dan dengan dinding geser yang dianggap sebagai "equivalent bracings" .....	67
5.4. Defleksi horizontal pada kondisi 1 .....	69
5.5. Defleksi horizontal pada kondisi 2 .....	71
5.6. Defleksi horizontal pada kondisi 3 .....	72
5.7. Defleksi horizontal pada kondisi 4 .....	74



## BAB I

### PENDAHULUAN

#### 1.1. Latar belakang Studi

Pembangunan gedung bertingkat banyak merupakan pemecahan terhadap masalah konsentrasi penduduk yang padat, kelangkaan tanah dan harga tanah yang mahal di kota-kota besar. Oleh karena itu pembangunan gedung bertingkat banyak semakin berkembang terutama di kota-kota besar di Indonesia.

Satu hal yang perlu diperhatikan dalam hal ini adalah bahwa Indonesia berada pada kawasan rawan-gempa yang mempunyai resiko tinggi terhadap gempa. Oleh karena itu perencanaan bangunan bertingkat banyak tidak boleh mengabaikan analisa struktur yang mampu menahan gaya gempa. Dalam merencanakan bangunan bertingkat banyak, pemikiran yang paling mendasar adalah bahwa suatu bangunan harus mampu menghadapi gaya-gaya vertikal gravitasi dan gaya-gaya horizontal angin di atas tanah serta gaya-gaya gempa di bawah tanah.

Untuk mengukur resiko yang dapat timbul akibat gempa tersebut dapat direncanakan dua jenis struktur gedung yang ekstrim yaitu bentuk rangka kosong ("frame structures") dan bentuk dinding geser ("shear wall structures"). Bentuk rangka kosong kurang kaku bila dibandingkan dengan bentuk dinding geser dan defleksi pada gedung rangka kosong menghasilkan putaran pada ujung-ujung balok dan kolom.



## BAB I

### PENDAHULUAN

#### 1.1. Latar belakang Studi

Pembangunan gedung bertingkat banyak merupakan pemecahan terhadap masalah konsentrasi penduduk yang padat, kelangkaan tanah dan harga tanah yang mahal di kota-kota besar. Oleh karena itu pembangunan gedung bertingkat banyak semakin berkembang terutama di kota-kota besar di Indonesia.

Satu hal yang perlu diperhatikan dalam hal ini adalah bahwa Indonesia berada pada kawasan rawan-gempa yang mempunyai resiko tinggi terhadap gempa. Oleh karena itu perencanaan bangunan bertingkat banyak tidak boleh mengabaikan analisa struktur yang mampu menahan gaya gempa. Dalam merencanakan bangunan bertingkat banyak, pemikiran yang paling mendasar adalah bahwa suatu bangunan harus mampu menghadapi gaya-gaya vertikal gravitasi dan gaya-gaya horizontal angin di atas tanah serta gaya-gaya gempa di bawah tanah.

Untuk mengatasi resiko yang dapat timbul akibat gempa tersebut dapat direncanakan dua jenis struktur gedung yang ekstrim yaitu bentuk rangka kosong ("frame structures") dan bentuk dinding geser ("shear wall structures"). Bentuk rangka kosong kurang kaku bila dibandingkan dengan bentuk dinding geser dan defleksi pada gedung rangka kosong menghasilkan putaran pada ujung-ujung balok dan kolom.

Sebaliknya bentuk dinding geser akan bergeser akibat digoncang oleh gempa sehingga menghasilkan gaya-gaya geser yang besar di dalam unsur-unsurnya terutama pada alas dinding geser tersebut.<sup>1</sup>

Dengan tujuan yang sama Kiyoshi Muto menyebutkan ada 3 jenis struktur yang memiliki daya tahan terhadap gempa yaitu:

- 1) Portal terbuka ("open frames"),
- 2) Portal dinding ("walled frames"),
- 3) Dinding geser ("shear wall") dan portal dengan penyokong diagonal ("diagonally braced frames").<sup>2</sup>

Dalam menganalisa reaksi struktur terhadap gaya geser akibat beban gempa salah satu caranya adalah analisa berdasarkan koefisien distribusi gaya geser. Pada awalnya analisa distribusi gaya geser ini hanya berdasarkan pada ratio pembagian gaya geser akibat beban gempa tanpa memperhitungkan ketegaran/kekakuan dinding dan kolom sangat berperan dalam menahan gaya geser.

Asumsi yang muncul kemudian adalah bahwa semakin tegar struktur bangunan maka semakin besar koefisien distribusi gaya gesernya dan semakin besar pula gaya geser yang dapat ditahan oleh struktur tersebut.

<sup>1</sup> David L. Hutchison, Desain Bangunan Tingkat Banyak Tahan Gempa, DPU, 1983, Bab 2, Hal. 1

<sup>2</sup> Muto, Kiyoshi, Analisis Perencanaan Gedung Tahan Gempa, Erlangga, 1987, hal. 22



#### **1.2. Rumusan masalah**

Dari dua jenis struktur yang dapat menahan gaya gempa yaitu *portal terbuka* dan *dinding geser* dapat dibandingkan koefisien distribusi gaya geser pada masing-masing jenis strukturnya sehingga dapat diketahui kemampuan masing-masing jenis struktur tersebut dalam menahan gaya gempa. Berdasarkan uraian latar belakang studi di atas maka dirumuskan masalah dalam tugas akhir ini yaitu "Tinjauan Analisa Displacement Menurut Metode D-Value, Kolom analogi dan Equivalent Bracings pada Struktur Portal Dinding geser Gedung Bertingkat banyak".

#### **1.3. Tujuan Studi Pustaka**

Pemulisan tugas akhir berupa studi pustaka ini bertujuan antara lain:

- a. mengetahui perbandingan koefisien distribusi gaya geser akibat gempa pada bangunan tinggi antara sistem portal terbuka dan sistem dinding geser,
- b. mengetahui efisiensi pemakaian dinding geser pada bangunan bertingkat banyak,
- c. mengembangkan analisa distribusi gaya geser akibat gempa berdasarkan metode kekakuan struktur.

#### **1.4. Pembatasan masalah**

Untuk memperjelas pembahasan dalam penulisan tugas akhir ini, perlu pembatasan masalah dalam hal-hal sebagai berikut:



*a. Jenis struktur yang ditinjau*

Dalam penulisan tugas akhir ini hanya 2 (dua) jenis struktur tahan gempa yang ditinjau yaitu portal terbuka ("open frames") dan dinding geser ("shear wall"). Dasar pemikirannya adalah bahwa dinding geser memiliki nilai kekakuan struktur terbesar dan portal terbuka memiliki nilai kekakuan struktur terkecil. Sedangkan portal dinding ("walled frames") yang memiliki nilai kekakuan struktur sedang tidak dibahas dalam tugas akhir ini.

*b. Jenis bahan konstruksi*

Struktur yang ditinjau diasumsikan terbuat dari beton bertulang biasa, sehingga perhitungan kekuatan strukturnya dapat mengacu kepada peraturan beton yang ada di Indonesia pada saat ini.

*c. Bentuk dasar bangunan*

Bentuk dasar bangunan akan berpengaruh pada tanggapan struktur terhadap gaya-gaya yang bekerja, di mana bangunan yang tidak simetris akan menimbulkan akси torsi. Dalam penulisan tugas akhir ini bentuk dasar bangunan diasumsikan simetris sehingga gaya torsi dapat disibaikan. Yang dimaksud dengan bentuk bangunan yang simetris disini adalah bangunan yang bertutuk kubus tanpa adanya penonjolan pada semua sisi-sisinya.

*d. Tinggi bangunan*

Bangunan yang ditinjau dibatasi pada bangunan dengan ketinggian < 40 meter sehingga memungkinkan

untuk dihitung dengan analisa beban statis ekivalen. Selain itu pemakaian bahan konstruksi bangunan berupa beton bertulang masih dimungkinkan karena pada gedung dengan ketinggian > 40 meter pemakaian beton bertulang menjadi tidak efisien bila dibandingkan dengan pemakaian baja profil.

e. *Lokasi bangunan*

Pengaruh gempa antara satu daerah dengan daerah lain di Indonesia berbeda-beda karena koefisien gempa dasarnya berbeda-beda pula. Dalam penulisan tugas akhir ini bangunan yang ditinjau diasumsikan terletak di kota Yogyakarta (pada wilayah gempa 3).

f. *bentuk dan letak dinding geser.*

Pada dasarnya dinding geser dapat dibuat dalam berbagai bentuk antara lain segi empat, segi tiga, lingkaran, bentuk huruf L, bentuk huruf X dan panel. Demikian pula dinding geser dapat ditempatkan pada berbagai posisi antara lain di pinggir bangunan, di tengah-tengah bangunan maupun di sudut-sudut bangunan. Dalam tugas akhir ini dinding geser yang ditinjau berbentuk panel dan diletakkan di pinggir bangunan yang menjadi satu kesatuan dengan portal terluar.

i.5. *Metodologi*

Secara garis besar studi pustaka ini akan membahas tinjauan pemakaian dinding geser dalam hubungannya dengan kemampuan struktur dalam menahan gaya geser serta gaya-gaya yang timbul pada struktur baik yang tidak



memakai dinding geser maupun yang memakai dinding geser. Pembahasan masalah tersebut dibagi dalam beberapa tahap yaitu:

a. *Analisa beban gempa*

Sebagai langkah awal dalam menganalisa koefisien distribusi gaya geser akibat beban gempa adalah mengetahui besarnya gaya geser pada lantai-tingkat bangunan. Analisa yang digunakan adalah analisa beban statis ekivalen. Analisa ini dapat digunakan karena ketinggian bangunan yang ditinjau < 40 meter.<sup>3</sup>

b. *Analisa Kekakuan Portal*

Sebagaimana telah disebutkan di dalam latar belakang studi bahwa kekakuan struktur akan mempengaruhi distribusi gaya geser maka perlu diketahui nilai kekakuan struktur portal pada dua kondisi yang berbeda yaitu portal dengan dinding geser dan portal tanpa dinding geser.

c. *Analisa perbandingan*.

Setelah diketahui distribusi gaya geser pada masing-masing lantai tingkat dan nilai kekakuan portal maka dapat dilakukan perbandingan terhadap nilai defleksi struktur yang terjadi pada dua keadaan yang berbeda tersebut dengan maksud untuk mengetahui pemakaian luasan dinding geser yang paling efisien.

<sup>3</sup>Departemen Pekerjaan Umum, Peraturan Perencanaan Tahan Gempa Indonesia untuk Gedung, 1983, hal. 9

## BAB II

### TINJAUAN PUSTAKA

#### 2.1. Landasan Teori

##### 2.2.1. Perhitungan beban gempa

Beban gempa yang bekerja pada suatu struktur dapat dianalisa dengan 2 cara yaitu:

- 1) Analisa beban statis ekivalen,
- 2) Analisa beban dinamis

###### 2.2.1.1. Analisa beban statis ekivalen

Analisa beban statis ekivalen memiliki rumus dasar:

$$V = C \cdot I \cdot K \cdot W^4$$

di mana:

$V$  = beban geser akibat gempa

$C$  = koefisien gempa dasar

$I$  = faktor keutamaan bangunan

$K$  = faktor jenis struktur

$W$  = kombinasi beban mati dan beban hidup

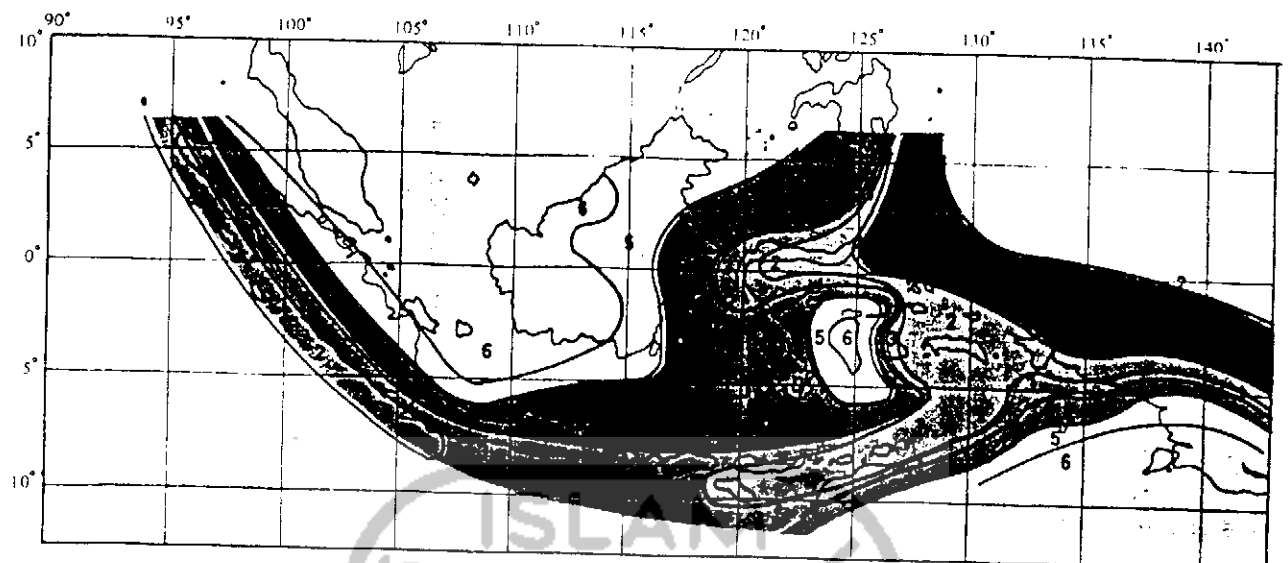
###### A. Koefisien gempa dasar ( $C$ ).

Koefisien gempa dasar dipengaruhi oleh wilayah gempa, waktu getar gedung, jenis tanah dan kedalamanan pondasi di mana bangunan itu didirikan.

Sesuai dengan Peraturan Perencanaan Tahan Gempa Indonesia untuk Gedung 1983, Indonesia dibagi ke dalam 6 wilayah gempa. Untuk lebih jelasnya dapat dilihat pada gambar 2.1. berikut ini:

<sup>4</sup>DPU, ibid. hal. 10





<span style="background-color: black; width: 15px; height: 10px; display: inline-block;"></span> Wilayah Gempa – 1 <span style="background-color: darkgray; width: 15px; height: 10px; display: inline-block;"></span> Wilayah Gempa – 2 <span style="background-color: gray; width: 15px; height: 10px; display: inline-block;"></span> Wilayah Gempa – 3	<span style="background-color: black; width: 15px; height: 10px; display: inline-block;"></span> Wilayah Gempa – 4 <span style="background-color: darkgray; width: 15px; height: 10px; display: inline-block;"></span> Wilayah Gempa – 5 <span style="background-color: gray; width: 15px; height: 10px; display: inline-block;"></span> Wilayah Gempa – 6
--	--

Gambar 2.1. Pembagian Wilayah gempa Indonesia

Terlihat pada peta bahwa Yogyakarta sebagai lokasi di mana gedung akan didirikan terletak pada wilayah gempa 3.

Sebagaimana telah disebutkan di muka bahwa koefisien gempa dipengaruhi oleh waktu getar alami struktur. Adapun rumus waktu getar alami struktur adalah sebagai berikut:

- 1) untuk portal beton bertulang :  $T = 0,06 \cdot H^{3/4}$
- 2) untuk portal baja :  $T = 0,085 \cdot H^{3/4}$
- 3) untuk jenis struktur lain :  $T = \frac{0,09 \cdot H^{3/4}}{\sqrt{B}}$

di mana  $H$  = tinggi bangunan ;  $B$  = lebar bangunan

Tujuan dipakainya nilai C dalam perhitungan gempa antara lain:

- 1) diharapkan agar struktur memiliki kekuatan dan kekakuan yang cukup untuk menahan gempa ukuran sedang sehingga frekuensi terjadinya kerusakan pada unsur-unsur primer dan sekunder adalah cukup rendah,
- 2) untuk memastikan bahwa masa pakai gedung agak tahan lama karena gedung diharapkan tidak akan segera runtuh setelah dilanda gempa yang amat kuat.

*B. Faktor Keutamaan Gedung (I).*

Faktor keutamaan gedung adalah faktor yang dipengaruhi oleh tingkat kepentingan gedung terhadap usaha penyelamatan setelah gempa terjadi, tingkat bahaya yang terjadi bila gedung runtuh atau dari nilai monumental suatu gedung. Untuk lebih jelasnya dapat dilihat pada tabel 2.1.

Tabel 2.1. Faktor keutamaan gedung

JENIS GEDUNG	FAKTOR KEUTAMAAN (C)
(a) Gedung-gedung monumental (b) fasilitas-fasilitas penting yang harus tetap berfungsi sesudah gempa terjadi, a.l : Rumah sakit Bangunan sekolah Bangunan gudang pangan Pusat penyelamatan darurat Pusat pembangkit tenaga Bangunan air minum	1,5
	1,5



JENIS GEDUNG	FAKTOR KEUTAMAAN (CI)
Fasilitas radio dan televisi Tempat orang kumpul	1,5
(c) fasilitas distribusi bahan gas dan minyak bumi di daerah perkotaan	2,0
(d) Gedung-gedung yang menyimpan bahan-bahan berbahaya	2,0
(e) Gedung-gedung lain	1,0

### C. Faktor Jenis Konstruksi

Faktor jenis konstruksi adalah faktor yang dipengaruhi oleh tingkat ketahanan bahan konstruksi. Apabila ada 3 jenis bahan konstruksi pada suatu bangunan maka nilai K yang diambil adalah yang lebih dominan meskipun kombinasi bahan konstruksi yang berbeda tersebut harus tetap ditinjau. Untuk mengetahui nilai-nilai jenis konstruksi dapat dilihat pada tabel 2.2. berikut:

Tabel 2.2. Faktor Jenis Konstruksi

Jenis struktur	Bahan bangunan dari unsur pemencar energi gempa	Faktor jenis struktur (K)
Portal daktail	Beton bertulang Beton pratekan B a j a K a y u	1,0 1,4 1,0 1,7
Dinding geser berangkai daktail	Beton bertulang	1,0
Dinding geser kantilever daktail	Beton bertulang Tembok berongga bertulang K a y u	1,2 2,5 2,0



Jenis struktur	Bahan bangunan dari unsur pemencar energi gempa	Faktor jenis struktur CKO
Dinding geser kantilever dg. daktilitas terbatas	Beton bertulang Tembok berongga bertulang	1,5 3,0
Portal dg. ikatan diagonal	K a y u Beton bertulang	2,5 2,5
Struktur kantilever tak bertingkat	B a j a K a y u Beton bertulang	2,5 3,0 2,5
Cerobong, tanki	B a j a Beton bertulang	2,5 3,0

#### D. Kombinasi Beban ( $W_t$ )

Kombinasi beban dalam perhitungan gempa adalah kombinasi pembebanan oleh beban mati dan beban hidup yang telah direduksi, yang berada di atas titik penjepitan lateral.

Kemudian beban geser akibat gempa ( $V$ ) yang telah diketahui harus dibagiikan sepanjang tinggi gedung menjadi beban-beban horizontal terpusat dengan rumus:

$$F_v = \frac{W_t \cdot h}{W_t + h} \cdot V$$

6

di mana:

$F_v$  = beban gempa horizontal pada taraf  $i$   
 $h$  = tinggi bangunan pada taraf  $i$   
 $V$  = beban geser akibat gempa

<sup>6</sup>DPU, ibid. hal. 17

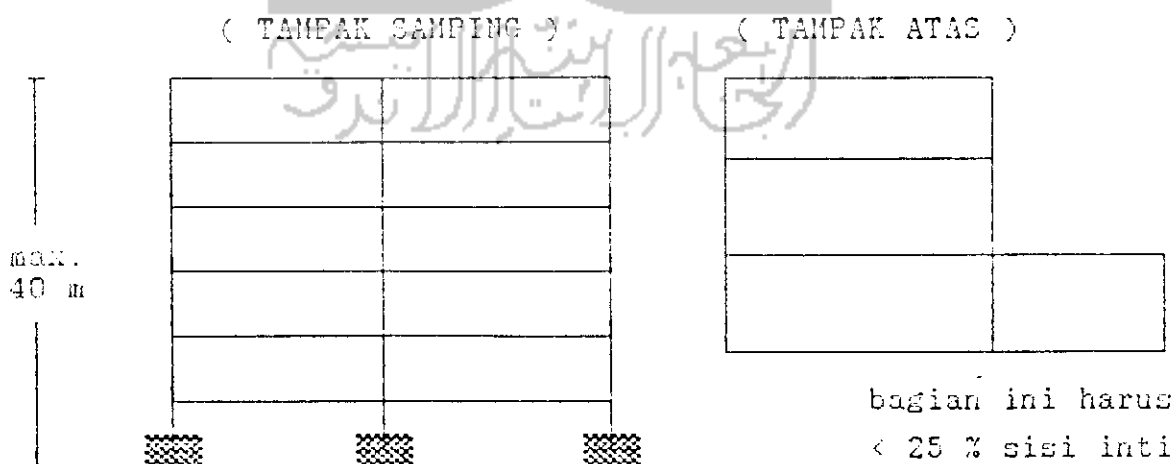


$w_e$  = beban vertikal pada taraf  $i$   
 $d_e$  = simpangan horizontal pada taraf  $i$

Analisa beban statis ekivalen ini dapat dipakai apabila gedung memenuhi syarat-syarat sebagai berikut:

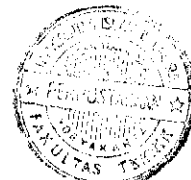
- 1) tinggi gedung tidak lebih dari 40 meter,
- 2) denah gedung tidak menunjukkan adanya tonjolan yang lebih besar dari 25 % dari ukuran sisi terbesar bagian inti,
- 3) bagian gedung yang menjulang tidak kurang dari 75 % dari ukuran bagian gedung yang ada di bawah
- 4) perbandingan antara berat lantai dan kekakuan pada suatu tingkat tidak berselisih lebih dari 25 % terhadap nilai rata-rata nilai banding tersebut pada seluruh tingkat.

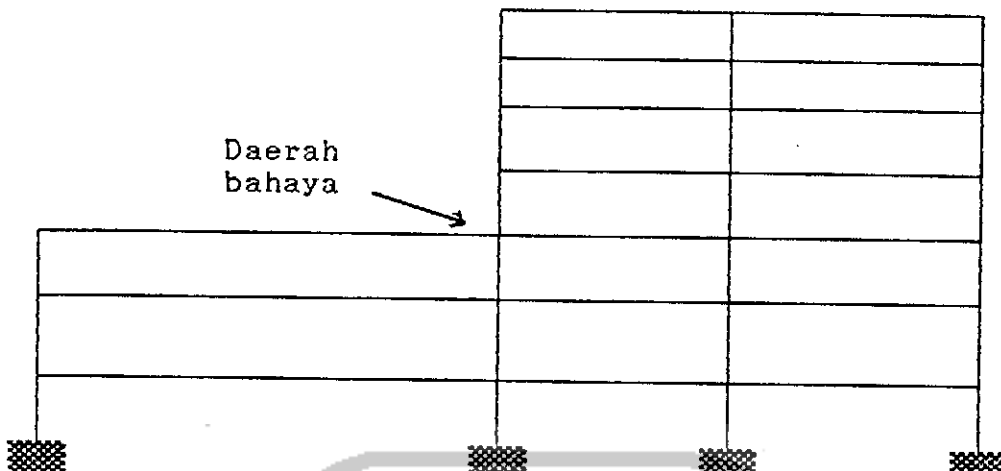
Untuk lebih jelasnya dapat dilihat pada gambar 2.3, 2.4 dan 2.5 berikut ini:



Gambar 2.3. Ketinggian maksimum bangunan

Gambar 2.4. Denah penon-jolan bangunan





Gambar 2.5. Penjulangan gedung

#### 2.1.1.2. Analisa beban dinamis

Analisa beban dinamis adalah analisa pembagian gaya geser tingkat akibat gerakan tanah oleh gempa dan dapat dilakukan dengan cara analisa ragam spektrum respons ataupun dengan cara analisa respons riwayat waktu. Sesuai dengan pembatasan masalah dalam tugas akhir ini maka analisa beban dinamis tidak dibahas.

#### 2.1.2. Parameter kekakuan

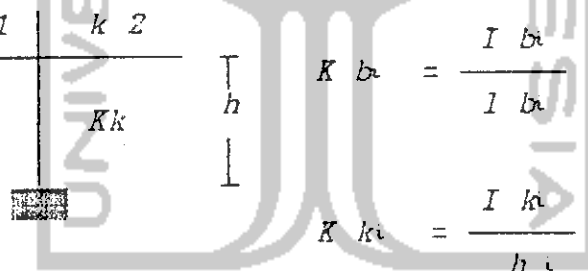
Penyebaran gaya lateral kepada struktur vertikal bangunan sepenuhnya dilakukan oleh diafragma lantai. Syarat agar supaya lantai dapat menyebarkan gaya lateral adalah bahwa lantai bangunan harus mempunyai kekakuan yang besar. Hal tersebut dapat dicapai dengan membuat ketebalan lantai yang cukup dan menghindari adanya lobang besar pada lantai. Untuk lantai bangunan yang luas maka ketebalan lantai dapat dikurangi.



Kekakuan pada pelat lantai tersebut harus disertai dengan kekakuan pada dinding gesernya karena semakin besar nilai kekakuan struktur maka semakin besar pula gaya geser yang bekerja pada elemen tersebut. Dengan demikian dapat disimpulkan bahwa dinding geser yang mempunyai kekakuan besar akan dapat memikul gaya yang lebih besar daripada gaya dalam elemen kolom sehingga sering pengaruh elemen kolom dalam menahan gaya gempa diabaikan.

Dari uraian parameter kekakuan di atas, dapat dimengerti bahwa dinding geser akan berfungsi maksimal apabila menjepit diafragma lantai yang memiliki kekakuan besar. Adapun rumus-rumus kekakuan struktur adalah sebagai berikut:

1) rumus umum kekakuan balok dan kolom



$$K_{bi} = \frac{I_{bi}}{l} \quad (\text{kekakuan balok})$$

$$K_{ki} = \frac{I_{ki}}{h^3} \quad (\text{kekakuan kolom})$$

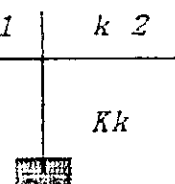
di mana  $I_{bi}$  = Inertia balok

$I_{ki}$  = Inertia kolom

$l_{bi}$  = panjang balok

$h_i$  = tinggi kolom

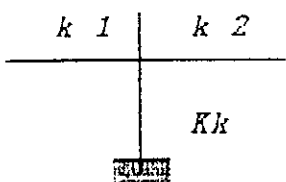
2) rumus kekakuan relatif kolom ( $\bar{k}$ ) :



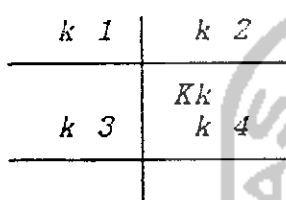
$$\bar{k} = \frac{\sum k_i}{2 K_{ki}}$$



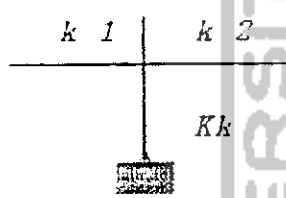
Dari kekakuan relatif tersebut akan didapat nilai 3 jenis koefisien  $\alpha$  yang besarnya tergantung pada keadaan ujung-ujung perletakan kolomnya, yaitu:



$$\alpha = \frac{0,5 + \bar{k}}{2 Kk} \quad (\text{sendi-jepit})$$



$$\alpha = \frac{\bar{k}}{2 Kk} \quad (\text{umum})$$



$$\alpha = \frac{0,5 \bar{k}}{1 + 2 \bar{k}} \quad (\text{sendi})$$

3) Rumus kekakuan gabungan kolom struktur :

$$K = (\sum \alpha_m \cdot Kk_m) \cdot 0,75 \cdot E \cdot \frac{12}{h^2}$$

(untuk kolom yang ukuran lebar & tingginya tidak sama)

$$K = (\sum \alpha_m \cdot Kk_m) \cdot 0,75 \cdot E \cdot \frac{12}{h^2}$$

(untuk kolom yang ukuran lebar & tingginya sama)

4) rumus kekakuan dinding geser dianggap sama dengan

kekakuan kolom yaitu:

$$Kk = \frac{I \text{ dinding geser}}{h \text{ dinding geser}}$$



Adapun hubungan nilai  $\bar{k}$  dan  $a$  dapat dilihat pada tabel berikut:

8

Tabel 2.3. Variasi nilai  $\bar{k}$  dan  $a$

$\bar{k}$	Tingkat secara umum $a = \frac{\bar{k}}{2 + \bar{k}}$	Perletakan kolom terjepit $a = \frac{0,5 + \bar{k}}{2 + \bar{k}}$	Perletakan kolom berupa sendi $a = \frac{0,5 \cdot \bar{k}}{2 + \bar{k}}$
0,1	0,05	0,29	0,042
0,2	0,09	0,32	0,071
0,3	0,13	0,35	0,094
0,4	0,17	0,38	0,11
0,5	0,20	0,40	0,13
0,6	0,23	0,42	0,14
0,7	0,26	0,44	0,15
0,8	0,29	0,46	0,15
0,9	0,31	0,48	0,16
1,0	0,33	0,50	0,17
1,2	0,37	0,53	0,18
1,4	0,41	0,56	0,18
1,6	0,44	0,58	0,19
1,8	0,47	0,61	0,20
2,0	0,50	0,63	0,20
3,0	0,60	0,70	0,21
4,0	0,67	0,75	0,22
5,0	0,71	0,79	0,23
10,0	0,83	0,88	0,24
20,0	0,91	0,93	0,24
30,0	0,94	0,95	0,25
40,0	0,95	0,94	0,25
	1,00	1,00	0,25

#### 2.1.3. Deformasi akibat gempa

Selama gempa berlangsung, bangunan akan mengalami gerakan vertikal dan horizontal sehingga gaya inertia akan terjadi di titik-titik pada pusat massa

<sup>8</sup>Seminar Bangunan Tahan Gempa Indonesia, 1989.

struktur. Keruntuhan gedung lebih banyak diakibatkan oleh beban horizontal daripada vertikal. Keruntuhan atau kegagalan struktur tersebut biasanya ditandai dengan terjadinya deformasi struktur yang besar.

Pada prinsipnya deformasi yang terjadi akibat beban gempa pada dinding geser merupakan kombinasi dari deformasi akibat geser, deformasi akibat lentur dan deformasi akibat fleksibilitas tanah. Di antara ketiga jenis deformasi ini, deformasi akibat lentur dan rotasi pondasi merupakan yang terbesar pada gedung bertingkat banyak.<sup>9</sup>

Deformasi yang diijinkan untuk suatu gedung berpedoman pada hasil seminar Perencanaan Bangunan Gedung Tahan Gempa yaitu :

$$\delta_i = \frac{Q}{K}$$

dengan batas lendutan adalah:

$$\delta_i \leq 0,005 \text{ tinggi tingkat atau}$$

$$\delta_i \leq 2 \text{ cm (tiap tingkat)}$$

#### 2.1.4. Anggapan terhadap dinding geser

Dalam menganalisa dinding geser dapat dilakukan

<sup>9</sup>Muto, ibid. hal. 153

<sup>10</sup>Seminar Perencanaan Gedung Tahan Gempa , 1993, Bab 7, hal. 8

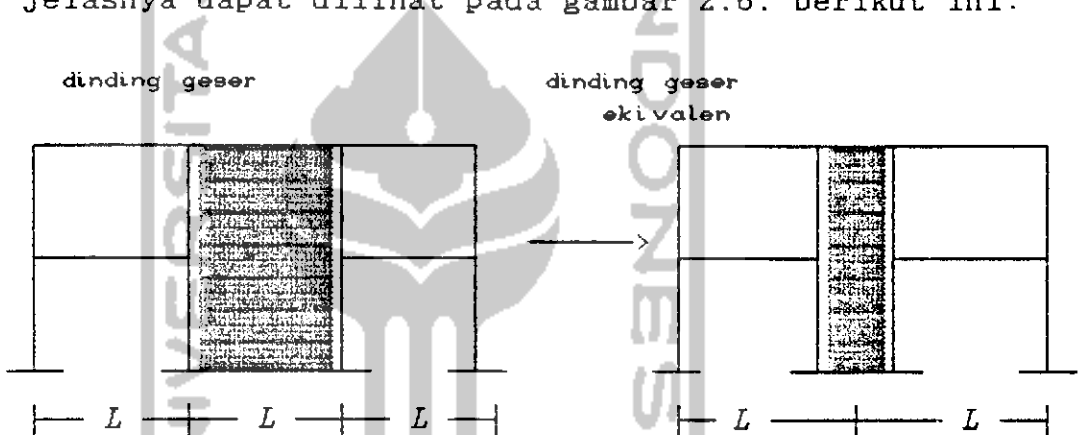


2 anggapan terhadap dinding geser yaitu :

- 1) dinding geser dianggap sebagai kolom,
- 2) dinding geser dianggap sebagai "equivalent bracings".

#### 2.1.4.1. Dinding geser sebagai kolom

Apabila dinding geser dianggap sebagai kolom maka panjang balok yang berhubungan dengan dinding geser dianggap tetap yaitu dihitung dari tepi luar dinding geser sampai dengan as kolom. Untuk lebih jelasnya dapat dilihat pada gambar 2.6. berikut ini:



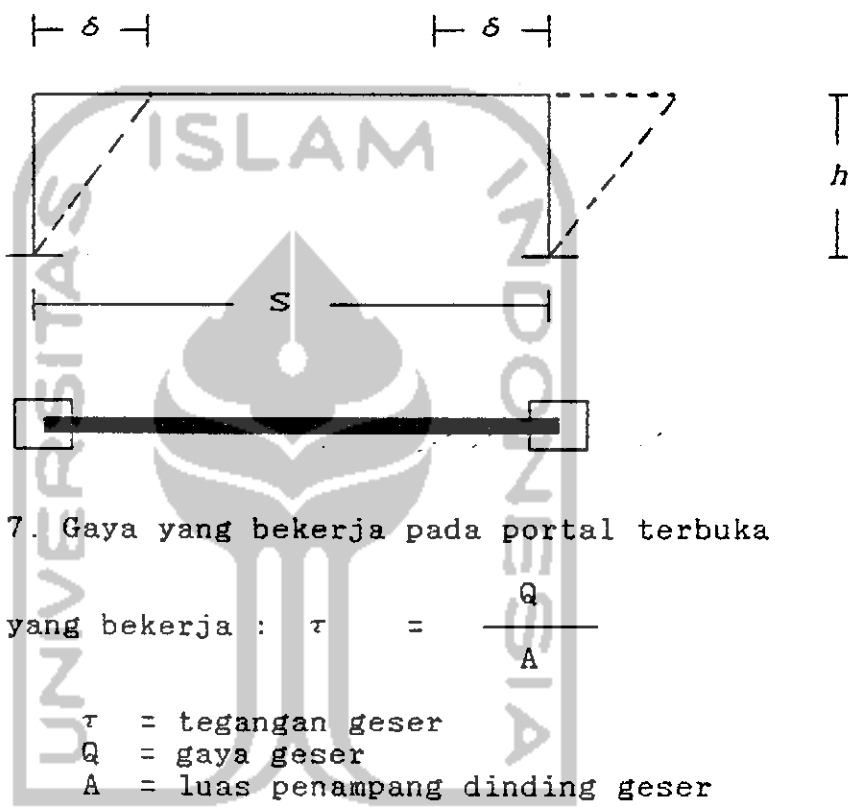
Gambar 2.6. Dinding geser sebagai kolom

Pada analisa struktur portal, dinding geser tersebut dianggap sebagai kolom dengan inertia dinding geser yang sebenarnya. Sedangkan elemen-elemen balok dan kolom lainnya tetap diperhitungkan sebagaimana balok dan kolom pada umumnya.

#### 2.1.4.2. Dinding geser sebagai "equivalent bracings"

Dengan menganggap dinding geser sebagai

"equivalent bracings" maka deformasi akibat geser ("shear deformation") dari dinding geser diekivalensikan dengan perubahan panjang dari "diagonal bracing"nya sedemikian sehingga memberikan simpangan ( $\delta$ ) yang sama pada sisi kiri dan kanan portal. Penjelasannya dapat dilihat pada gambar 2.7.



Gambar 2.7. Gaya yang bekerja pada portal terbuka

$$\text{Tegangan yang bekerja : } \tau = \frac{Q}{A}$$

di mana  $\tau$  = tegangan geser  
 $Q$  = gaya geser  
 $A$  = luas penampang dinding geser

sehingga dapat diketahui bahwa luasan dinding geser akan mempengaruhi besarnya tegangan geser yang terjadi. Sedangkan regangan geser yang disimbulkan dengan ( $\gamma$ ) adalah simpangan horizontal dibanding tinggi dinding.

$$\gamma = \frac{\delta}{h}$$

Sedangkan  $\tau$  memiliki rumus yang lain yaitu:

$$\tau = \sigma \cdot \gamma$$

sehingga  $\frac{\sigma \cdot \delta}{h} = \frac{Q}{A}$

Dalam hal ini  $A = t \cdot s$ , sehingga rumusnya menjadi :

$$\frac{k \cdot Q}{t \cdot s} = \frac{\sigma \cdot \delta}{h}$$

Sehingga besar simpangan horizontal yang terjadi:

$$\delta = \frac{k \cdot Q}{t \cdot s} \cdot \frac{h}{\sigma} \quad \dots \dots \dots (1)$$

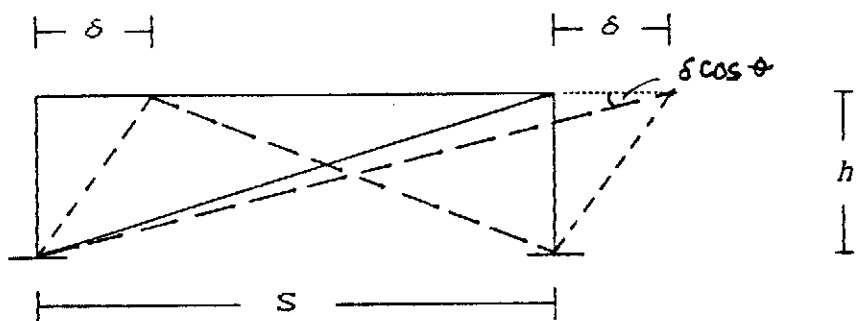
di mana

- $\tau$  = tegangan geser  
 $\sigma$  = modulus geser  
 $k$  = koefisien deformasi geser (1,0 - 1,2)  
 $\delta$  = simpangan horizontal  
 $\gamma$  = regangan geser  
 $Q$  = gaya geser  
 $h$  = tinggi dinding geser  
 $t$  = tebal dinding geser  
 $s$  = lebar dinding geser

Dari rumus di atas dapat diketahui bahwa semakin besar luasan dinding geser ( $A = t \cdot s$ ), maka simpangan horizontal yang terjadi akan mengecil.

Apabila ada gaya geser yang bekerja pada suatu portal yang memiliki "diagonal bracing" maka mekanisme gaya tersebut bekerja sebagai berikut:





Gambar 2.8. Gaya horizontal pada portal dengan "diagonal bracing"

Gaya batang yang terjadi pada "diagonal bracing" tersebut adalah :

$$2 \cdot T \cdot \cos \theta = Q$$

maka

$$T = \frac{Q}{2 \cdot \cos \theta}$$

Sesuai dengan hukum Hooke yaitu  $\sigma = E \cdot \epsilon$

$$\text{maka } \frac{T}{A_b} = E \cdot \frac{\delta \cdot \cos \theta}{l}$$

$$\frac{Q}{A_b \cdot 2 \cos \theta} = E \cdot \frac{\delta \cdot \cos \theta}{l}$$

sehingga

$$\boxed{\delta = \frac{Q \cdot l}{2 \cos^2 \theta \cdot A_b \cdot E}} \quad \dots (2)$$

di mana

- $E$  = modulus elastis bahan
- $\epsilon$  = regangan
- $l$  = panjang diagonal bracing
- $\delta$  = simpangan horizontal
- $\theta$  = sudut kemiringan "diagonal bracing" ..
- $A_b$  = luas tampang "equivalent bracing"

Dari persamaan (1) dan (2) didapat:

$$\frac{k \cdot Q}{t \cdot S} \cdot \frac{h}{G} = \frac{Q \cdot I}{2 \cos^2 \theta \cdot A_b \cdot E}$$

$$\text{maka } A_b = \frac{G}{E} \cdot \frac{t \cdot S}{k \cdot h} \cdot \frac{I}{2 \cos^2 \theta}$$

Selain defleksi akibat geser tersebut, terdapat pula defleksi akibat lentur ("bending deflection"). Deformasi akibat lentur pada dinding geser dianggap serupa dengan perpanjangan dan perpendekan dari kolom-kolom ekivalennya. Sedangkan besar momen inertia dari kolom-kolom ekivalen tersebut sama dengan besar momen inertia dari dinding gesernya. Adapun besar momen inertia dinding geser termasuk kolom portal yang menempel padanya adalah sebagai berikut:

$$I_w = 2 \cdot A_{co} \cdot \left( \frac{s}{2} \right)^2 + \frac{1}{12} \cdot t \cdot s^3 \quad \dots \dots (3)$$

di mana  $A_{co}$  = luas tampong kolom  
 $s$  = lebar dinding geser  
 $t$  = tebal dinding geser

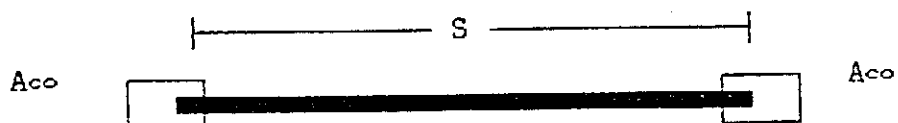
Sedangkan momen inertia dari kolom ekivalen adalah:

$$I_w = 2 \cdot A_c \cdot \left( \frac{s}{2} \right)^2 \quad \dots \dots (4)$$

dari persamaan (3) dan (4) akan didapat:



$$A_c = A_{co} + \frac{t \cdot s}{\delta}$$



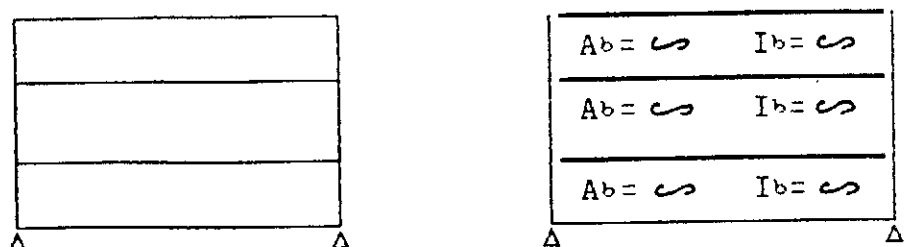
Gabungan dinding geser dengan kolom tersebut dihitung dengan anggapan dinding geser sebagai kolom ekivalen, sehingga gambarnya akan berubah menjadi berikut:



Gambar 2.9. anggapan dinding geser sebagai kolom ekivalen

Disamping kolom yang dianggap ekivalen, demikian pula balok portal dianggap sebagai balok ekivalen. Balok-balok tersebut didukung oleh pelat lantai dianggap tidak mengalami deformasi sehingga besar momen inertia dan luas tampang balok ekivalen dapat diambil tak berhingga atau sangat besar.

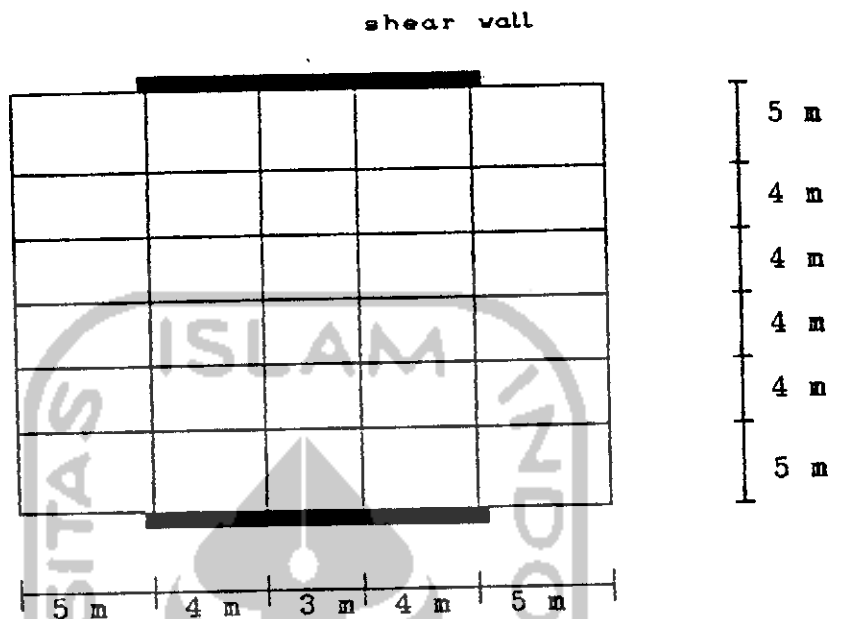
Gambaran balok portal yang dianggap sebagai balok ekivalen tersebut adalah sebagai berikut:



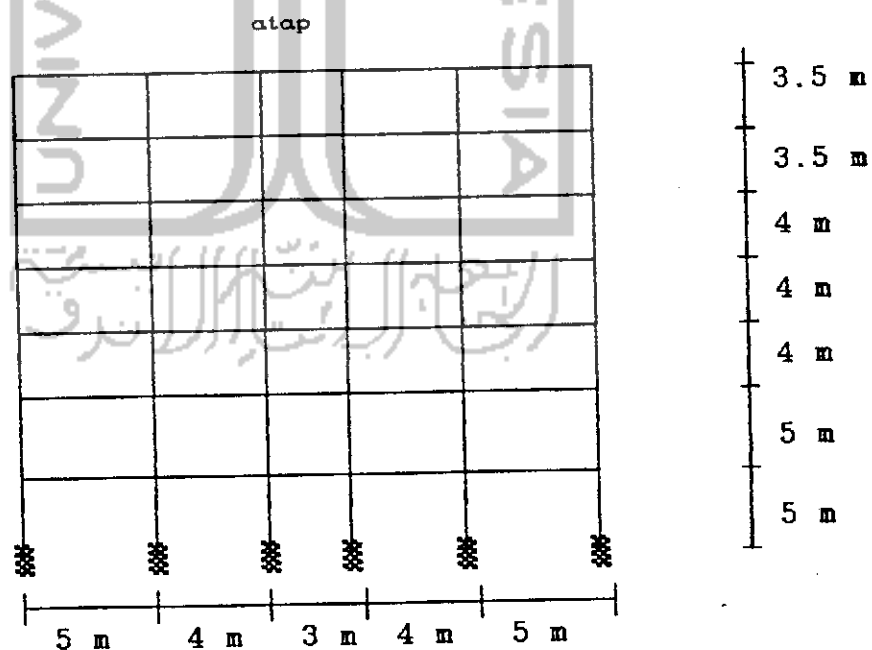
Gambar 2.10. Balok Ekivalen

## BAB 3

### SIMULASI PERHITUNGAN



Gambar 3.1. Bangunan tampak atas



Gambar 3.2. Bangunan tampak samping

Dalam tugas akhir ini simulasi perhitungan dilakukan dalam 4 macam kondisi yang berbeda yaitu:

- I. Analisa struktur portal beton bertulang tanpa dinding geser dengan ukuran balok dan kolom = 30/70 dan 60/60 cm.
- II. Analisa struktur portal beton bertulang dengan dinding geser yang dinding gesernya menerus dari lantai 1 sampai dengan lantai 7 dengan ukuran balok dan kolom sama dengan ukuran balok dan kolom kondisi I yaitu 30/70 dan 60/60 cm.
- III. Analisa struktur portal beton bertulang dengan dinding geser yang dinding gesernya menerus dari lantai 1 sampai dengan lantai 4 dengan ukuran balok dan kolom = 30/60 dan 50/50 cm.
- IV. Analisa struktur portal beton bertulang dengan dinding geser yang dinding gesernya menerus dari lantai 1 sampai dengan lantai 7 dengan ukuran balok dan kolom = 25/35 dan 40/40 cm.

Adapun cara perhitungannya dilakukan dengan cara manual dan dengan program komputer Framex-1.

### 3.1. Analisa portal tanpa dinding geser (kondisi 1).

Ketentuan :

1. Berat lantai :  $W_1 = 350$  ton ;  $W_2 = W_3 = W_4 = 300$  ton

$W_5 = W_6 = 250$  ton ;  $W_7 = 125$  ton

2. Tebal dinding geser :  $t_1 = t_2 = t_3 = t_4 = 20$  cm

$t_5 = t_6 = t_7 = 15$  cm

3. Ukuran portal : - balok ke semua arah = 30/70 cm

- kolom 60/60 cm



4. Letak bangunan : di Yogyakarta (wilayah gempa 3)

Penyelesaian :

Pertama kali mencari gaya gempa dengan rumus :

$$V = C \cdot I \cdot K \cdot W_t$$

di mana :

$$W_t = W_1 + W_2 + W_3 + W_4 + W_5 + W_6 + W_7 = 1875 \text{ ton}$$

Faktor keutamaan gedung untuk kantor,  $I = 1,0$

Faktor jenis konstruksi (portal beton bertulang),  $K = 1,0$

Koefisien gempa dasar (wilayah 3),  $C = 0,07$

maka gaya gempa pada dasar struktur adalah sebagai berikut:

$$V = 0,07 \cdot 1,0 \cdot 1,0 \cdot 1875 = 131,25 \text{ ton}$$

Dari konstruksi tergambar, ratio tinggi dan lebar bangunan sebagai sistem penahan gaya horizontal didapat:

$H/b = 29/21 = 1,38 < 3$  berarti gaya horizontal ( $V$ ) harus didistribusikan ke seluruh lantai.

Perhitungan distribusi gaya horizontal tiap lantai dilakukan dengan cara Muto memakai rumus :

$$F_i = \frac{W_i \cdot h_i}{\sum W_i \cdot h_i} V \quad (\text{kg})$$

Kemudian hasil perhitungan distribusi gaya horizontal pada tiap lantai tersebut disusun dalam tabel 3.1. berikut ini:



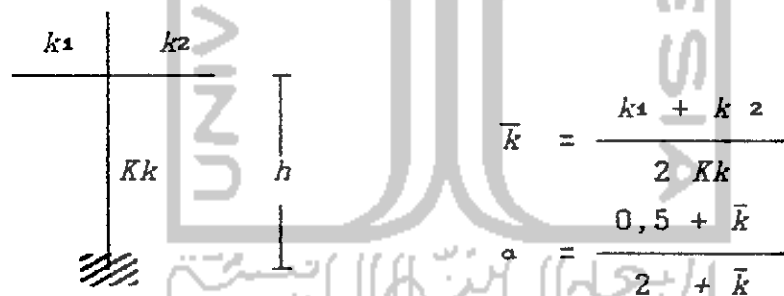
Tabel 3.1. Hitungan distribusi gaya geser

Lantai	$W_i$ (kg)	$h_i$ (m)	$W_i \cdot h_i$ (kgm)	$F_i$ (kg)
7	125.000	29	3.625.000	16.435
6	250.000	25,5	6.375.000	28.902
5	250.000	22	5.500.000	24.935
4	250.000	18	4.500.000	20.402
3	300.000	14	4.200.000	19.041
2	300.000	10	3.000.000	13.601
1	350.000	5	1.750.000	7.934

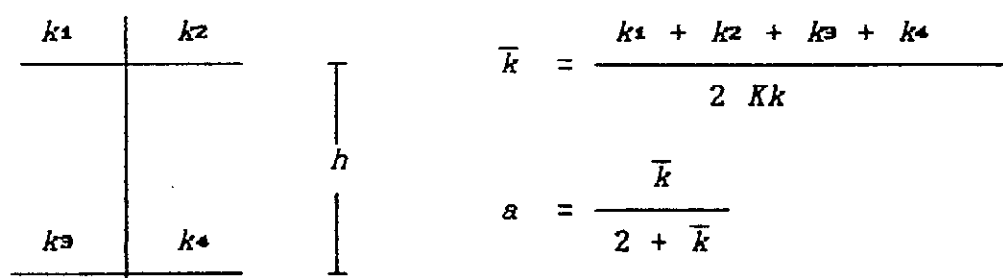
$$\sum W_i \cdot h_i = 28.950.000 \quad \sum F_i = 131.250 \text{ kg}$$

Selanjutnya mencari kekakuan ( $k$ ) tiap kolom di mana ada dua macam kondisi perletakan kolom yaitu sendi - jepit dan sendi-sendi.

Keadaan pertama : sendi - jepit



Keadaan kedua : sendi - sendi



$$\text{di mana : } k_i = \frac{I_i}{l_{bi}} \longrightarrow l_{bi} = \text{panjang balok}$$

$$Kk_i = \frac{I_i k_i}{h} \longrightarrow h = \text{tinggi kolom}$$

$k_1 + k_2 = \text{daya tahan balok atas}$

$k_3 + k_4 = \text{daya tahan kolom bawah}$

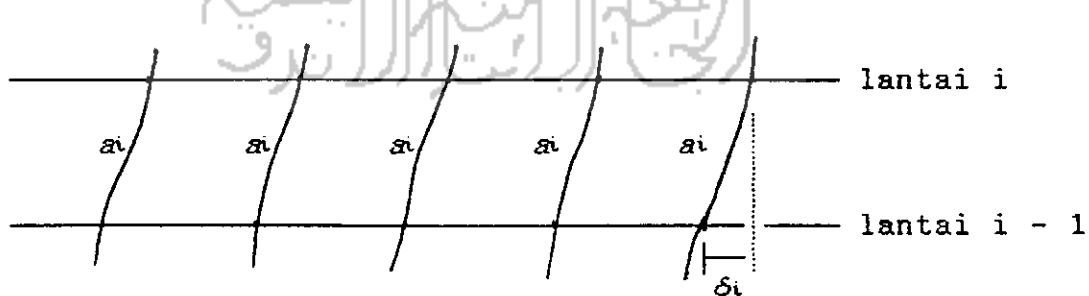
$a = \text{koefisien yang besarnya tergantung pada keadaan ujung-ujung perletakan portal.}$

Dengan memakai rumus di atas berikutnya dapat dicari harga  $\bar{k}$  dan  $a$  sebagaimana tertera dalam tabel 3.2. berikut ini:

Tabel 3.2. Harga  $\bar{k}$  dan  $a$  untuk portal tanpa dinding geser (ukuran balok dan kolom = 30/70 dan 60/60 cm)

Lantai	$\bar{k}$			$a$			Kekakuan (K) / $\text{cm}^3$	
	kol.1	kol.2	kol.3	kol.1	kol.2	kol.3	D.Geser	Kolom
1	0,40	0,90	1,158	0,375	0,50	0,52	--	2160
2	0,80	1,80	2,320	0,280	0,50	0,54	--	2160
3=4=5	0,64	1,43	1,85	0,250	0,42	0,48	--	2700
6=7	0,56	1,25	1,62	0,22	0,38	0,45	--	3086

selanjutnya lendutan/defleksi horizontal lantai  $i$  terhadap lantai dibawahnya adalah sebagai berikut :



$$\delta_i = \frac{Q}{k} \quad \text{dimana } Q = \text{jumlah beban horizontal pada lantai } i \text{ dan lantai di atasnya}$$

Kemudian mencari nilai kekakuan kolom-kolom dengan rumus:



- kolom dengan ukuran lebar dan tinggi sama ( $L=B$ ):

$$K = (\sum a_i) \cdot 0,75 \cdot E \cdot \frac{12 \cdot K_k}{h^2} \quad (\text{kg/cm})$$

- kolom dengan ukuran lebar tinggi tidak sama :

$$K = (\sum a_i \cdot K_k) \cdot 0,75 \cdot E \cdot \frac{12 \cdot K_k}{h^2} \quad (\text{kg/cm})$$

Pada kondisi 1 ini, kolom yang ditinjau mempunyai ukuran lebar dan tinggi yang sama yaitu 60 cm dan 60 cm. Harga elastisitas bahan beton :  $E = 2,1 \cdot 10^5 \text{ kg/cm}^2$

Maka defleksi horizontal lantai i terhadap lantai dibawahnya dapat dicari sebagai berikut:

$$\Sigma a_{\text{lantai } 1} = (0,375 + 0,50 + 0,52) \cdot 14 = 19,53$$

$$\Sigma a_{\text{lantai } 2} = (0,28 + 0,50 + 0,54) \cdot 14 = 18,48$$

$$\Sigma a_{\text{lantai } 3} = 4 = 5 = (0,24 + 0,42 + 0,48) \cdot 14 = 15,96$$

$$\Sigma a_{\text{lantai } 6} = 7 = (0,22 + 0,38 + 0,45) \cdot 14 = 14,70$$

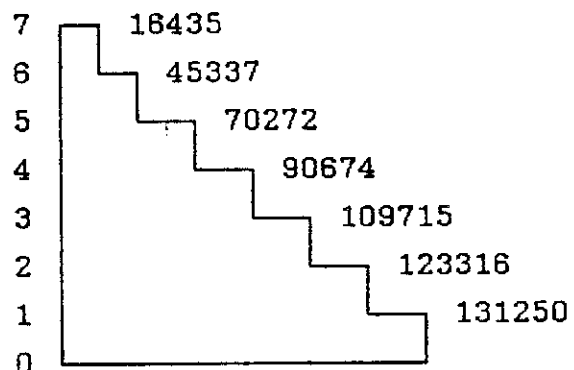
Setelah diketahui nilai  $K$  dan  $a$  maka dapat dicari defleksi horizontal sebagaimana tersusun dalam tabel 3.3. berikut ini:

Tabel 3.3. Defleksi horizontal pada portal terbuka

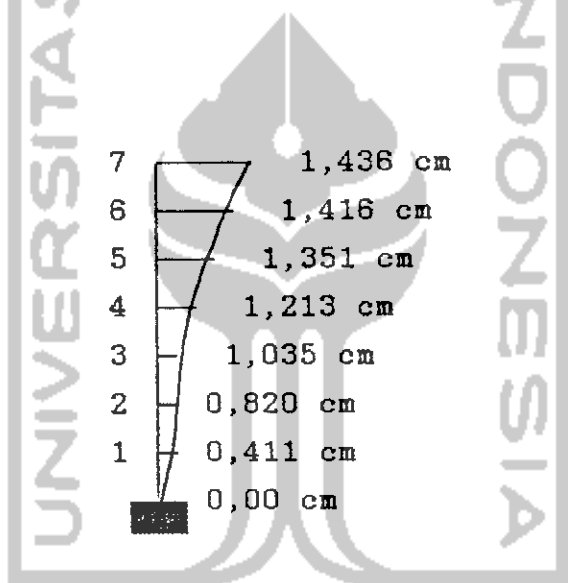
$\frac{1}{\text{a}}_{\text{n}}_{\text{t}}_{\text{a}}_{\text{i}}$	$\Sigma a$	$\Sigma a \cdot K_k$ ( $\text{cm}^3$ )	$0,75E \cdot \frac{12}{h^2}$ $\text{kg/cm}^4$	$K$ ( $\text{kg/cm}$ )	$Q$ ( $\text{kg}$ )	$\delta_i$ ( $\text{cm}$ )	$d_i$ ( $\text{cm}$ )
7	14,70	45364,20	15,43	699969,61	16435	0,0233	1,436
6	14,70	45364,20	15,43	699969,61	45337	0,0655	1,416
5	15,96	43092,00	11,81	508916,52	70272	0,1388	1,351
4	15,96	43092,00	11,81	508916,52	90674	0,1788	1,213
3	15,96	43092,00	11,81	508916,52	109715	0,2155	1,035
2	18,48	39916,80	7,56	301771,01	123316	0,4099	0,820
1	19,53	42184,80	7,56	318917,09	131250	0,4111	0,411



$Q = F_i$   
 $Q_7 = F_7$   
 $Q_6 = F_6 + F_7$   
 $Q_5 = F_5 + F_6 + F_7$   
 dan seterusnya hingga  
 $d_i = d_i - 1 + \delta_i$



Gambar 3.3. Diagram  
gaya geser yang ditahan  
oleh portal tanpa dinding  
geser



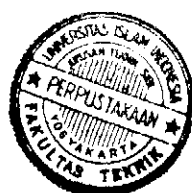
Gambar 3.4. Diagram defleksi horizontal  $\delta_i$  ( cm )

Waktu getar alami untuk portal beton tanpa dinding geser :

$$T = 0,06 \cdot H^{3/4} = 0,06 \cdot 29^{3/4} = 0,75 \text{ detik}$$

Waktu getar struktur ( $T_n$ ) :

$$T_n = 6,3 \sqrt{\frac{\sum W_i \cdot d_i^2}{g \sum F_i \cdot d_i}} \approx 0,81 T$$



Tabel 3.4. Hitungan distribusi gaya geser

Lantai	$W_i$ (kg)	$d_i$ (cm)	$W_i \cdot d_i^2$ ( $\text{kg}\text{cm}^2$ )	$F_i$ (kg)	$F_i \cdot d_i$
7	125.000	1,436	257.762	16.435	23.601
6	250.000	1,416	501.264	28.902	40.925
5	250.000	1,351	456.300,25	24.935	33.687
4	250.000	1,213	367.842,25	20.402	24.748
3	300.000	1,035	321.367,50	19.041	19.707
2	300.000	0,820	301.720	13.601	11.153
1	350.000	0,411	59122,35	7.934	3.261

$$\sum W_i \cdot d_i^2 = 2.165.378,35 \quad \sum F_i \cdot d_i = 157082$$

$\text{kg}\text{cm}^2$                                      $\text{kg}\text{cm}$

$$T_n = 6,3 \quad \sqrt{\frac{2.165.378,35}{980. 157,082}} = 0,75 \geq 0,81. 075 = 0,60 \text{ det.}$$

### 3.2. Analisa portal dengan dinding-geser.

Pertama kali mencari berat dinding-geser pada masing-masing lantai-tingkat:

Data : bj. beton = 2,4 ton/ $\text{m}^3$

$$h_7 = h_6 = 3,5 \text{ m} \quad t_7 = t_6 = t_5 = 15 \text{ cm}$$

$$h_5 = h_4 = h_3 = 4 \text{ m}$$

$$h_2 = h_1 = 5 \text{ m} \quad t_4 = t_3 = t_2 = t_1 = 20 \text{ cm}$$

$$q_7 = 0,15. 3,5. 22. 2,4 = 27,72 \text{ ton}$$

$$q_6 = 27,72 + 27,72 = 55,44 \text{ ton}$$

$$q_5 = (0,15. 4 . 22. 2,4) + 55,44 = 87,12 \text{ ton}$$

$$q_4 = (0,20. 4 . 22. 2,4) + 87,12 = 129,36 \text{ ton}$$

$$q_3 = (0,20. 4 . 22. 2,4) + 129,36 = 171,60 \text{ ton}$$

$$q_2 = (0,20. 5 . 22. 2,4) + 171,60 = 224,40 \text{ ton}$$

...

$$q_1 = (0,20 \cdot 5 \cdot 22 \cdot 2,4) + 224,40 = 227,20 \text{ ton}$$

sehingga berat total masing-masing lantai setelah ditambah dengan berat sendiri portal adalah:

$$W_7 = 125 + 27,72 = 153 \text{ ton}$$

$$W_6 = 250 + 55,44 = 306 \text{ ton}$$

$$W_5 = 250 + 87,12 = 337 \text{ ton}$$

$$W_4 = 300 + 129,36 = 430 \text{ ton}$$

$$W_3 = 300 + 171,60 = 472 \text{ ton}$$

$$W_2 = 300 + 224,40 = 525 \text{ ton}$$

$$W_1 = 350 + 277,20 = 628 \text{ ton}$$

$$\overline{W_t = 2,851 \text{ ton}}$$

Gaya geser gempa pada dasar struktur adalah:

$$V = Cd \cdot W_t \longrightarrow Cd = C \cdot I \cdot K$$

$$\text{di mana } C = 0,07 ; I = 1,0 ; K = 1,0$$

$$\text{maka } V = 0,07 \cdot 1,0 \cdot 1,0 \cdot 2,851 = 199,57 \quad 200 \text{ ton}$$

Ratio tinggi dan lebar bangunan sebagai sistem penahan gaya horizontal dengan tinggi bangunan ( $H$ ) = 29 m dan lebar bangunan ( $B$ ) = 11 m adalah:

$H/B = 29/11 = 2,64 < 3$ , berarti gaya geser ( $V$ ) harus didistribusikan kepada seluruh lantai.

Selanjutnya dicari distribusi beban horizontal tiap lantai

$$\text{dengan rumus : } F_i = \frac{W_i \cdot h_i}{\sum W_i \cdot h_i}$$

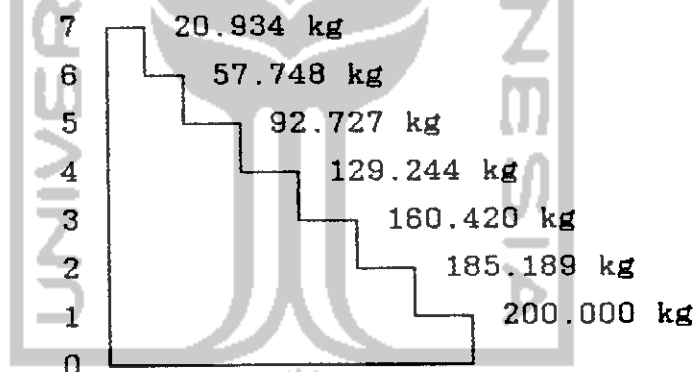


Tabel 3.5. Hitungan distribusi gaya geser

Lantai	$W_i$ (kg)	$h_i$ (m)	$W_i \cdot h_i$ (kgm)	$F_i$ (kg)	$Q$ (kg)
7	153.000	29	4.437.000	20.934	20.934
6	306.000	25,5	7.803.000	36.814	57.748
5	337.000	22	7.414.000	34.979	92.727
4	430.000	18	7.740.000	36.517	129.244
3	472.000	14	6.608.000	31.176	160.420
2	525.000	10	5.250.000	24.769	185.189
1	628.000	5	3.140.000	14.814	200.000

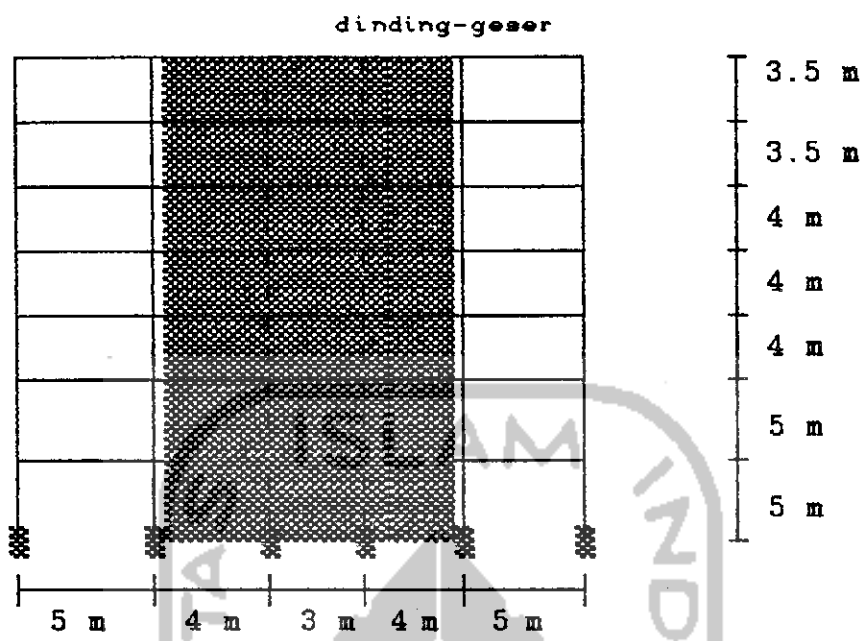
$$\sum W_i \cdot h_i = 42.392.000 \quad \sum F_i = 200.000 \text{ kg}$$

Dari perhitungan distribusi gaya geser di atas, distribusi gaya geser dapat digambarkan sebagai berikut :

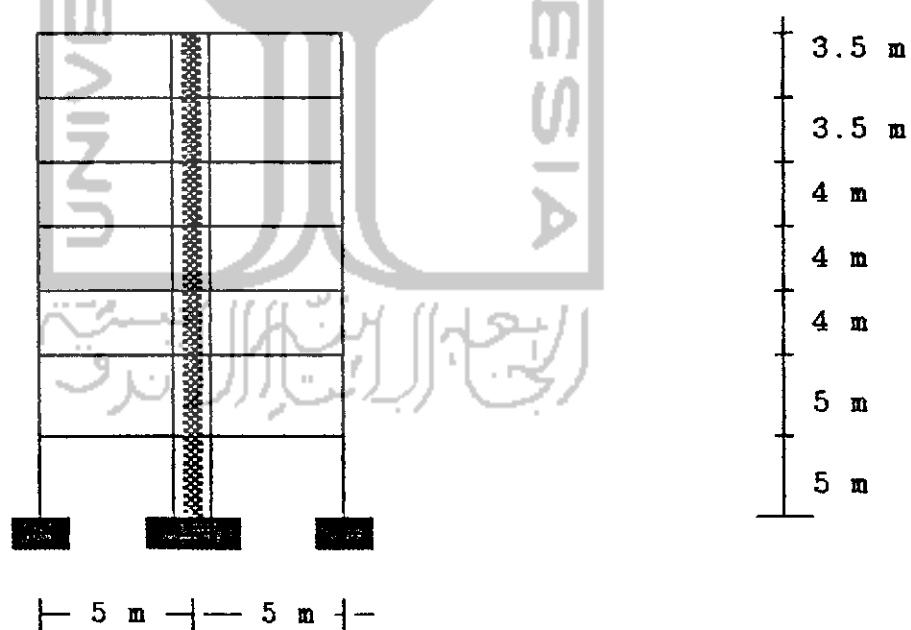


Gambar 3.5. Diagram gaya geser portal dengan dinding geser ( $Q$ )

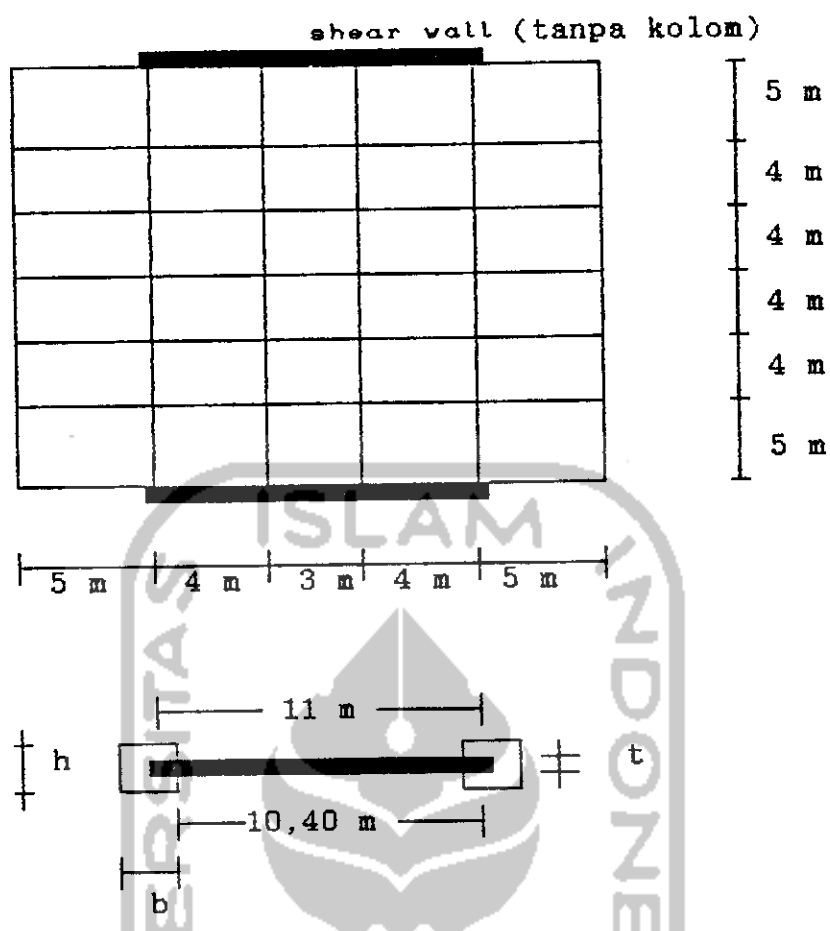
Untuk mencari nilai kekakuan dinding-geser, dinding-geser dianggap sebagai kolom biasa akan tetapi Inertianya adalah inertia dinding-geser yang sebenarnya sehingga dari gambar 3.6. diequivalensikan menjadi gambar 3.7.



Gambar 3.6. Bangunan tampak samping dengan dinding-geser



Gambar 3.7. Portal dengan dinding-geser yang diidealisisir



Gambar 3.8. Denah letak dinding-geser

Inertia dinding-geser:

$$\text{Untuk } t = 15 \text{ cm} \rightarrow I = [(1/12.0, 60.0, 60^3 + 0,60.0, 60.5, 50^3).2 + (1/12.0, 15.0, 10,40^3)].1/2 = \\ 17,9312 \text{ m}^4 = 1.793.120.000 \text{ cm}^4.$$

$$\text{Untuk } t = 20 \text{ cm} \rightarrow I = [(1/12.0, 60.0, 60^3 + 0,60.0, 60.5, 50^3).2 + (1/12.0, 20.0, 10,40^3)].1/2 = \\ 20,2747 \text{ m}^4 = 2.027.747.000 \text{ cm}^4.$$

Adapun kekakuan dinding-geser dihitung sebagaimana menghitung kekakuan kolom yaitu:

$$\text{Untuk } h = 350 \text{ cm} \rightarrow Kk = \frac{1.793,12 \times 10^6}{350} = 5.123.200 \text{ cm}^3$$

*t = 15 cm*

$$\text{Untuk } h = 400 \text{ cm} \rightarrow Kk = \frac{1.793,12 \times 10^6}{400} = 4.482.800 \text{ cm}^3$$

*t = 15 cm*

$$\text{Untuk } h = 400 \text{ cm} \rightarrow Kk = \frac{2.027,47 \times 10^6}{400} = 5.068.675 \text{ cm}^3$$

*t = 20 cm*

$$\text{Untuk } h = 500 \text{ cm} \rightarrow Kk = \frac{2.027,47 \times 10^6}{500} = 4.054.940 \text{ cm}^3$$

*t = 20 cm*

Maka kekakuan dinding-geser dapat dicari sebagai berikut:

Untuk  $t = 15 \text{ cm}$

$$h = 350 \text{ cm} \rightarrow Kk_1 = \frac{5.123.200}{10^3} = 5.123,20 \text{ cm}^3$$

$$h = 400 \text{ cm} \rightarrow Kk_2 = \frac{4.482.800}{10^3} = 4.482,80 \text{ cm}^3$$

Untuk  $t = 20 \text{ cm}$

$$h = 400 \text{ cm} \rightarrow Kk_3 = \frac{5.068.675}{10^3} = 5.068,675 \text{ cm}^3$$

$$h = 500 \text{ cm} \rightarrow Kk_4 = \frac{4.054.940}{10^3} = 4.054,94 \text{ cm}^3$$

Untuk mencari nilai  $\bar{k}$  dan  $a$  dapat dilihat pada gambar 3.6. di mana terlihat bahwa kolom 1 memakai  $Kk$  portal tanpa dinding geser dan kolom 2 memakai  $Kk_1$  sampai dengan  $kk_4$ . Hal ini disebabkan karena kekakuan dinding geser lebih besar daripada



kekakuan kolom 2 dan 3 pada gambar 3.7.

Selanjutnya harga  $\bar{k}$  dan  $a$  yang telah didapat disusun dalam tabel sebagai berikut:

Tabel 3.6. Harga  $\bar{k}$  dan  $a$  untuk portal dengan dinding geser  
(ukuran balok dan kolom = 30/70 dan 60/60 cm)

lantai	$\bar{k}$				$a$				Kekakuan (K)	
	D.G.	kol.1	kol.2	kol.3	D.G.	kol.1	kol.2	kol.3	D.geser	Kolom
1	0,42	0,40	0,90	1,158	0,38	0,375	0,50	0,52	4054,94	2160
2	0,84	0,80	1,80	2,320	0,30	0,280	0,50	0,54	4054,94	2160
3=4	0,68	0,64	1,43	1,850	0,25	0,250	0,42	0,48	5068,67	2700
5	0,76	0,64	1,43	1,850	0,28	0,240	0,42	0,48	4482,80	2700
6=7	0,67	0,56	1,25	1,620	0,25	0,220	0,38	0,45	5123,20	3086

Pada kondisi 2 ini ukuran kolom 1 dan 2 berlainan (karena ada dinding geser) maka untuk mencari nilai K rumus yang dipakai adalah:

$$K = (\sum a_{ni} \cdot K_{kn_i}) \cdot 0,75 \cdot E \cdot \frac{12 \cdot K_k}{h^2} \text{ kg/cm}^2$$

Berikutnya mencari nilai  $(\sum a_{ni} \cdot K_{kn_i})$  dan hasilnya disusun dalam tabel 3.7. berikut ini:

Tabel 3.7. Perhitungan  $\sum a_{ni}$  dan  $K_{kn_i}$

lantai	$\sum a_{ni}$	$K_{kn_i}$
1	$0,375 \cdot 14 = 5,25$ $(0,50 + 0,52) \cdot 10 = 10,2$ $7 \cdot 0,37 = 2,59$	$2160 \cdot 14 = 30240$ $2160 \cdot 10 = 21600$ $4054,94 \cdot 7 = 28384,58$
2	$0,28 \cdot 14 = 3,92$ $(0,28 + 0,50) \cdot 10 = 7,80$ $7 \cdot 0,28 = 1,96$	$2160 \cdot 14 = 30240$ $2160 \cdot 10 = 21600$ $4054,94 \cdot 7 = 28384,58$
3 = 4	$0,24 \cdot 14 = 3,36$ $(0,42 + 0,48) \cdot 10 = 9,0$ $7 \cdot 0,24 = 1,68$	$2700 \cdot 14 = 37800$ $2700 \cdot 10 = 27000$ $5068,675 \cdot 7 = 35480,72$



lantai	$\Sigma \text{ an}i$	Kk ni
5	$0,24 \cdot 14 = 3,36$ $(0,42 + 0,48) \cdot 10 = 9,0$ $7 \cdot 0,29 = 2,03$	$2700 \cdot 14 = 37800$ $2700 \cdot 10 = 27000$ $4482,80 \cdot 7 = 31379,60$
6 = 7	$0,22 \cdot 14 = 3,08$ $(0,38 + 0,45) \cdot 10 = 8,3$ $7 \cdot 0,26 = 1,82$	$3086 \cdot 14 = 43204$ $3086 \cdot 10 = 30860$ $5123,20 \cdot 7 = 35862,40$

Selanjutnya harga  $\Sigma \text{ an}i$  dan Kkn yang telah didapat disusun dalam tabel 3.8. :

Tabel 3.8. Lanjutan perhitungan  $\Sigma \text{ an}i$ , Kkn

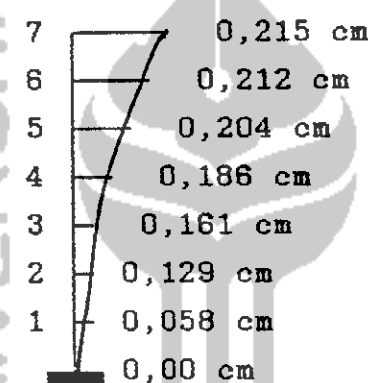
lantai	$\Sigma \text{ an}i$	Kk ni	$\Sigma \text{ an}i \cdot \text{Kkn}$
1	5,25 10,20 2,59	30240 21600 28384,58	452596,06
2	3,92 7,80 1,96	30240 21600 28384,58	342654,58
3 = 4	3,36 9,0 1,68	37800 27000 35480,725	429615,62
5	3,36 9,0 2,03	37800 27000 31379,60	433708,60
6 = 7	3,08 8,30 1,82	43204 30860 35862,40	454475,90

Dari hasil perhitungan  $\Sigma \text{ an}i$ , Kkn yang telah diperoleh diatas selanjutnya dapat dihitung defleksi yang terjadi pada tiap lantai sebagaimana tertera pada tabel 3.9. berikut ini:



Tabel 3.9. defleksi horizontal pada portal + dinding geser  
(pada kondisi 2)

$\frac{1}{\alpha} \text{ t}_i$	$\Sigma \text{an}_i \cdot \text{Kkn}_i$	$0,75 \cdot E$ $12/h^2 \text{ kg/cm}^4$	K (kg/cm)	Q (kg)	$\delta_i$ (cm)	$d_i$ (cm)
7	454475,90	15,43	7012563,14	20934	0,003	0,215
6	454475,90	15,43	7012563,14	57748	0,008	0,212
5	433708,60	11,81	5122098,57	92727	0,018	0,204
4	429615,62	11,81	5073760,47	129244	0,025	0,186
3	429615,62	11,81	5073760,47	160420	0,031	0,161
2	342654,58	7,56	2590468,62	185189	0,070	0,129
1	45259,065	7,56	3421626,21	200000	0,057	0,058



Gambar 3.9. Diagram defleksi horizontal  $\delta_i$  ( cm )

Waktu getar alami untuk portal beton dengan dinding geser :

$$T = 0,06 \cdot H^{3/4} = 0,06 \cdot 29^{3/4} = 0,75 \text{ detik}$$

Waktu getar struktur (Tn) :

$$T_n = 6,3 \sqrt{\frac{\sum W_i \cdot d_i^2}{g \sum F_i \cdot d_i}} \geq 0,81 T$$

Tabel 3.10. Hitungan distribusi gaya geser pada kondisi 2

Lantai	$W_i$ (kg)	$d_i$ (cm)	$W_i \cdot d_i^2$ (kg cm <sup>2</sup> )	$F_i$ (kg)	$F_i \cdot d_i$
7	153.000	0,456	31.814,208	20.934	9.545,90
6	306.000	0,394	47.502,2165	36.814	14.504,72
5	337.000	0,377	47.897,473	34.979	13.187,08
4	430.000	0,340	49.708,000	36.517	12.415,78
3	472.000	0,289	39.421,912	31.176	9.009,86
2	525.000	0,226	26.814,90	24.769	5.597,79
1	628.000	0,101	6.406,228	14.814	1.496,21

$$\sum W_i \cdot d_i^2 = 249.564,93 \quad \sum F_i \cdot d_i = 65.757,35$$

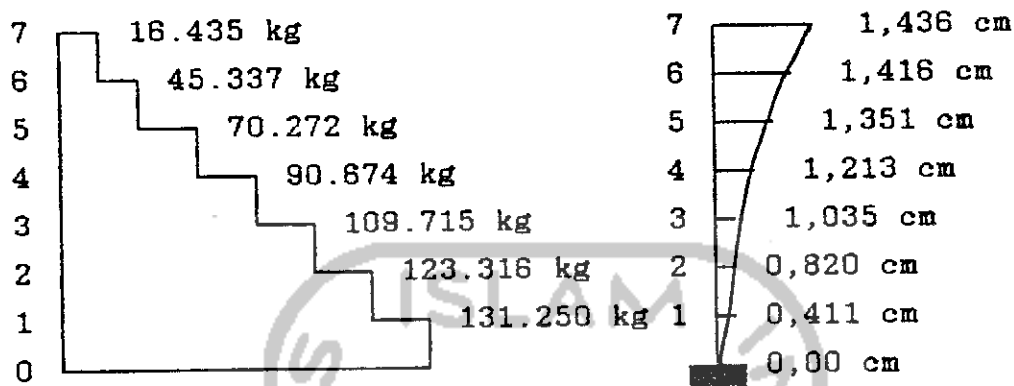
$\text{kg cm}^2$      $\text{kg cm}$

$$T_n = 6,3 \sqrt{\frac{249.564,93}{980 \cdot 65.757,35}} = 0,392 < 0,81 \cdot 075 = 0,60 \text{ det.}$$

maka waktu getar struktur dianggap 0,60 detik.

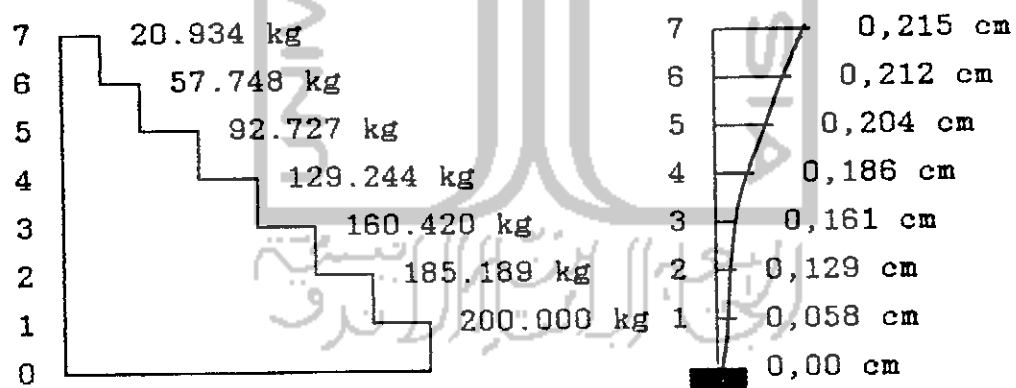
### 3.3. Ikhtisar Diagram Gaya geser

#### a) Portal tanpa dinding-geser



Gambar 3.10. Diagram gaya geser dan diagram defleksi horizontal untuk portal tanpa dinding geser.

#### b) portal dengan dinding-geser



Gambar 3.11. Diagram gaya geser dan diagram defleksi horizontal untuk portal dengan dinding geser

Dari perbandingan kedua jenis diagram di atas dapat ditarik kesimpulan bahwa pemakaian dinding-geser akan dapat menahan gaya horizontal sebesar 28 % lebih besar daripada



portal terbuka dan defleksinya menjadi berkurang sebesar 66 % dari portal tanpa dinding geser.

### 3.4. Analisa portal dengan dinding geser (kondisi 3).

Untuk mencapai efisiensi pemakaian dinding geser tersebut berikut diusahakan untuk mengurangi defleksi horizontal dari 66 % mendekati 0 % seperti pada portal tanpa dinding geser dengan cara sebagai berikut:

- 1) Ukuran balok dan kolom yang semula 30/70 cm dan 60/60 cm diperkecil menjadi 30/60 cm dan 50/50 cm.
- 2) Dinding geser yang semula terpasang pada seluruh lantai dikurangi hanya sampai lantai 4 saja dengan ketebalan dinding geser 20 cm. Sehingga penambahan berat bangunan akibat perubahan tebal dinding geser tersebut adalah:

$$q_7 = q_6 = q_5 = 0$$

$$q_4 = (0,20 \cdot 4 \cdot 22 \cdot 2,4) = 42,24 \text{ ton}$$

$$q_3 = (0,20 \cdot 4 \cdot 22 \cdot 2,4) + 42,24 = 84,48 \text{ ton}$$

$$q_2 = (0,20 \cdot 5 \cdot 22 \cdot 2,4) + 84,48 = 137,28 \text{ ton}$$

$$q_1 = (0,20 \cdot 5 \cdot 22 \cdot 2,4) + 137,28 = 190,08 \text{ ton}$$

sehingga berat total seluruh lantai setelah ditambah dengan berat sendiri portal adalah:

$$W_t = W_1 + W_2 + W_3 + W_4 + W_5 + W_6 + W_7 =$$

$$125 + 250 + 250 + 343 + 385 + 438 + 540 = 2331 \text{ ton}$$

$$\text{maka } V = 0,07 \cdot 1,0 \cdot 1,0 \cdot 2,331 = 164 \text{ ton}$$

Ratio tinggi dan lebar bangunan sebagai sistem penahan gaya horizontal dengan tinggi bangunan 18 m dan lebar bangunan 11 m adalah :

$$H/B = 18/11 = 1,63 < 3 \text{ berarti gaya geser (V) harus}$$

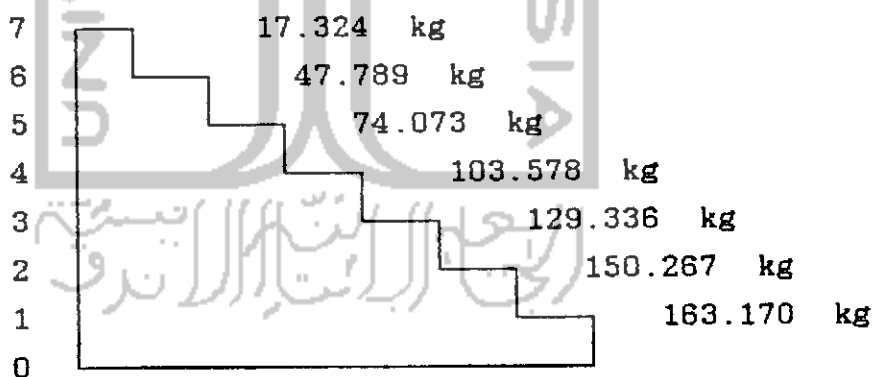
didistribusikan ke seluruh lantai bangunan. Adapun hasil distribusi gaya geser pada kondisi 3 ini adalah sebagai berikut:

Tabel 3.11. Hitungan distribusi gaya geser  
(pada kondisi 3)

Lantai	$W_i$ (kg)	$h_i$ (m)	$W_i \cdot h_i$ (kgm)	$F_i$ (kg)	$Q$ (kg)
7	125.000	29	3.625.000	17.324	17.324
6	250.000	25,5	6.375.000	30.465	47.789
5	250.000	22	5.500.000	26.284	74.073
4	343.000	18	6.174.000	29.505	103.578
3	385.000	14	5.390.000	25.758	129.336
2	438.000	10	4.380.000	20.931	150.267
1	540.000	5	2.700.000	12.903	163.170

$$\sum W_i \cdot h_i = 34.144.000 \quad \sum F_i = 163.170 \text{ kg}$$

Diagram gaya geser yang ditahan oleh portal dengan dinding geser setelah ukuran balok dan kolomnya diubah adalah:



Gambar 3.12. Diagram gaya geser pada kondisi 3

Selanjutnya sebelum mencari nilai  $\bar{k}$  dan  $a$  terlebih dahitung harga-harga  $K_k$  dari kolom dan dinding geser sebagai berikut:



- Untuk kolom 50/50 cm

$$h = 500 \text{ cm} \longrightarrow K_k = \frac{1/12 \cdot 50 \cdot 50^3}{500} = 1042 \text{ cm}^3$$

$$h = 400 \text{ cm} \longrightarrow K_k = \frac{1/12 \cdot 50 \cdot 50^3}{400} = 1302 \text{ cm}^3$$

Sedangkan kekakuan dinding-gesernya adalah :

- untuk  $h = 400 \text{ cm} \longrightarrow K_{k1} = 5068,67 \text{ cm}^3$

- untuk  $h = 500 \text{ cm} \longrightarrow K_{k2} = 4054,94 \text{ cm}^3$

Sebagai pedoman dalam menghitung nilai  $\bar{k}$  dan  $a$  dapat dilihat pada:

a) gambar 3.7. untuk penyelesaian lantai 1 s/d 4.

b) gambar 3.6. untuk penyelesaian lantai 5 s/d 7.

Hail perhitungan  $\bar{k}$  dan  $a$  tersebut disusun dalam tabel berikut:

Tabel 3.12. nilai  $\bar{k}$  dan  $a$  pada kondisi 3

Lantai	$\bar{k}$				$a$				Kekakuan (K)	
	D.G.	kol.1	kol.2	kol.3	D.G.	kol.1	kol.2	kol.3	D.Geser	Kolom
1	0,35	0,52	1,12	1,528	0,36	0,40	0,52	0,57	4054,94	1042
2	0,71	1,04	2,33	3,02	0,45	0,34	0,54	0,60	4054,94	1042
3=4	0,57	0,83	1,87	2,42	0,41	0,29	0,48	0,55	5068,67	1302
5	--	0,83	1,87	2,21	--	0,28	0,48	0,53	--	1302
6=7	--	0,62	1,40	1,81	--	0,24	0,41	0,48	--	2057

Dalam menghitung nilai K pada kondisi 3 ini juga berlaku 2 ketentuan harga K yaitu:

1) untuk kolom dengan lebar dan tinggi tidak sama (lantai 1-4) :

$$K = (\sum a_m \cdot K_{km}) \cdot 0,75 \cdot E \frac{12}{h^2} \quad (\text{kg/cm}^2)$$



2) untuk kolom dengan lebar dan tinggi sama (lantai 5 -7 ):

$$K = (\Sigma a \cdot Kk) \cdot 0,75 \cdot E \frac{12}{h^2} \text{ (kg/cm)}$$

Pertama-tama mencari nilai  $\Sigma a_i \cdot Kki$  dari lantai 1 -4 sebagaimana tersusun dalam tabel berikut ini:

Tabel. 3.13. Perhitungan  $\Sigma a_i \cdot Kki$

lantai	$\Sigma a_i$	$Kki$	$\Sigma a_i \cdot Kki$
1	$0,40 \cdot 14 = 5,60$	$1042 \cdot 14 = 14588$	81692,80
	$0,36 \cdot 7 = 2,52$	$4054,94 \cdot 7 = 28384,6$	71529,14
	$(0,52+0,57) \cdot 10 = 10,9$	$1042 \cdot 10 = 10420$	113578
2	$0,34 \cdot 14 = 4,76$	$1042 \cdot 14 = 14588$	69438,88
	$0,45 \cdot 7 = 3,15$	$4054,94 \cdot 7 = 28384,6$	71529,14
	$(0,54+0,60) \cdot 10 = 11,4$	$1042 \cdot 10 = 10420$	118788,00
3=4	$0,29 \cdot 14 = 4,06$	$1302 \cdot 14 = 18228$	74005,68
	$0,48 \cdot 7 = 3,36$	$5068,87 \cdot 7 = 35480,7$	119215,24
	$(0,48+0,55) \cdot 10 = 10,3$	$1302 \cdot 10 = 13020$	134106,00

dengan demikian maka  $\Sigma a \cdot Kki$  masing-masing lantai adalah:

$$\text{Lantai 1} = 81692,80 + 71529,14 + 113578 = 266799,94$$

$$\text{Lantai 2} = 69438,88 + 71529,14 + 118788 = 259756,02$$

$$\text{Lantai 3} = 4 = 74005,68 + 119215,24 + 134106,00 = 327326,92$$

Sedangkan untuk lantai 5 -7 adalah sebagai berikut:

$$\Sigma a \text{ lantai 5} = (0,29 + 0,48 + 0,53) \cdot 14 = 18,20$$

$$\Sigma a \text{ lantai 6} = 7 = (0,24 + 0,41 + 0,48) \cdot 14 = 15,82$$

Dengan demikian maka nilai  $\Sigma a \cdot Kk$  dapat diketahui sebagaimana tertera dalam tabel berikut:

Tabel 3.14. Hasil perhitungan  $\Sigma a_i \cdot K_{ki}$

Lantai	$\Sigma a_i$	K <sub>ki</sub>	$\Sigma a_i \cdot K_{ki}$
5	18,20	1302	23696,44
6 = 7	15,82	1736	27463,52

Setelah diketahui nilai  $\Sigma a_i \cdot K_{ki}$  maka defleksi horizontal pada lantai 1 sampai dengan 4 dapat dicari dengan hasil sebagai berikut:

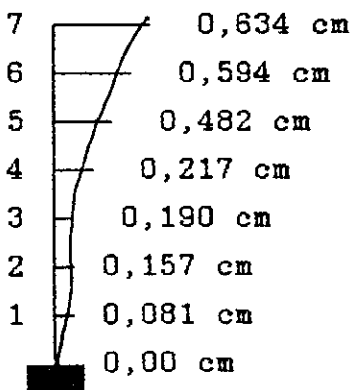
Tabel 3.15. Hitungan defleksi horizontal lantai 1 - 4

lantai	$\Sigma a_i \cdot K_{ki}$	$0,75 E$ $12/h^2 kg/cm^4$	K (kg/cm)	Q (kg)	$\delta_i$ (cm)	$d_i$ (cm)
4	327326,92	11,81	3865730,98	103578	0,027	0,217
3	327326,92	11,81	3865730,98	129336	0,032	0,190
2	259756,02	7,56	1963755,51	150267	0,076	0,157
1	266799,94	7,56	2017007,55	163170	0,081	0,081

Sedangkan hasil perhitungan defleksi horizontal pada lantai 5 sampai dengan 7 adalah sebagai berikut:

Tabel 3.16. Hitungan defleksi horizontal lantai 5 -7

lantai	$\Sigma a_i \cdot K_{ki}$	$0,75 E$ $12/h^2 kg/cm^4$	K (kg/cm)	Q (kg)	$\delta_i$ (cm)	$d_i$ (cm)
7	27436,52	15,43	423345,50	17324	0,040	0,634
6	27436,52	15,43	423345,50	47789	0,112	0,594
5	23696,40	11,81	279854,48	74073	0,14	0,482



Gambar 3.13. Diagram defleksi horizontal ( $\delta_i$ ) setelah ukuran balok dan kolom diubah.

Diagram defleksi horizontal di atas apabila dibandingkan dengan portal tanpa dinding geser (dengan ukuran balok dan kolom = 30/70 dan 60/60 cm) ternyata masih terdapat selisih persentase defleksi horizontal sebesar 55 %. Artinya bahwa tinjauan kondisi 3 ini belum mendekati kondisi ideal yang diharapkan yaitu defleksi maksimum yang diharapkan mendekati defleksi izin (2 cm).

Untuk mencari pemakaian dinding geser yang paling efisien maka perlu dilakukan perhitungan dengan kondisi lain.

### 3.5. Analisa portal dengan dinding-geser (kondisi 4).

Dengan mengabaikan beban tetap dan beban sementara yang terjadi pada struktur, berikut usaha-usaha untuk memperbesar defleksi horizontal agar mendekati defleksi horizontal pada portal tanpa dinding-geser dengan cara sebagai berikut:

1. Ukuran dinding-geser tetap dan dibuat menerus dari lantai 1 sampai lantai 7 dengan ukuran :

- untuk lantai 1 - 4 tebal dinding-geser = 20 cm
  - untuk lantai 5 - 7 tebal dinding-geser = 15 cm
2. Ukuran balok dan kolom diperkecil dari 30/70 dan 60/60 menjadi 25/35 dan 40/40.

Sebelum mencari nilai  $k$  dan  $a$  terlebih dahulu dihitung harga-harga  $Kk$  dari kolom dan dinding-geser dengan cara sebagai berikut:

Untuk kolom 40/40,

$$h = 500 \text{ cm} \rightarrow Kk = \frac{1/12 \cdot 40 \cdot 40^3}{500} = 427 \text{ cm}^3$$

$$h = 400 \text{ cm} \rightarrow Kk = \frac{1/12 \cdot 40 \cdot 40^3}{400} = 533 \text{ cm}^3$$

$$h = 350 \text{ cm} \rightarrow Kk = \frac{1/12 \cdot 40 \cdot 40^3}{350} = 610 \text{ cm}^3$$

Sedangkan kekakuan dinding-geser adalah :

$$\text{Untuk } t = 15 \text{ cm}, h = 350 \text{ cm} \rightarrow Kk_1 = 5123,20 \text{ cm}^3$$

$$h = 400 \text{ cm} \rightarrow Kk_2 = 4482,80 \text{ cm}^3$$

$$\text{Untuk } t = 20 \text{ cm}, h = 400 \text{ cm} \rightarrow Kk_3 = 5068,675 \text{ cm}^3$$

$$h = 350 \text{ cm} \rightarrow Kk_4 = 4054,94 \text{ cm}^3$$

Berikutnya dengan rumus kekakuan yang telah disebutkan di muka dapat dicari harga-harga  $\bar{k}$  dan  $a$  yang selanjutnya disusun dalam suatu tabel sebagai berikut :

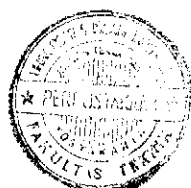
Tabel 3.17. Harga  $\bar{k}$  dan  $a$  pada portal dengan dinding-geser  
(ukuran balok dan kolom = 25/35 dan 40/40)

Lantai	$\bar{k}$				$a$				Kekakuan (K)	
	D.G.	kol.1	kol.2	kol.3	D.G.	kol.1	kol.2	kol.3	D.Geser	Kolom
1	0,04	0,21	0,94	0,610	0,22	0,32	0,49	0,42	4054,94	427
2	0,09	0,42	0,94	1,22	0,04	0,17	0,32	0,38	4054,94	427
3=4	0,07	0,33	0,75	0,98	0,03	0,14	0,27	0,33	5068,67	533
5	0,08	0,34	0,75	0,98	0,04	0,14	0,27	0,33	4482,80	533
6=7	0,07	0,29	0,66	0,85	0,04	0,13	0,25	0,30	5123,20	610

Karena ukuran kolom berlainan (25/35) maka harga K dicari dengan rumus:

$$K = (\sum \text{smi. Kkn}i) \cdot 0,75 \cdot E \cdot \frac{12}{h^2} \text{ kg/cm}$$

Pertama-tama mencari nilai  $\sum \text{smi. Kkn}i$  kemudian disusun tabel berikut:



Tabel. 3.18. Perhitungan  $\Sigma \text{ an}i \cdot \text{Kkn}i$

lantai	$\Sigma \text{ an}i$	Kkn <i>i</i>	$\Sigma \text{ an}i \cdot \text{Kkn}i$
1	$0,32 \cdot 14 = 4,48$	$427 \cdot 14 = 5978$	56781,44
	$0,22 \cdot 7 = 1,54$	$4054,94 \cdot 7 = 28384,6$	43712,25
	$(0,49+0,42) \cdot 10 = 9,9$	$427 \cdot 10 = 4270$	38857
2	$0,17 \cdot 14 = 2,38$	$427 \cdot 14 = 5978$	14227,64
	$0,04 \cdot 7 = 0,28$	$4054,94 \cdot 7 = 28384,6$	7947,69
	$(0,32+0,38) \cdot 10 = 7,0$	$427 \cdot 10 = 4270$	29890,00
3=4	$0,14 \cdot 14 = 1,96$	$533 \cdot 14 = 7462$	14625,52
	$0,31 \cdot 7 = 0,22$	$5068,6757 \cdot 7 = 35480,7$	7865,76
	$(0,27+0,23) \cdot 10 = 6$	$533 \cdot 10 = 5330$	31980,00
5	$0,14 \cdot 14 = 1,96$	$533 \cdot 14 = 7462$	14625,52
	$0,04 \cdot 7 = 0,29$	$4482,80 \cdot 7 = 51379,6$	9160,00
	$(0,27+0,23) \cdot 10 = 6$	$533 \cdot 10 = 5330$	31980,00
6=7	$0,13 \cdot 14 = 1,82$	$610 \cdot 14 = 8540$	15542,80
	$0,03 \cdot 7 = 0,21$	$5123,20 \cdot 7 = 35862,4$	7531,10
	$(0,25+0,3) \cdot 10 = 5,5$	$610 \cdot 10 = 6100$	33550,00

Jumlah  $\Sigma \text{ an}i \cdot \text{Kkn}i$  tiap lantai adalah:

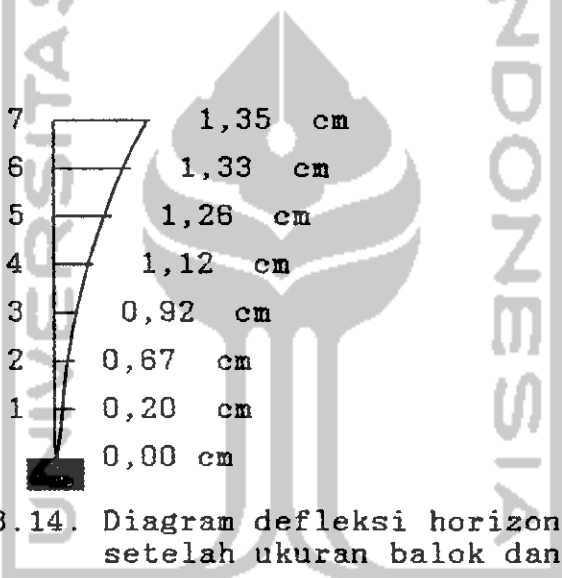
- Lantai 1 =  $56781,44 + 43712,25 + 38857 = 139.350,69$
- Lantai 2 =  $14227,64 + 7947,69 + 29890 = 52.065,33$
- Lantai 3=4 =  $14625,52 + 7865,76 + 31980 = 54411,28$
- Lantai 5 =  $14625,52 + 9160,00 + 31980 = 55705,60$
- Lantai 6=7 =  $15542,80 + 7531,10 + 33550 = 56623,90$

Berdasarkan hitungan di atas maka dapat dicari defleksi horizontal pada portal sebagaimana tersusun dalam tabel berikut:



Tabel 3.19. Hitungan Defleksi horizontal lantai 1 - 7

$\frac{1}{\lambda} \frac{q}{k}$	$\Sigma a_i \cdot K_{ki}$	$0,75 \cdot E \cdot 12/h^2 \text{ kg/cm}^4$	K (kg/cm)	Q (kg)	$\delta_i$ (cm)	$d_i$ (cm)
7	56623,90	15,43	873706,78	20394	0,02	1,35
6	56623,90	15,43	873706,78	57748	0,07	1,33
5	55705,60	11,81	657883,14	92727	0,14	1,26
4	54411,28	11,81	642597,22	129244	0,20	1,12
3	54411,28	11,81	642597,22	180420	0,25	0,92
2	52065,33	7,56	393613,89	185189	0,47	0,67
1	139350,69	7,56	1053491,24	200000	0,20	0,20



Gambar 3.14. Diagram defleksi horizontal ( $\delta_i$ ) setelah ukuran balok dan kolom diubah.

Dari diagram defleksi horizontal di atas apabila dibandingkan dengan portal tanpa dinding-geser (dengan balok dan kolom ukuran 30/70 dan 60/60) masih terdapat selisih persentase defleksi horizontal sebesar 13 %. Artinya bahwa perubahan ukuran balok dan kolom yang dilakukan tidak dapat mencapai 0 % dan selanjutnya balok serta kolom tersebut tidak dapat diperkecil lagi karena ukuran terakhir yang dipakai sudah diperkecil hingga ukuran balok = 25/35 dan kolom 40/40.

## BAB 4

### PROGRAM KOMPUTER

#### 4.1. Pendahuluan

Pada tugas akhir ini, analisis gaya-gaya dalam pada struktur dilakukan selain dengan cara manual juga dilakukan perhitungan dengan program komputer. Program komputer yang digunakan adalah program Framex-1.

Maksud digunakannya perhitungan dengan program komputer ini adalah untuk mempermudah perhitungan dalam rangka mencari defleksi horizontal pada struktur portal. Keluaran yang ditinjau adalah khusus defleksi horizontal sesuai dengan batasan permasalahan.

#### 4.2. Program Framex-1

Program Framex-1 merupakan paket program lengkap karya J. H. Mosley. Program ini hanya dapat menganalisis struktur bangunan dengan beban statis sehingga masih relevan untuk digunakan dalam tugas akhir ini di mana beban gempa yang ditinjau merupakan beban statis.

Program Framex-1 ini dapat dijalankan dengan Personal Computer (micro computer) walaupun tanpa hard disk dan hanya memiliki satu paket program.

#### 4.3. Cara operasi program Framex-1

Sebagai langkah awal, terlebih dahulu dibuat file data struktur dengan menggunakan word processor (word star release 4 ke atas) dalam bentuk file non-document. Dalam



tugas akhir ini penulis menganggap struktur sebagai struktur portal dua dimensi, sehingga koordinat titik joint hanya ditulis dalam dua sumbu yaitu sumbu x dan sumbu y. Adapun data masukan untuk analisis struktur ini dapat dilihat pada lampiran 1 dalam tugas akhir ini.

Setelah data yang tertulis tidak terdapat kesalahan maka program Framex-1 dapat dijalankan dengan perintah sebagai berikut :

A> Framex-1 [return]

Maka program akan menanyakan nama file yang akan dianalisa. Secara langsung program Framex-1 akan menganalisa data masukan dan menghasilkan keluaran yang telah siap dicetak. Adapun keluaran dari hasil analisa struktur dapat dilihat pada lampiran 2.

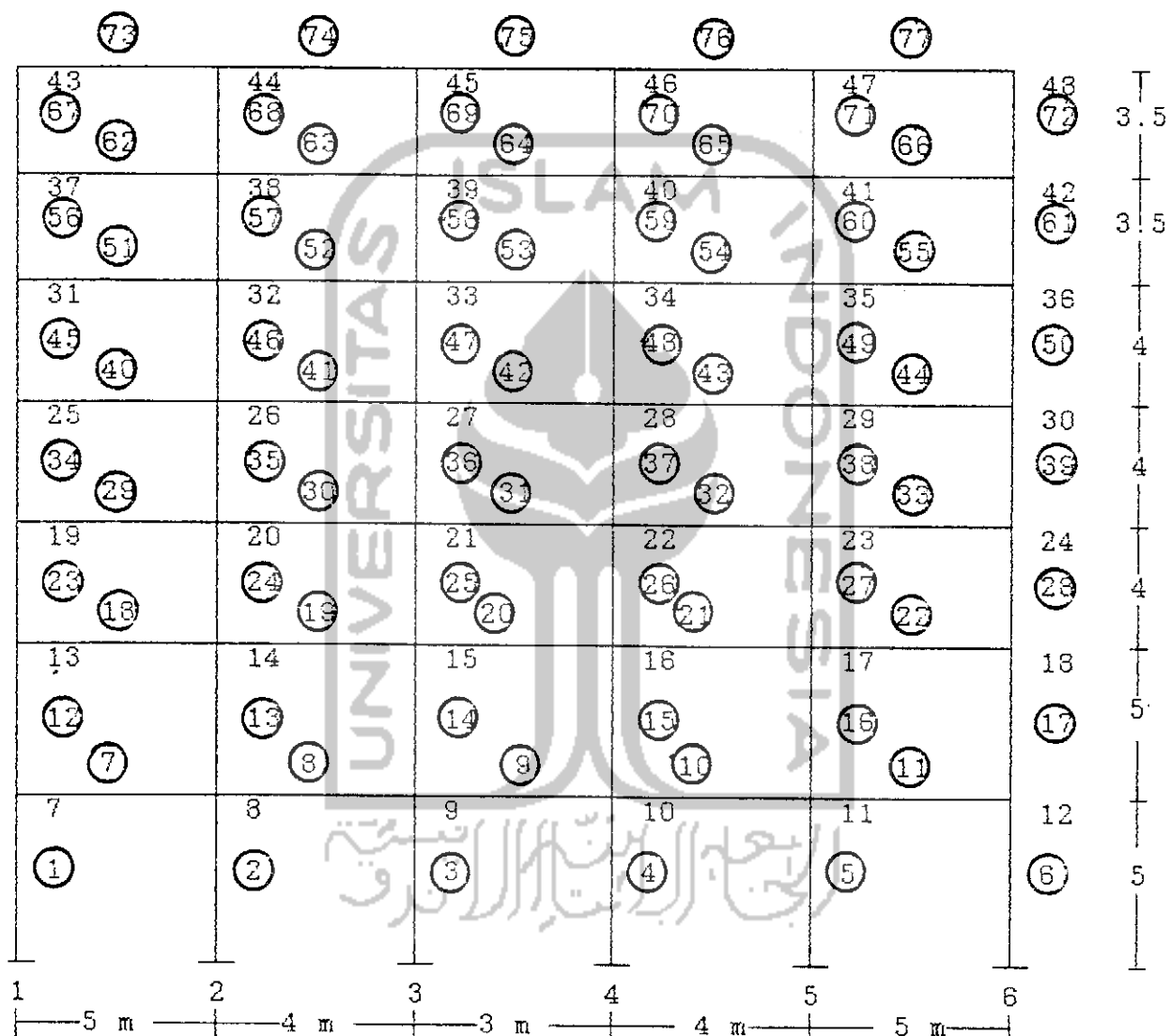
#### 4.4. Cara penomoran titik nodal dan batang

Yang tidak kalah pentingnya adalah cara penomoran titik nodal dan batang dari struktur yang akan dianalisa karena urutan penomoran titik nodal dan batang harus sesuai dengan eksekusi program.

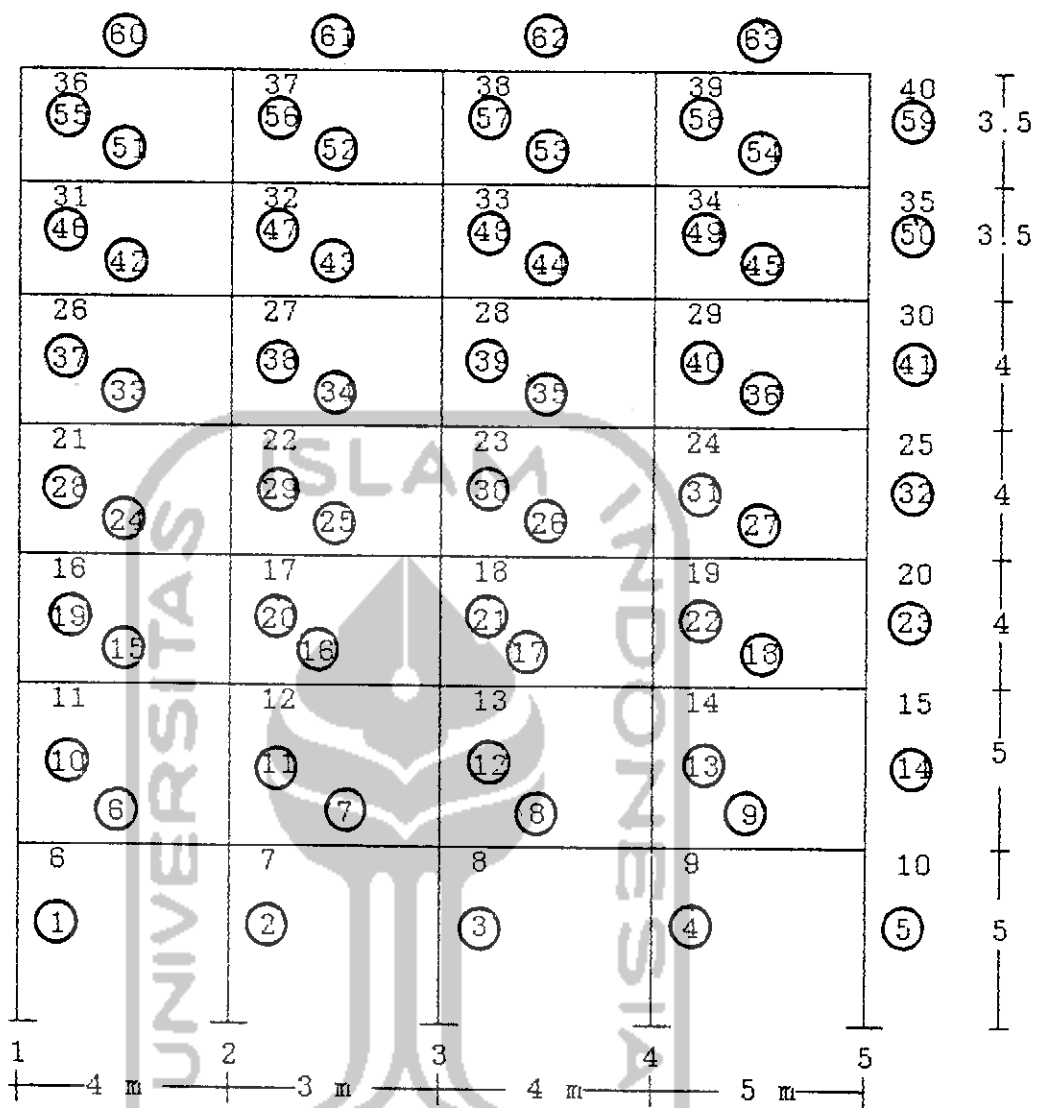
Dalam tugas akhir ini cara penomoran titik nodal dan batang dibedakan dalam dua macam tinjauan yaitu yang pertama struktur portal dengan dinding geser dianggap sebagai kolom dan yang kedua struktur portal dengan dinding geser dianggap sebagai "equivalent bracings".

#### 4.4.1. Cara penomoran pertama

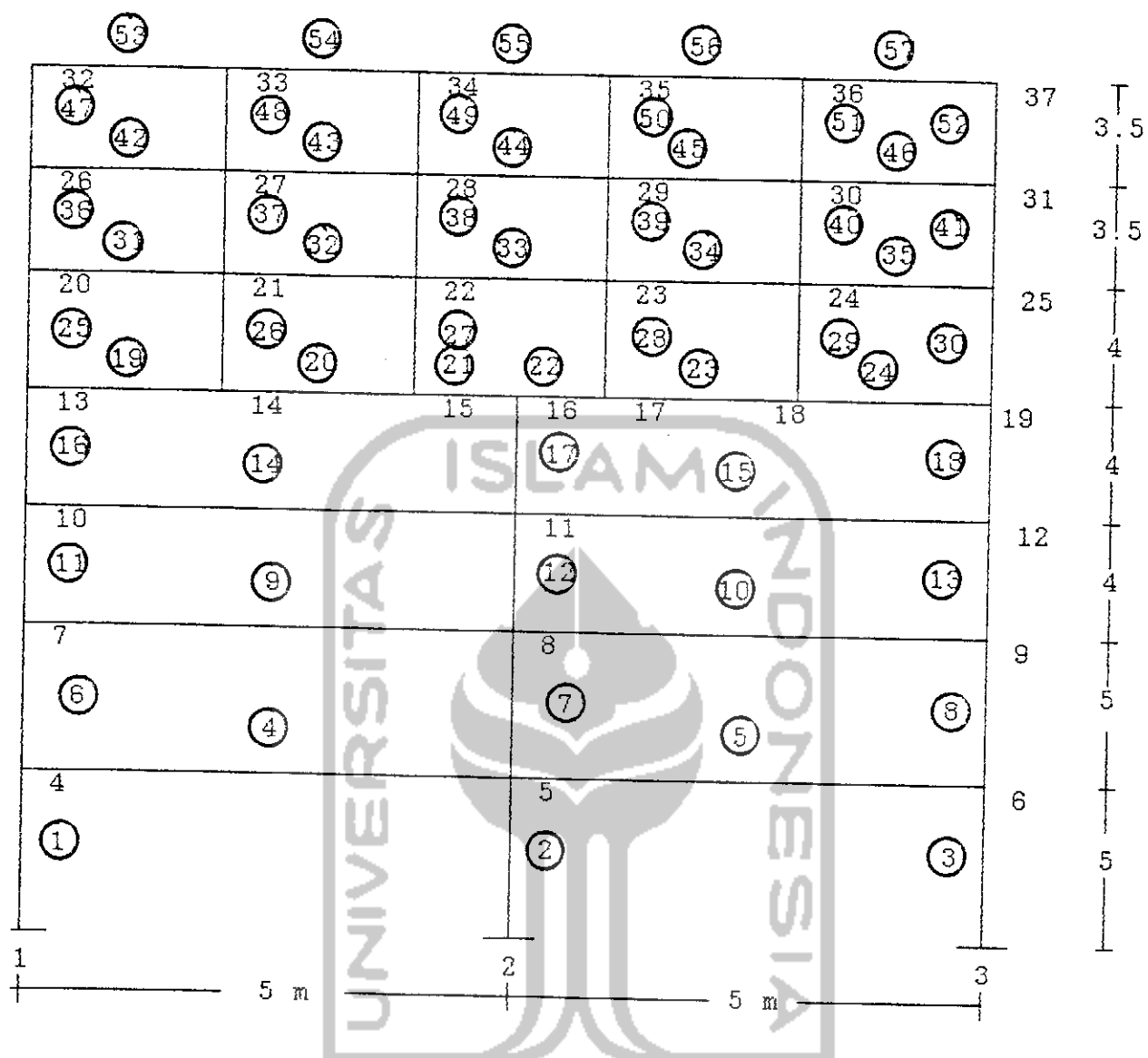
Cara penomoran pertama adalah cara penomoran pada tinjauan dinding geser sebagai kolom. Untuk lebih jelasnya dapat dilihat pada gambar berikut :



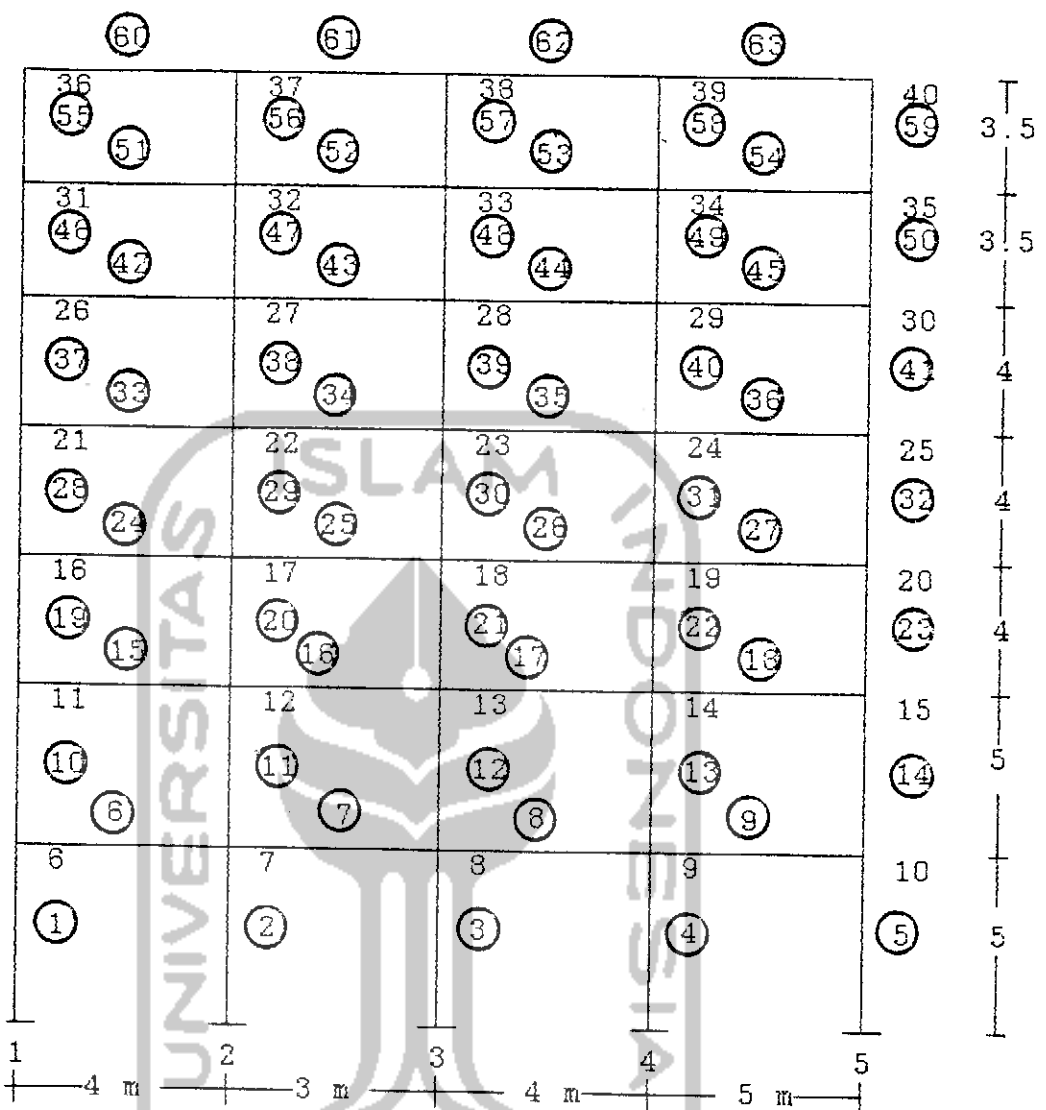
Gambar 4.1. Penomoran titik joint & batang portal terbuka



Gambar 4.2. Penomoran titik joint & batang portal dengan dinding geser dianggap sebagai kolom (kondisi 2)



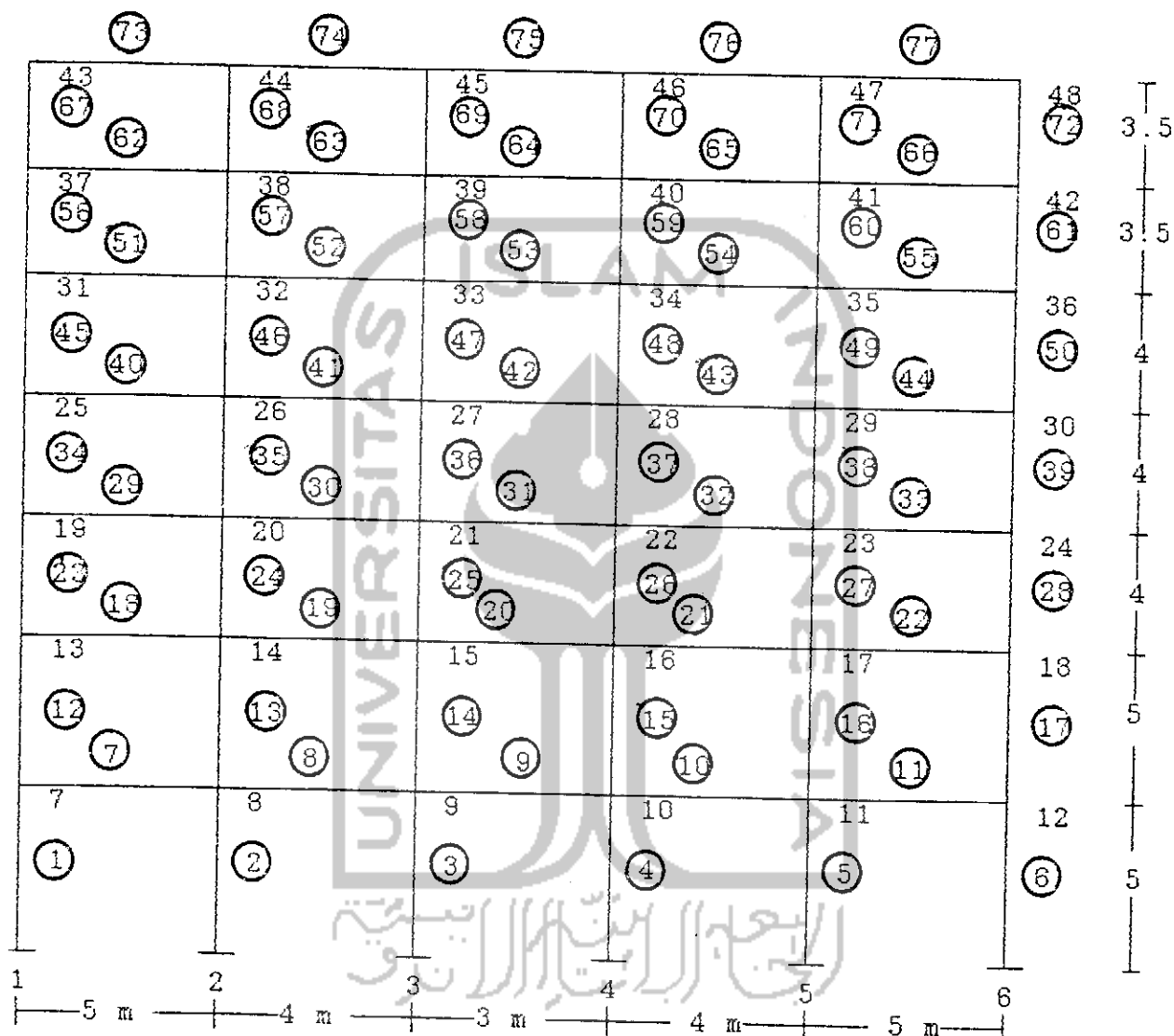
Gambar 4.3. Penomoran titik joint dan batang portal dengan dinding geser dianggap sebagai kolom (kondisi 3)



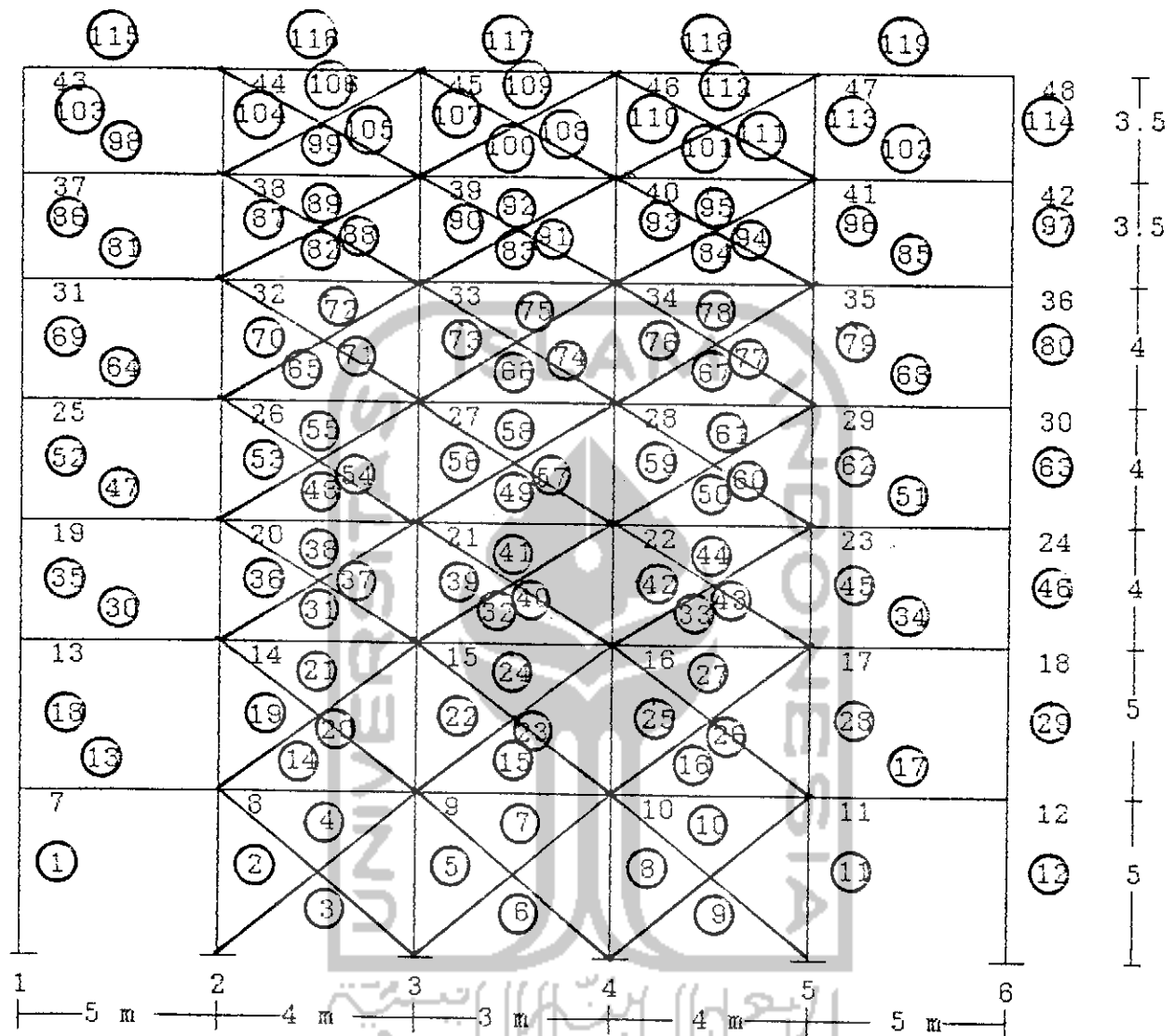
Gambar 4.4. Penomoran titik joint & batang portal dengan dinding geser dianggap sebagai kolom (kondisi 4)

#### 4.4.2. Cara penomoran kedua

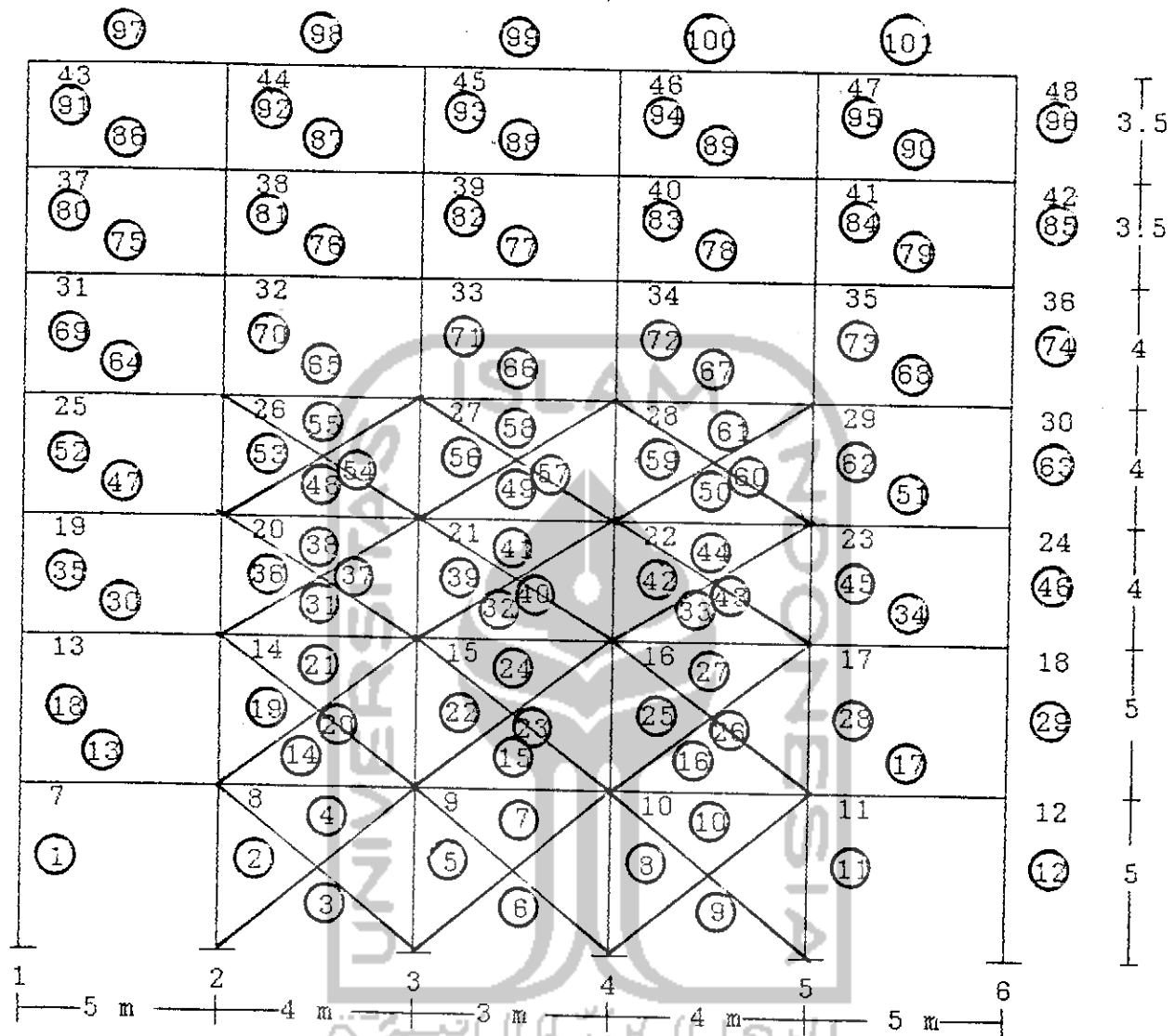
Cara penomoran kedua ini yaitu tinjuan dinding geser sebagai "equivalent bracings". Untuk lebih jelasnya bisa dilihat pada gambar berikut :



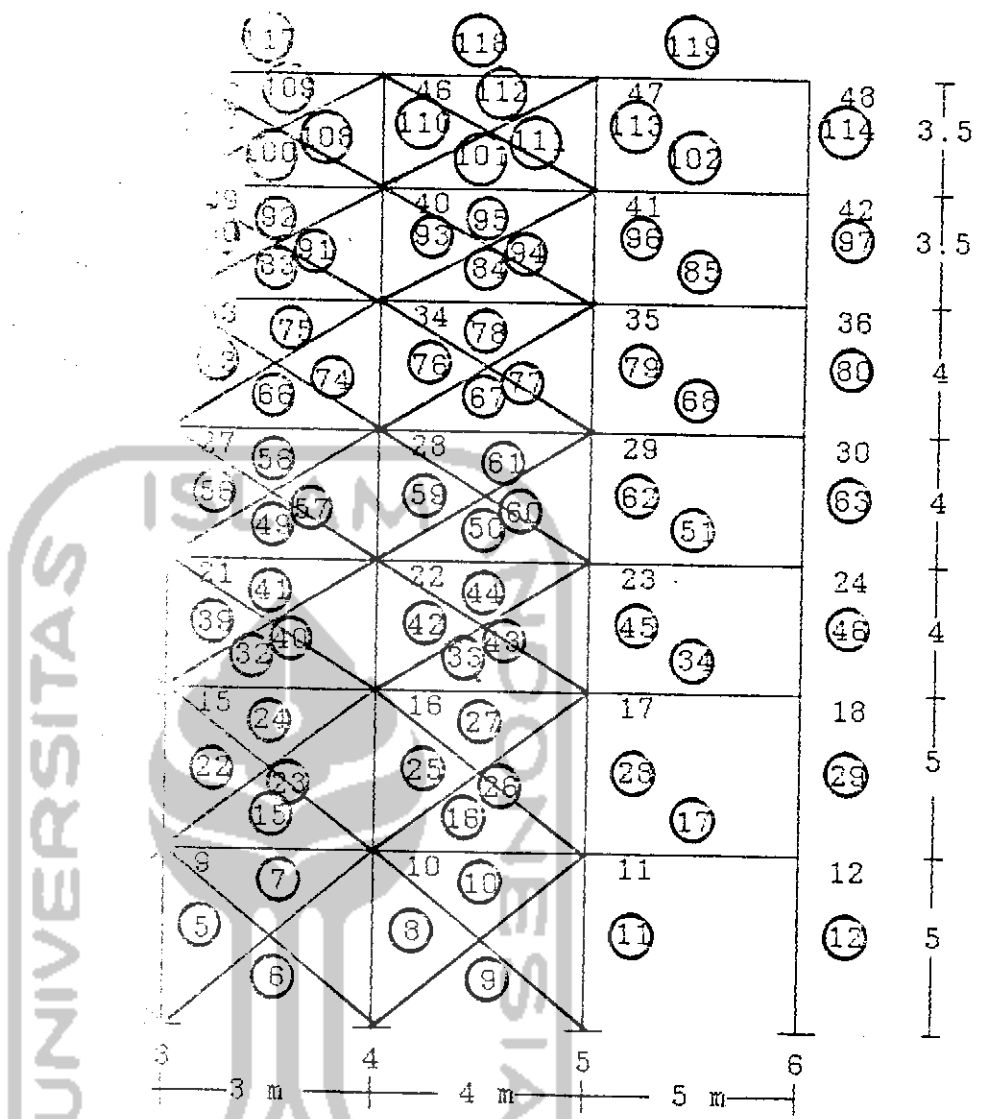
Gambar 4.5. Penomoran titik joint & batang portal terbuka tanpa dinding geser (kondisi 1)



Gambar 4.6. Penomoran titik joint & batang portal terbuka dengan dinding geser dianggap sebagai equivalent bracings (kondisi 2)



Gambar 4.7. Penomoran titik joint & batang portal terbuka dengan dinding geser dianggap sebagai equivalent bracings (kondisi 3)



titik joint & batang portal terbuka  
ending geser dianggap sebagai equivalent  
(kondisi 4)



## BAB 5

### HASIL PERHITUNGAN DAN PEMBAHASAN

#### 5.1. Umum

Pembahasan hasil perhitungan dalam hal ini adalah pembahasan hasil perhitungan manual dan perhitungan dengan microcomputer dengan tujuan untuk membandingkan defleksi horizontal yang terjadi pada struktur sebagaimana telah disebutkan dalam batasan masalah yaitu stabilitas struktur dengan indikator defleksi horizontal. Jadi gaya-gaya dalam yang terjadi tidak dibahas pada kesempatan ini.

#### 5.2. Ringkasan Hasil Perhitungan

##### 5.2.1. Hasil Perhitungan Manual dengan Metode Muto.

Sebagai langkah awal dalam perhitungan defleksi horizontal pada struktur portal terbuka dan portal dengan dinding geser ini dilakukan dengan cara Muto dengan mengasumsikan dinding geser sebagai kolom saja. Sedangkan pada perhitungan dengan komputer dinding geser selain dianggap sebagai kolom juga dianggap sebagai "equivalent bracings".

Untuk lebih jelasnya dapat dilihat pada tabel berikut:

Tabel 5.1. Defleksi Horizontal pada struktur portal terbuka dengan dinding geser yang dianggap sebagai kolom.

LANTAI TINGKAT	KONDISI 1 (cm)	KONDISI 2 (cm)	KONDISI 3 (cm)	KONDISI 4 (cm)
7	1,436	0,215	0,634	1,35
6	1,416	0,212	0,594	1,33
5	1,351	0,204	0,482	1,26
4	1,213	0,186	0,217	1,12
3	1,035	0,161	0,190	0,92
2	0,820	0,129	0,157	0,67
1	0,411	0,058	0,081	0,20

Dari tabel di atas terlihat bahwa angka defleksi horizontal pada kondisi 1 sampai dengan kondisi 4, ternyata angka defleksi yang mendekati kondisi 1 yaitu portal terbuka dengan ukuran balok dan kolom 3/70 dan 60/60 cm hanya kondisi 4 yaitu portal terbuka dengan dinding geser menerus dari lantai 1 sampai dengan lantai 7 dengan ukuran balok dan kolom yang diperkecil menjadi 25/35 dan 4/40 cm. Sedangkan kondisi 2 yaitu portal dengan dinding geser menerus dari lantai 1 sampai dengan lantai 7 dengan ukuran balok dan kolom 30/70 dan 60/60 cm serta kondisi 3 yaitu portal dengan dinding geser menerus dari lantai 1 sampai lantai 4 dengan ukuran balok dan kolom 30/6 dan 60/60 cm cukup besar selisihnya bila dibandingkan dengan kondisi 1.



Hal tersebut berarti bahwa pemakaian dinding geser dapat memperkecil ukuran balok dan kolom hingga mencapai 30 % dari ukuran sebenarnya bila portal tidak memakai dinding geser.

### 5.2.2. Hasil Perhitungan dengan Microcomputer

#### 5.2.2.1. Anggapan dinding geser sebagai kolom

Yang pertama kali dilakukan dalam perhitungan dengan komputer ini adalah menghitung struktur portal terbuka kemudian portal dengan dinding geser dianggap sebagai kolom.

Tabel 5.2. Defleksi Horizontal pada struktur Portal terbuka dan dengan dinding geser yang dianggap sebagai kolom.

LANTAI TINGKAT	KEADAAN 1 (cm)	KEADAAN 2 (cm)	KEADAAN 3 (cm)	KEADAAN 4 (cm)
7	0,731	0,274	3,94	0,787
6	0,712	0,197	3,21	0,673
5	0,671	0,167	2,44	0,552
4	0,594	0,131	1,49	0,416
3	0,495	0,932	1,058	0,284
2	0,372	0,569	0,0250	0,164
1	0,161	0,183	0,0082	0,0498

Dari tabel di atas terlihat bahwa defleksi horizontal yang terjadi pada semua keadaan masih dalam batas aman (di bawah defleksi maksimum 2 cm)



kecuali pada keadaan 3 di mana defleksi horizontal yang terjadi melampaui defleksi maksimum.

Dari tabel di atas juga terlihat bahwa defleksi pada keadaan 4 mendekati defleksi pada keadaan 1. Hal ini berarti setara dengan hasil perhitungan manual, meskipun nilai defleksi pada hitungan komputer ini berbeda dengan perhitungan manual. Hal ini disebabkan oleh karena adanya perbedaan landasan teori Muto yang digunakan untuk menghitung defleksi secara manual dengan program perhitungan Framex-1 di mana Muto mendasarkan kekakuan struktur sebagai kekakuan relatif sedangkan program Framex-1 menghitung kekakuan struktur sebagai kekakuan absolut dengan cara matriks kekakuan.

#### 5.2.2.2. Anggapan dinding geser sebagai "equivalent bracings"

Sebagaimana disebutkan pada landasan teori bahwa dinding geser dapat dianggap sebagai kolom dan juga sebagai "equivalent bracings". Maka setelah dihitung dengan komputer hasil defleksi pada struktur dapat dilihat pada tabel berikut:



Tabel 5.3. Defleksi Horizontal pada struktur Portal terbuka dan dengan dinding geser yang dianggap sebagai "equivalent bracings"

LANTAI TINGKAT	KONDISI 1 (cm)	KONDISI 2 (cm)	KONDISI 3 (cm)	KONDISI 4 (cm)
7	0,731	0,0914	4,83	0,148
6	0,712	0,0821	2,981	0,131
5	0,671	0,0695	1,20	0,109
4	0,594	0,0547	0,0602	0,0849
3	0,495	0,0399	0,0342	0,0606
2	0,372	0,0260	0,0244	0,0384
1	0,161	0,0109	0,00987	0,0156

Dari tabel di atas terlihat bahwa defleksi horizontal yang terjadi pada kondisi 1 sampai dengan kondisi 4 masih jauh di bawah defleksi horizontal yang diizinkan (2 cm) kecuali defleksi yang terjadi pada kondisi 3 dimana defleksi pada lantai 6 dan 7 melampaui batas defleksi yang aman.

Dari tabel tersebut dapat diketahui pula bahwa defleksi horizontal pada kondisi 4 tetap mendekati kondisi 1, sehingga menyerupai perhitungan defleksi secara manual meskipun perbedaan nilai defleksi pada kondisi 1 sampai dengan kondisi 4 masih sangat besar apabila dibandingkan dengan perhitungan manual. Hal ini disebabkan karena pendekatan teori Muto berdasarkan kekakuan relatif pada joint sementara program Framex-1



berdasarkan kekakuan absolut pada struktur yang diperhitungkan dalam kekakuan matriks.

Terlalu kecilnya defleksi horizontal yang terjadi bila dibandingkan dengan defleksi izin (2 cm) tersebut disebabkan oleh karena anggapan dinding geser sebagai "equivalent bracings" yang mengakibatkan besarnya inertia balok dan kolom sehingga struktur portal menjadi sangat kaku.

Dari seluruh perhitungan di atas baik pada perhitungan manual maupun perhitungan dengan komputer membuktikan bahwa pemakaian dinding geser akan memperbesar kekakuan struktur dan memperkecil defleksi horizontal yang terjadi. Namun demikian asumsi ini hanya berlaku pada stabilitas struktur berdasarkan nilai defleksi horizontalnya karena sebenarnya merubah dimensi balok dan kolom juga harus diperhitungkan terhadap reaksi gaya dalam struktur khususnya terhadap gaya-gaya vertikal.

#### **5.2.3. Perbandingan hasil hitungan pada masing-masing kondisi .**

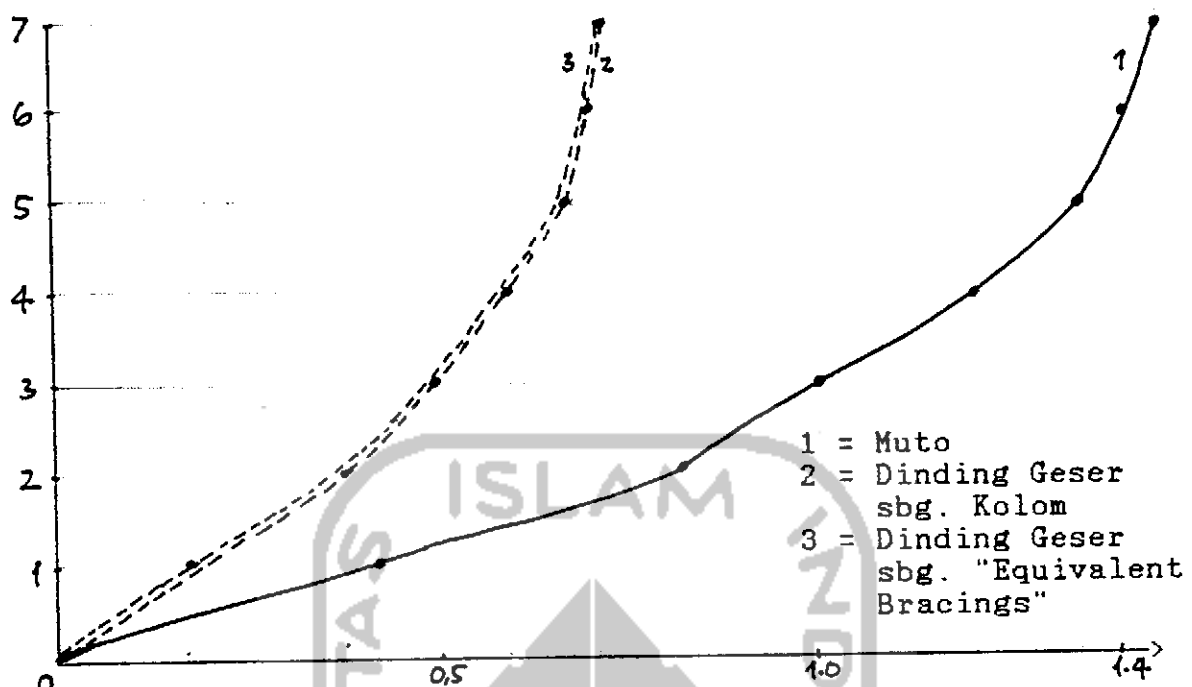
Setelah dikemukakan hasil-hasil perhitungan di muka yaitu dengan cara manual dengan teori Muto dan dengan menggunakan program komputer Framex-1 yang menghitung portal dengan dinding geser dengan pendekatan dinding geser sebagai kolom dan sebagai "equivalent bracings" maka berikut disajikan perbandingan hasil perhitungan

pada masing-masing keadaan/kondisi. Maksud dikemukakananya perbandingan hasil perhitungan dari masing-masing kondisi ini adalah untuk mengetahui perhitungan dinding geser yang paling efisien . Selengkapnya perbandingan tersebut dapat dilihat pada tabel-tabel berikut:

Tabel 5.4. Defleksi horizontal pada kondisi 1  
(ukuran defleksi dalam cm)

Lantai	M u t o	Kolom equivalent		Equivalent bracings	
	arah x	arah x	arah y	arah x	arah y
7	1.436	0.731	0.0138	0.731	0.0138
6	1.416	0.712	0.0138	0.712	0.0138
5	1.351	0.671	0.0135	0.671	0.0135
4	1.213	0.594	0.0128	0.594	0.0128
3	1.035	0.495	0.0115	0.495	0.0115
2	0.820	0.372	0.0094	0.372	0.0094
1	0.411	0.161	0.0054	0.161	0.0054

Untuk lebih memperjelas perbandingan hitungan di atas maka berikut disajikan grafik perbandingan hitungannya.



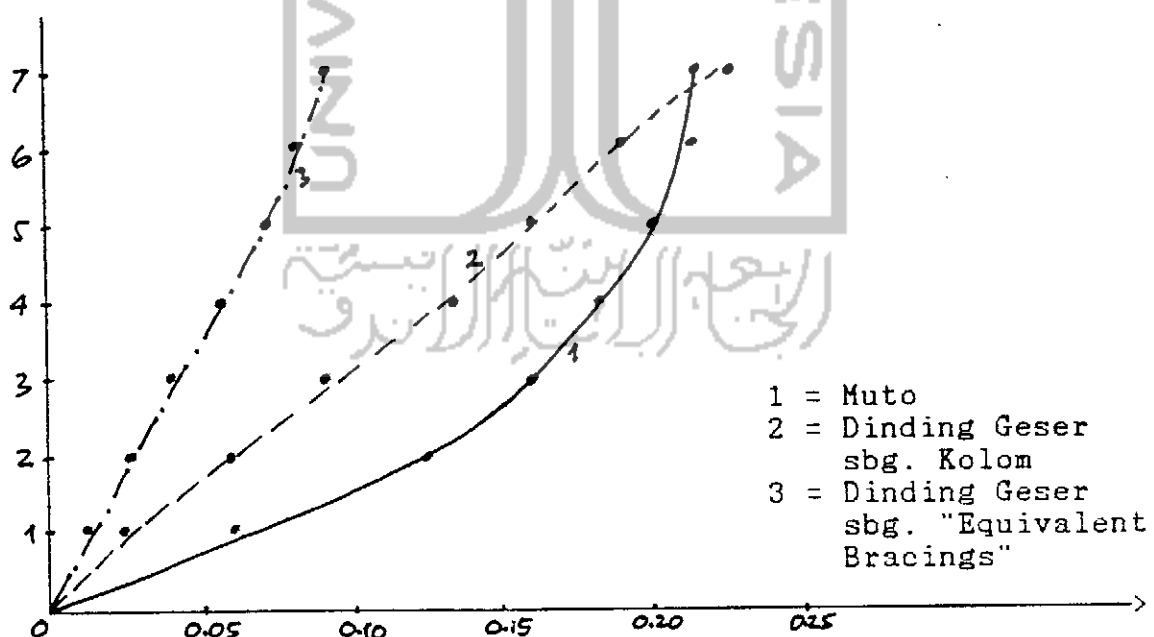
Gambar 5.1. Grafik defleksi pada kondisi 1

Gambar 5.1. tersebut di atas menunjukkan defleksi horizontal pada kondisi 1 di mana struktur portal belum diberi dinding geser. Oleh karena itu sebenarnya anggapan terhadap dinding geser belum digunakan untuk perhitungan, maka struktur portal masih berupa portal terbuka. Adapun hasilnya dapat dilihat bahwa grafik 1 yang merupakan hasil perhitungan secara manual menunjukkan angka defleksi horizontal yang lebih besar daripada grafik 2 dan 3 yang merupakan hasil perhitungan dengan microcomputer. Hal tersebut disebabkan oleh karena perhitungan manual berdasarkan teori Muto yang menganalisa struktur dalam 1 (satu) derajat kebebasan,

sementara program Framex-1 menganalisa struktur dalam 3 derajat kebebasan.

Tabel 5.5. Defleksi horizontal pada kondisi 2  
(ukuran defleksi dalam cm)

Lantai	M u t o	Kolom equivalent		Equivalent bracings	
	arah x	arah x	arah y	arah x	arah y
7	0.215	0.224	0.0180	0.0914	0.00634
6	0.212	0.197	0.0176	0.0821	0.00619
5	0.204	0.167	0.0695	0.0695	0.00584
4	0.186	0.131	0.0151	0.0547	0.00521
3	0.161	0.0932	0.0127	0.0399	0.00435
2	0.129	0.0569	0.0098	0.0260	0.00328
1	0.058	0.0183	0.0052	0.0109	0.00172



Gambar 5.2. Grafik defleksi pada kondisi 2

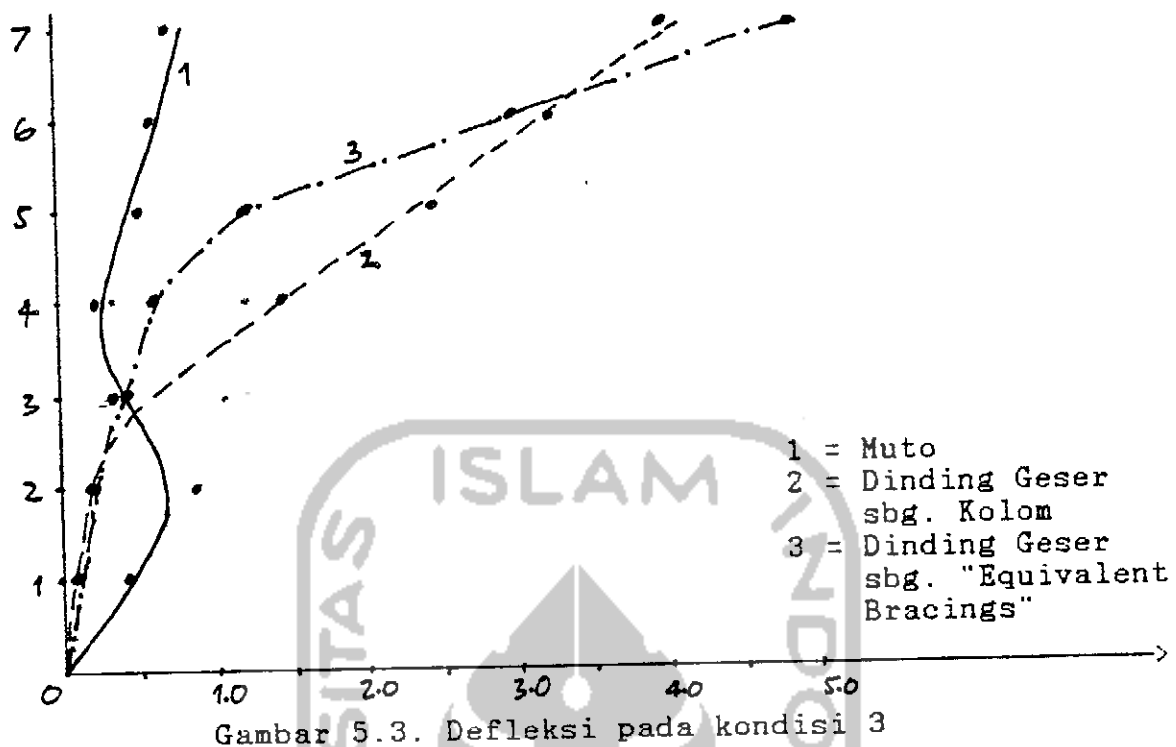


Gambar 5.2. di atas adalah menunjukan defleksi pada kondisi 2 yaitu portal dengan dinding geser menerus dari lantai hingga lantai 7 dengan ukuran balok dan kolom sama dengan kondisi 1 yaitu 30/70 cm dan 60/60 cm.

Terlihat bahwa defleksi yang paling kecil dihasilkan dari analisa dinding geser sebagai "equivalent bracings" sementara defleksi terbesar dihasilkan dari analisa Muto. Hal tersebut membuktikan bahwa anggapan dinding geser sebagai "equivalent bracings" memberikan nilai kekakuan struktur yang terbesar. Dengan demikian pendekatan dinding geser sebagai "equivalent bracings" adalah yang paling efisien untuk digunakan untuk perencanaan gedung bertingkat banyak dengan dinding geser.

Tabel 5.6. Defleksi horizontal pada kondisi 3  
(ukuran defleksi dalam cm)

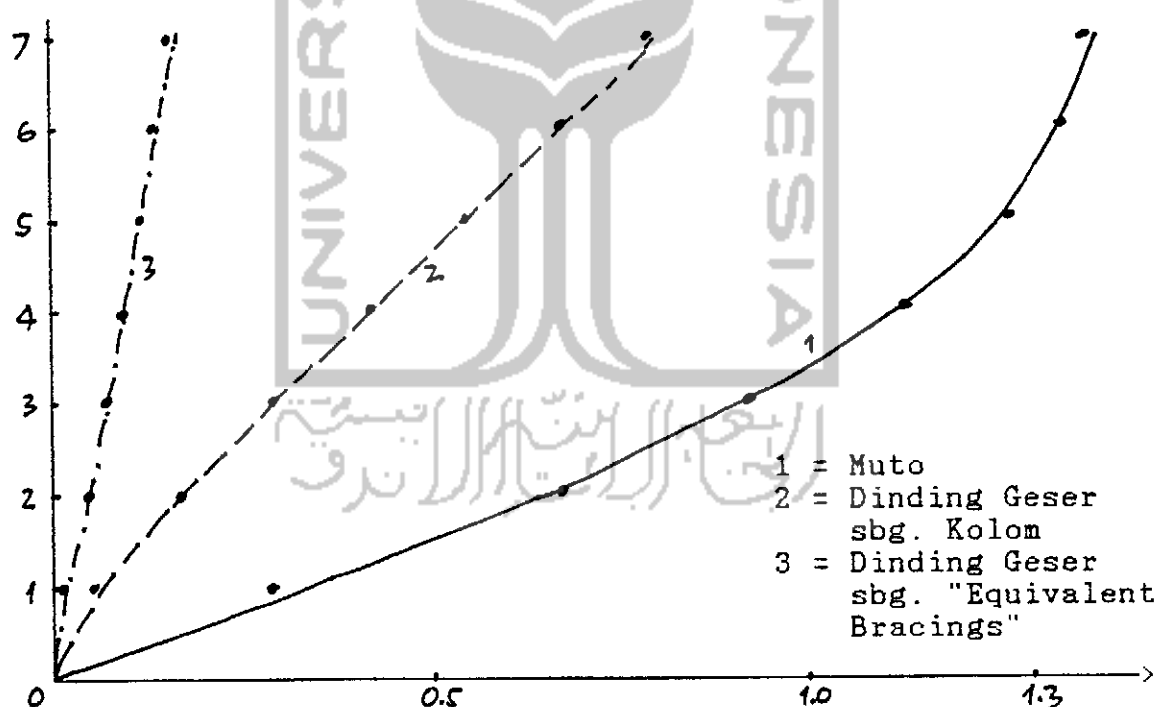
Lantai	M u t o	Kolom equivalent		Equivalent bracings	
		arah x	arah x	arah y	arah y
7	0.634	3.940	0.0415	4,830	0.0082
6	0.594	3.210	0.0415	2.981	0.0082
5	0.482	2.442	0.0399	1,200	0.0082
4	0.217	1.470	0.0356	0.0602	0.0082
3	0.035	0.058	0.0296	0.0342	0.00645
2	0.820	0.0205	0.0022	0.0244	0.00477
1	0.411	0.00825	0.0104	0.00987	0.00244



Gambar 5.3. ini menunjukkan defleksi pada kondisi 3 yaitu portal dengan dinding geser menerus dari lantai 1 sampai dengan lantai 4, sedangkan lantai 5 ke atas berupa portal terbuka. Hasil yang didapat dari analisa dinding geser sebagai kolom dan "equivalent bracings" menunjukkan defleksi yang besar pada lantai 5 ke atas yang berupa portal terbuka. Hal tersebut membuktikan bahwa pemasangan dinding geser yang tidak menerus sampai dengan lantai teratas menyebabkan fleksibilitas yang tinggi pada lantai 5 ke atas yang berupa portal terbuka.

Tabel 5.7. Defleksi horizontal pada kondisi 4  
(ukuran defleksi dalam cm)

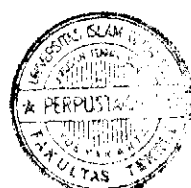
Lantai	M u t o	Kolom equivalent		Equivalent bracings	
		arah x	arah x	arah y	arah y
7	1.350	0.787	0.0198	0.148	0.00323
6	1.330	0.673	0.0193	0.131	0.00314
5	1.261	0.552	0.0182	0.109	0.00295
4	1.120	0.416	0.0162	0.0849	0.00262
3	0.920	0.284	0.0135	0.0606	0.00217
2	0.670	0.164	0.0101	0.0384	0.00163
1	0.280	0.0498	0.0053	0.0156	0.00085



Gambar 5.4. Grafik defleksi pada kondisi 4

Gambar 5.4. yang menunjukkan defleksi pada kondisi 4 ini hampir sama kondisinya dengan gambar 5.2. hanya saja pada kondisi4 ini ukuran balok dan kolom lebih diperkecil menjadi 25/35 cm dan 40/40 cm.

Dari grafik tersebut di atas membuktikan pula bahwa perencanaan dengan anggapan dinding geser sebagai "equivalent bracings" adalah yang paling efisien.



## BAB 6

### KESIMPULAN DAN SARAN

#### 6.1. Kesimpulan

Dari pembahasan pemakaian dinding geser pada struktur portal gedung bertingkat banyak di muka maka dapat diambil beberapa kesimpulan sebagai berikut:

1. Pemakaian dinding geser pada struktur portal gedung bertingkat banyak memberikan nilai kekakuan struktur yang besar sehingga daya tahan struktur terhadap gaya horizontal semakin besar.
2. Pemakaian luasan dinding geser pada struktur portal gedung bertingkat banyak, pada batas tertentu dapat digunakan untuk memperkecil ukuran balok dan kolom tanpa mengurangi kemampuan struktur dalam menahan gaya horizontal akibat gempa.
3. Dalam menghitung defleksi horizontal pada portal gedung dengan dinding geser dapat dilakukan pendekatan dengan menganggap dinding geser sebagai kolom dan "equivalent bracings".
4. Perhitungan defleksi horizontal pada portal gedung bertingkat dengan Metode D-Value menghasilkan angka defleksi horizontal yang lebih besar daripada perhitungan dengan pendekatan dinding geser sebagai kolom dan "equivalent bracings". Hal tersebut terjadi akibat pendekatan derajat kebebasan struktur yang berbeda yang menyebabkan angka kekakuan struktur juga berbeda.



4. Perhitungan defleksi horizontal pada struktur portal gedung bertingkat dengan anggapan dinding geser sebagai kolom dan "equivalent bracings" menghasilkan angka defleksi horizontal yang hampir sama.
5. Dari hasil perhitungan defleksi horizontal pada struktur portal gedung bertingkat banyak dengan dinding geser terbukti bahwa pendekatan dinding geser sebagai "equivalent bracings" adalah yang paling efisien dalam perencanaan.
6. Pemakaian dinding geser yang tidak menerus sampai dengan lantai atas dapat menyebabkan perbedaan angka kekakuan struktur yang besar antara lantai tingkat yang berdinding geser dengan lantai tingkat yang tidak berdinding geser.
7. Dalam studi pustaka ini, pada kasus perhitungan kondisi 3 yaitu portal dengan dinding geser menerus dari lantai 1 hingga lantai 4 dan lantai 5 sampai dengan lantai 7 berupa portal terbuka, ternyata defleksi pada lantai 5 ke atas menjadi besar. Namun gaya-gaya batangnya menjadi kecil... Hal tersebut berarti menunjukkan terjadinya fleksibilitas yang tinggi pada lantai 5 ke atas. Untuk itu perlu diperiksa batas defleksi bahan konstruksi yang diperkenankan.

#### 6.2. Saran-saran

Untuk kelanjutan studi pustaka dalam masalah pemakaian dinding geser pada struktur portal gedung bertingkat banyak serupa dengan tugas akhir ini maka



perlu saran-saran sebagai berikut:

1. Dalam merencanakan struktur bangunan bertingkat banyak dengan dinding geser disarankan untuk menggunakan pendekatan dinding geser sebagai "equivalent bracings" dalam perhitungannya.
2. Dalam tugas akhir ini, analisa struktur portal dengan dinding geser hanya membahas stabilitas struktur terhadap gaya horizontal saja. Untuk selanjutnya perlu analisa struktur terhadap gaya-gaya vertikal akibat pengecilan dimensi balok dan kolom struktur sehingga struktur bangunan tidak hanya aman terhadap gaya-gaya horizontal tetapi juga aman terhadap gaya-gaya vertikal.
3. Pada kasus defleksi horizontal lantai tingkat bangunan yang melebihi batas defleksi yang diperkenankan harus dilakukan pemeriksaan kekuatan bahan terhadap batas defleksi yang diizinkan.
4. Dalam tugas akhir ini variabel gaya-gaya dalam struktur dan momen-momenya tidak dibahas, sehingga tidak dapat digunakan untuk analisa perhitungan penulangan dinding geser.



## P E N U T U P

Segala puji bagi Allah Tuhan seru sekalian alam.

Para pembaca yang budiman !

Setelah anda membaca tugas akhir ini dengan seksama tentunya ada ilmu dan hal-hal baru yang didapat. Demikianlah harapan kami dalam menyusun tugas akhir ini tidak lain adalah agar ada temuan-temuan yang bermanfaat di kemudian hari. Namun demikian kami menyadari pula bahwa sebagai manusia biasa sudah barang tentu penyusun melakukan kesalahan dalam menyusun tugas akhir ini. Untuk itu koreksi, kritik dan saran selalu kami harapkan demi kesempurnaan tugas akhir ini maupun pengembangannya di masa mendatang.

Akhirnya kami mengucapkan terima kasih atas kesediaan anda membaca tugas akhir ini.

W a s s a l a m



## DAFTAR PUSTAKA

1. Departemen Pekerjaan Umum, Peraturan Perencanaan Tahan Gempa Indonesia untuk Gedung, 1983.
2. Hutchison, David L., Disain Bangunan Tingkat Banyak Tahan Gempa, DPU, 1983.
3. Muto, Kiyoshi, Analisis Perencanaan Gedung Tahan Gempa, Erlangga, 1987.
4. Seminar Bangunan Tahan Gempa Indonesia, 1989.
5. Seminar Bangunan Tahan Gempa Indonesia, 1993.



KEADAAN 1 (TANPA DINDING GESEN)

JOINT DISPLACEMENTS

JNT.	X	Y	ROT.
1	0.000E 00	0.000E 00	0.000E 00
2	0.000E 00	0.000E 00	0.000E 00
3	0.000E 00	0.000E 00	0.000E 00
4	0.000E 00	0.000E 00	0.000E 00
5	0.000E 00	0.000E 00	0.000E 00
6	0.000E 00	0.000E 00	0.000E 00
7	0.161E-02	0.544E-04	-0.322E-03
8	0.161E-02	0.202E-04	-0.210E-03
9	0.160E-02	0.248E-04	-0.189E-03
10	0.160E-02	-0.248E-04	-0.189E-03
11	0.160E-02	-0.202E-04	-0.209E-03
12	0.159E-02	-0.543E-04	-0.319E-03
13	0.372E-02	0.941E-04	-0.278E-03
14	0.370E-02	0.373E-04	-0.200E-03
15	0.370E-02	0.401E-04	-0.184E-03
16	0.369E-02	-0.402E-04	-0.184E-03
17	0.369E-02	-0.373E-04	-0.199E-03
18	0.368E-02	-0.939E-04	-0.276E-03
19	0.495E-02	0.115E-03	-0.216E-03
20	0.493E-02	0.476E-04	-0.160E-03
21	0.492E-02	0.461E-04	-0.150E-03
22	0.491E-02	-0.462E-04	-0.150E-03
23	0.491E-02	-0.476E-04	-0.160E-03
24	0.490E-02	-0.115E-03	-0.214E-03
25	0.594E-02	0.128E-03	-0.176E-03
26	0.592E-02	0.548E-04	-0.129E-03
27	0.591E-02	0.480E-04	-0.123E-03
28	0.590E-02	-0.480E-04	-0.123E-03
29	0.590E-02	-0.548E-04	-0.129E-03
30	0.589E-02	-0.128E-03	-0.175E-03
31	0.671E-02	0.135E-03	-0.124E-03
32	0.669E-02	0.594E-04	-0.929E-04
33	0.667E-02	0.472E-04	-0.899E-04
34	0.666E-02	-0.472E-04	-0.897E-04
35	0.666E-02	-0.593E-04	-0.921E-04
36	0.665E-02	-0.135E-03	-0.122E-03
37	0.712E-02	0.138E-03	-0.673E-04
38	0.709E-02	0.617E-04	-0.545E-04
39	0.707E-02	0.456E-04	-0.552E-04
40	0.706E-02	-0.454E-04	-0.554E-04
41	0.706E-02	-0.615E-04	-0.554E-04
42	0.705E-02	-0.138E-03	-0.697E-04
43	0.731E-02	0.138E-03	-0.333E-04
44	0.729E-02	0.626E-04	-0.240E-04
45	0.728E-02	0.444E-04	-0.313E-04
46	0.727E-02	-0.442E-04	-0.316E-04
47	0.727E-02	-0.623E-04	-0.253E-04
48	0.726E-02	-0.139E-03	-0.390E-04

(1)

KEADAAN 2 (DENGAN DINDING GESER)

JOINT DISPLACEMENTS

JNT.	X	Y	ROT.
1	0.000E 00	0.000E 00	0.000E 00
2	0.000E 00	0.000E 00	0.000E 00
3	0.000E 00	0.000E 00	0.000E 00
4	0.000E 00	0.000E 00	0.000E 00
5	0.000E 00	0.000E 00	0.000E 00
6	0.183E-03	0.518E-04	-0.411E-04
7	0.160E-03	0.182E-04	-0.579E-04
8	0.158E-03	0.964E-05	-0.562E-04
9	0.145E-03	-0.260E-04	-0.536E-04
10	0.277E-03	-0.491E-04	-0.542E-04
11	0.569E-03	0.978E-04	-0.629E-04
12	0.532E-03	0.345E-04	-0.853E-04
13	0.522E-03	0.173E-04	-0.823E-04
14	0.500E-03	-0.491E-04	-0.836E-04
15	0.681E-03	-0.914E-04	-0.508E-04
16	0.932E-03	0.127E-03	-0.655E-04
17	0.892E-03	0.455E-04	-0.924E-04
18	0.874E-03	0.213E-04	-0.899E-04
19	0.858E-03	-0.638E-04	-0.924E-04
20	0.949E-03	-0.118E-03	-0.468E-04
21	0.131E-02	0.151E-03	-0.649E-04
22	0.126E-02	0.540E-04	-0.918E-04
23	0.124E-02	0.234E-04	-0.907E-04
24	0.123E-02	-0.746E-04	-0.910E-04
25	0.123E-02	-0.139E-03	-0.584E-04
26	0.167E-02	0.167E-03	-0.700E-04
27	0.162E-02	0.609E-04	-0.878E-04
28	0.160E-02	0.241E-04	-0.846E-04
29	0.158E-02	-0.829E-04	-0.849E-04
30	0.158E-02	-0.154E-03	-0.690E-04
31	0.197E-02	0.176E-03	-0.674E-04
32	0.192E-02	0.648E-04	-0.846E-04
33	0.188E-02	0.240E-04	-0.745E-04
34	0.187E-02	-0.877E-04	-0.798E-04
35	0.186E-02	-0.160E-03	-0.363E-04
36	0.224E-02	0.180E-03	-0.442E-04
37	0.222E-02	0.669E-04	-0.827E-04
38	0.213E-02	0.237E-04	-0.665E-04
39	0.214E-02	-0.902E-04	-0.774E-04
40	0.192E-02	-0.162E-03	0.243E-05

KEADAAN 3 (DENGAN DINDING GESER)

JOINT DISPLACEMENTS

JNT.	X	Y	ROT.
1	0.000E 00	0.000E 00	0.000E 00
2	0.000E 00	0.000E 00	0.000E 00
3	0.000E 00	0.000E 00	0.000E 00
4	0.103E-03	0.853E-04	-0.744E-04
5	0.477E-04	-0.938E-05	-0.176E-04
6	-0.182E-04	-0.278E-05	0.729E-05
7	0.643E-04	0.170E-03	0.328E-03
8	0.162E-03	-0.187E-04	-0.270E-04
9	-0.608E-04	-0.549E-05	0.973E-05
10	0.773E-03	0.239E-03	-0.190E-02
11	0.275E-03	-0.263E-04	-0.282E-04
12	-0.857E-04	-0.757E-05	0.272E-05
13	0.160E-01	0.300E-03	-0.319E-02
14	0.161E-01	-0.681E-02	-0.512E-03
15	0.346E-01	-0.126E-02	0.141E-02
16	0.385E-03	-0.330E-04	-0.268E-04
17	0.759E-03	-0.980E-04	-0.681E-04
18	0.553E-03	-0.142E-03	-0.139E-04
19	-0.379E-04	-0.951E-05	-0.266E-04
20	0.257E-01	0.343E-03	-0.185E-02
21	0.256E-01	-0.685E-02	-0.223E-02
22	0.331E-01	-0.125E-01	-0.628E-03
23	0.188E-02	-0.142E-01	-0.495E-03
24	0.131E-02	-0.159E-01	-0.367E-03
25	0.615E-03	-0.176E-01	-0.299E-03
26	0.333E-01	0.358E-03	-0.193E-02
27	0.333E-01	-0.686E-02	-0.181E-02
28	0.361E-01	-0.127E-01	-0.111E-02
29	0.419E-02	-0.156E-01	-0.825E-03
30	0.302E-02	-0.185E-01	-0.608E-03
31	0.199E-02	-0.212E-01	-0.490E-03
32	0.404E-01	0.358E-03	-0.208E-02
33	0.404E-01	-0.988E-02	-0.201E-02
34	0.404E-01	-0.165E-01	-0.133E-02
35	0.738E-02	-0.200E-01	-0.996E-03
36	0.537E-02	-0.235E-01	-0.738E-03
37	0.389E-02	-0.268E-01	-0.594E-03

(3)

KEADAAN 4 (DENGAN DINDING GESER)

JOINT DISPLACEMENTS

JNT.	X	Y	ROT.
1	0.000E 00	0.000E 00	0.000E 00
2	0.000E 00	0.000E 00	0.000E 00
3	0.000E 00	0.000E 00	0.000E 00
4	0.000E 00	0.000E 00	0.000E 00
5	0.000E 00	0.000E 00	0.000E 00
6	0.498E-03	0.530E-04	-0.119E-03
7	0.448E-03	0.913E-05	-0.166E-03
8	0.438E-03	0.136E-04	-0.163E-03
9	0.419E-03	-0.202E-04	-0.158E-03
10	0.897E-03	-0.470E-04	-0.183E-03
11	0.164E-02	0.101E-03	-0.195E-03
12	0.156E-02	0.175E-04	-0.268E-03
13	0.153E-02	0.260E-04	-0.264E-03
14	0.150E-02	-0.390E-04	-0.264E-03
15	0.220E-02	-0.888E-04	-0.164E-03
16	0.284E-02	0.135E-03	-0.238E-03
17	0.273E-02	0.234E-04	-0.313E-03
18	0.269E-02	0.344E-04	-0.309E-03
19	0.266E-02	-0.519E-04	-0.312E-03
20	0.304E-02	-0.116E-03	-0.144E-03
21	0.416E-02	0.162E-03	-0.251E-03
22	0.404E-02	0.281E-04	-0.335E-03
23	0.399E-02	0.410E-04	-0.333E-03
24	0.396E-02	-0.624E-04	-0.332E-03
25	0.396E-02	-0.139E-03	-0.202E-03
26	0.552E-02	0.182E-03	-0.261E-03
27	0.540E-02	0.326E-04	-0.343E-03
28	0.534E-02	0.470E-04	-0.335E-03
29	0.530E-02	-0.720E-04	-0.334E-03
30	0.531E-02	-0.155E-03	-0.280E-03
31	0.673E-02	0.193E-03	-0.277E-03
32	0.661E-02	0.352E-04	-0.345E-03
33	0.650E-02	0.503E-04	-0.325E-03
34	0.647E-02	-0.779E-04	-0.331E-03
35	0.645E-02	-0.163E-03	-0.138E-03
36	0.787E-02	0.198E-03	-0.175E-03
37	0.782E-02	0.366E-04	-0.345E-03
38	0.763E-02	0.519E-04	-0.316E-03
39	0.762E-02	-0.810E-04	-0.328E-03
40	0.660E-02	-0.165E-03	0.555E-04



KONDISI I (TANPA DINDING GESER)

JOINT DISPLACEMENTS

JNT.	X	Y	ROT.
1	0.000E 00	0.000E 00	0.000E 00
2	0.000E 00	0.000E 00	0.000E 00
3	0.000E 00	0.000E 00	0.000E 00
4	0.000E 00	0.000E 00	0.000E 00
5	0.000E 00	0.000E 00	0.000E 00
6	0.000E 00	0.000E 00	0.000E 00
7	0.161E-02	0.544E-04	-0.322E-03
8	0.161E-02	0.202E-04	-0.210E-03
9	0.160E-02	0.248E-04	-0.189E-03
10	0.160E-02	-0.248E-04	-0.189E-03
11	0.160E-02	-0.202E-04	-0.209E-03
12	0.159E-02	-0.543E-04	-0.319E-03
13	0.372E-02	0.941E-04	-0.278E-03
14	0.370E-02	0.373E-04	-0.200E-03
15	0.370E-02	0.401E-04	-0.184E-03
16	0.369E-02	-0.402E-04	-0.184E-03
17	0.369E-02	-0.373E-04	-0.199E-03
18	0.368E-02	-0.939E-04	-0.276E-03
19	0.495E-02	0.115E-03	-0.216E-03
20	0.493E-02	0.476E-04	-0.160E-03
21	0.492E-02	0.461E-04	-0.150E-03
22	0.491E-02	-0.462E-04	-0.150E-03
23	0.491E-02	-0.476E-04	-0.160E-03
24	0.490E-02	-0.115E-03	-0.214E-03
25	0.594E-02	0.128E-03	-0.176E-03
26	0.592E-02	0.548E-04	-0.129E-03
27	0.591E-02	0.480E-04	-0.123E-03
28	0.590E-02	-0.480E-04	-0.123E-03
29	0.590E-02	-0.548E-04	-0.129E-03
30	0.589E-02	-0.128E-03	-0.175E-03
31	0.671E-02	0.135E-03	-0.124E-03
32	0.669E-02	0.594E-04	-0.929E-04
33	0.667E-02	0.472E-04	-0.899E-04
34	0.666E-02	-0.472E-04	-0.897E-04
35	0.666E-02	-0.593E-04	-0.921E-04
36	0.665E-02	-0.135E-03	-0.122E-03
37	0.712E-02	0.138E-03	-0.673E-04
38	0.709E-02	0.617E-04	-0.545E-04
39	0.707E-02	0.456E-04	-0.552E-04
40	0.706E-02	-0.454E-04	-0.554E-04
41	0.706E-02	-0.615E-04	-0.554E-04
42	0.705E-02	-0.138E-03	-0.697E-04
43	0.731E-02	0.138E-03	-0.333E-04
44	0.729E-02	0.826E-04	-0.240E-04
45	0.728E-02	0.444E-04	-0.313E-04
46	0.727E-02	-0.442E-04	-0.316E-04
47	0.727E-02	-0.623E-04	-0.253E-04
48	0.726E-02	-0.139E-03	-0.390E-04



KONDISI 2 (DENGAN DINDING GESER)

JOINT DISPLACEMENTS

JNT.	X	Y	ROT.
1	0.000E 00	0.000E 00	0.000E 00
2	0.000E 00	0.000E 00	0.000E 00
3	0.000E 00	0.000E 00	0.000E 00
4	0.000E 00	0.000E 00	0.000E 00
5	0.000E 00	0.000E 00	0.000E 00
6	0.000E 00	0.000E 00	0.000E 00
7	0.109E-03	0.172E-04	-0.175E-04
8	0.926E-04	0.748E-04	-0.148E-04
9	0.912E-04	0.164E-04	-0.140E-04
10	0.909E-04	-0.247E-04	-0.137E-04
11	0.921E-04	-0.803E-04	-0.140E-04
12	0.922E-04	-0.175E-04	-0.145E-04
13	0.260E-03	0.328E-04	-0.186E-04
14	0.230E-03	0.125E-03	-0.235E-04
15	0.229E-03	0.313E-04	-0.233E-04
16	0.229E-03	-0.383E-04	-0.233E-04
17	0.229E-03	-0.132E-03	-0.234E-04
18	0.231E-03	-0.336E-04	-0.166E-04
19	0.399E-03	0.435E-04	-0.219E-04
20	0.363E-03	0.152E-03	-0.283E-04
21	0.363E-03	0.391E-04	-0.283E-04
22	0.362E-03	-0.457E-04	-0.283E-04
23	0.363E-03	-0.159E-03	-0.284E-04
24	0.363E-03	-0.446E-04	-0.205E-04
25	0.547E-03	0.521E-04	-0.218E-04
26	0.506E-03	0.167E-03	-0.310E-04
27	0.505E-03	0.431E-04	-0.310E-04
28	0.505E-03	-0.499E-04	-0.310E-04
29	0.508E-03	-0.174E-03	-0.310E-04
30	0.508E-03	-0.534E-04	-0.210E-04
31	0.695E-03	0.584E-04	-0.222E-04
32	0.655E-03	0.173E-03	-0.321E-04
33	0.654E-03	0.448E-04	-0.322E-04
34	0.654E-03	-0.517E-04	-0.321E-04
35	0.654E-03	-0.180E-03	-0.321E-04
36	0.654E-03	-0.600E-04	-0.212E-04
37	0.821E-03	0.619E-04	-0.212E-04
38	0.779E-03	0.174E-03	-0.321E-04
39	0.778E-03	0.450E-04	-0.322E-04
40	0.778E-03	-0.517E-04	-0.322E-04
41	0.778E-03	-0.180E-03	-0.321E-04
42	0.779E-03	-0.636E-04	-0.231E-04
43	0.914E-03	0.634E-04	-0.133E-05
44	0.894E-03	0.173E-03	-0.319E-04
45	0.894E-03	0.449E-04	-0.321E-04
46	0.893E-03	-0.514E-04	-0.321E-04
47	0.893E-03	-0.179E-03	-0.319E-04
48	0.889E-03	-0.653E-04	-0.496E-05

SUPPORT REACTIONS

JNT.	X	Y	M
------	---	---	---



KONDISI 3 (DENGAN DINDING GESER)

JOINT DISPLACEMENTS

JNT.	X	Y	ROT.
1	0.000E 00	0.000E 00	0.000E 00
2	0.000E 00	0.000E 00	0.000E 00
3	0.000E 00	0.000E 00	0.000E 00
4	0.000E 00	0.000E 00	0.000E 00
5	0.000E 00	0.000E 00	0.000E 00
6	0.000E 00	0.000E 00	0.000E 00
7	0.987E-04	0.244E-04	-0.109E-04
8	0.822E-04	0.728E-04	-0.146E-04
9	0.809E-04	0.151E-04	-0.139E-04
10	0.807E-04	-0.254E-04	-0.134E-04
11	0.820E-04	-0.800E-04	-0.137E-04
12	0.821E-04	-0.112E-04	-0.896E-05
13	0.244E-03	0.477E-04	-0.351E-04
14	0.210E-03	0.124E-03	-0.244E-04
15	0.209E-03	0.273E-04	-0.236E-04
16	0.209E-03	-0.418E-04	-0.224E-04
17	0.210E-03	-0.129E-03	-0.216E-04
18	0.212E-03	-0.212E-04	-0.160E-04
19	0.342E-03	0.645E-04	0.108E-03
20	0.344E-03	0.159E-03	-0.315E-04
21	0.343E-03	0.336E-04	-0.317E-04
22	0.343E-03	-0.625E-04	-0.325E-04
23	0.344E-03	-0.194E-03	-0.333E-04
24	0.339E-03	-0.275E-04	0.542E-05
25	0.602E-03	0.820E-04	-0.773E-03
26	0.507E-03	0.175E-03	-0.367E-04
27	0.505E-03	0.337E-04	-0.344E-04
28	0.504E-03	-0.680E-04	-0.336E-04
29	0.483E-03	-0.201E-03	-0.332E-04
30	0.484E-03	-0.319E-04	-0.108E-03
31	0.120E-01	0.820E-04	-0.446E-02
32	0.120E-01	-0.221E-01	-0.443E-02
33	0.520E-02	-0.356E-01	-0.231E-02
34	0.370E-02	-0.414E-01	-0.156E-02
35	0.275E-02	-0.468E-01	-0.110E-02
36	0.248E-02	-0.517E-01	-0.893E-03
37	0.298E-01	0.820E-04	-0.530E-02
38	0.297E-01	-0.259E-01	-0.517E-02
39	0.150E-01	-0.429E-01	-0.329E-02
40	0.106E-01	-0.514E-01	-0.241E-02
41	0.778E-02	-0.598E-01	-0.177E-02
42	0.655E-02	-0.678E-01	-0.142E-02
43	0.483E-01	0.810E-04	-0.528E-02
44	0.483E-01	-0.259E-01	-0.508E-02
45	0.271E-01	-0.433E-01	-0.361E-02
46	0.197E-01	-0.529E-01	-0.279E-02
47	0.145E-01	-0.628E-01	-0.210E-02
48	0.120E-01	-0.723E-01	-0.171E-02



KONDISI 4 (DENGAN DINDING GESER)

JOINT DISPLACEMENTS

JNT.	X	Y	ROT.
1	0.000E 00	0.000E 00	0.000E 00
2	0.000E 00	0.000E 00	0.000E 00
3	0.000E 00	0.000E 00	0.000E 00
4	0.000E 00	0.000E 00	0.000E 00
5	0.000E 00	0.000E 00	0.000E 00
6	0.000E 00	0.000E 00	0.000E 00
7	0.156E-03	0.851E-05	-0.321E-04
8	0.116E-03	0.122E-03	-0.239E-04
9	0.114E-03	0.284E-04	-0.229E-04
10	0.113E-03	-0.391E-04	-0.225E-04
11	0.115E-03	-0.130E-03	-0.229E-04
12	0.115E-03	-0.867E-05	-0.243E-04
13	0.384E-03	0.163E-04	-0.362E-04
14	0.315E-03	0.209E-03	-0.392E-04
15	0.314E-03	0.534E-04	-0.388E-04
16	0.313E-03	-0.628E-04	-0.388E-04
17	0.315E-03	-0.219E-03	-0.392E-04
18	0.315E-03	-0.167E-04	-0.315E-04
19	0.606E-03	0.217E-04	-0.437E-04
20	0.521E-03	0.262E-03	-0.486E-04
21	0.520E-03	0.683E-04	-0.485E-04
22	0.520E-03	-0.771E-04	-0.486E-04
23	0.520E-03	-0.272E-03	-0.489E-04
24	0.521E-03	-0.223E-04	-0.417E-04
25	0.849E-03	0.262E-04	-0.438E-04
26	0.750E-03	0.295E-03	-0.547E-04
27	0.749E-03	0.764E-04	-0.546E-04
28	0.748E-03	-0.874E-04	-0.547E-04
29	0.764E-03	-0.306E-03	-0.548E-04
30	0.764E-03	-0.269E-04	-0.429E-04
31	0.109E-02	0.295E-04	-0.466E-04
32	0.100E-02	0.312E-03	-0.581E-04
33	0.100E-02	0.804E-04	-0.580E-04
34	0.100E-02	-0.934E-04	-0.579E-04
35	0.100E-02	-0.325E-03	-0.579E-04
36	0.100E-02	-0.303E-04	-0.426E-04
37	0.131E-02	0.314E-04	-0.448E-04
38	0.121E-02	0.318E-03	-0.589E-04
39	0.121E-02	0.821E-04	-0.589E-04
40	0.121E-02	-0.947E-04	-0.589E-04
41	0.121E-02	-0.330E-03	-0.589E-04
42	0.121E-02	-0.324E-04	-0.499E-04
43	0.148E-02	0.323E-04	-0.110E-04
44	0.142E-02	0.318E-03	-0.590E-04
45	0.142E-02	0.825E-04	-0.591E-04
46	0.142E-02	-0.948E-04	-0.591E-04
47	0.142E-02	-0.331E-03	-0.591E-04
48	0.142E-02	-0.333E-04	-0.225E-04



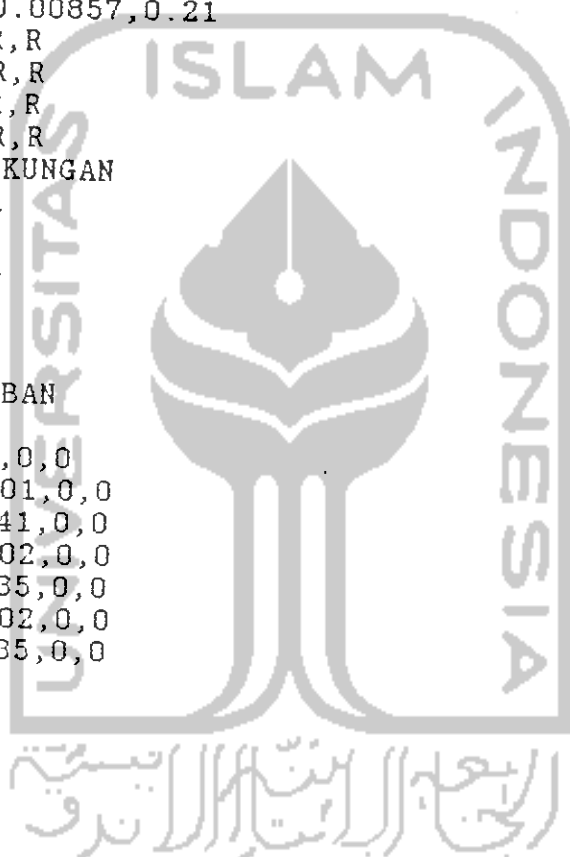
KEADAAN 1 (TANPA DINDING GESER)  
77,48,6,18,21000000  
DATA KOORDINAT JOINT  
0,0  
5,0  
9,0  
12,0  
16,0  
21,0  
0,5  
5,5  
9,5  
12,5  
16,5  
21,5  
0,10  
5,10  
9,10  
12,10  
16,10  
21,10  
0,14  
5,14  
9,14  
12,14  
16,14  
21,14  
0,18  
5,18  
9,18  
12,18  
16,18  
21,18  
0,22  
5,22  
9,22  
12,22  
16,22  
21,22  
0,25.5  
5,25.5  
9,25.5  
12,25.5  
16,25.5  
21,25.5  
0,29  
5,29  
9,29  
12,29  
16,29  
21,29  
DATA BATANG  
1,7,0.0108,0.36  
2,8,R,R  
3,9,R,R



4,10,R,R  
5,11,R,R  
6,12,R,R  
7,8,0.00857,0.21  
8,9,R,R  
9,10,R,R  
10,11,R,R  
11,12,R,R  
7,13,0.0108,0.36  
8,14,R,R  
9,15,R,R  
10,16,R,R  
11,17,R,R  
12,18,R,R  
13,14,0.00857,0.21  
14,15,R,R  
15,16,R,R  
16,17,R,R  
17,18,R,R  
13,19,0.0108,0.36  
14,20,R,R  
15,21,R,R  
16,22,R,R  
17,23,R,R  
18,24,R,R  
19,20,0.00857,0.21  
20,21,R,R  
21,22,R,R  
22,23,R,R  
23,24,R,R  
19,25,0.0108,0.36  
20,26,R,R  
21,27,R,R  
22,28,R,R  
23,29,R,R  
24,30,R,R  
25,26,0.00857,0.21  
26,27,R,R  
27,28,R,R  
28,29,R,R  
29,30,R,R  
25,31,0.0108,0.36  
26,32,R,R  
27,33,R,R  
28,34,R,R  
29,35,R,R  
30,36,R,R  
31,32,0.00857,0.21  
32,33,R,R  
33,34,R,R  
34,35,R,R  
35,36,R,R  
31,37,0.0108,0.36  
32,38,R,R  
33,39,R,R



34,40,R,R  
35,41,R,R  
36,42,R,R  
37,38,0.00857,0.21  
38,39,R,R  
39,40,R,R  
40,41,R,R  
41,42,R,R  
37,43,0.0108,0.36  
38,44,R,R  
39,45,R,R  
40,46,R,R  
41,47,R,R  
42,48,R,R  
43,44,0.00857,0.21  
44,45,R,R  
45,46,R,R  
46,47,R,R  
47,48,R,R  
DATA DUKUNGAN  
1,1,1,1  
2,1,1,1  
3,1,1,1  
4,1,1,1  
5,1,1,1  
6,1,1,1  
DATA BEBAN  
7  
7,7.934,0,0  
13,13.601,0,0  
19,19.041,0,0  
25,20.402,0,0  
31,24.935,0,0  
37,28.902,0,0  
43,16.435,0,0  
0



KEADAAN 2 (DENGAN DINDING GESER)

63,40,5,15,21000000

DATA KOORDINAT JOINT

0,0

5,0

9,0

12,0

17,0

0,5

5,5

9,5

12,5

17,5

0,10

5,10

9,10

12,10

17,10

0,14

5,14

9,14

12,14

17,14

0,18

5,18

9,18

12,18

17,18

0,22

5,22

9,22

12,22

17,22

0,25.5

5,25.5

9,25.5

12,25.5

17,25.5

0,29

5,29

9,29

12,29

17,29

DATA BATANG

1,6,0.013,0.30

2,7,2.703,0.96

3,8,1.1196,0.70

4,9,2.703,0.96

5,10,0.018,0.30

6,7,0.01715,0.175

7,8,R,R

8,9,R,R

9,10,R,R

6,11,0.018,0.30

7,12,2.703,0.96



8,13,1.1196,0.70  
9,14,2.703,0.96  
10,15,0.018,0.30  
11,12,0.01715,0.175  
12,13,R,R  
13,14,R,R  
14,15,R,R  
11,16,0.018,0.30  
12,17,2.703,0.96  
13,18,1.1196,0.70  
14,19,2.703,0.96  
15,20,0.018,0.30  
16,17,0.01715,0.175  
17,18,R,R  
18,19,R,R  
19,20,R,R  
16,21,0.0108,0.30  
17,22,2.703,0.96  
18,23,1.1196,0.70  
19,24,2.703,0.96  
20,25,0.018,0.30  
21,22,0.01715,0.175  
22,23,R,R  
23,24,R,R  
24,25,R,R  
21,26,0.018,0.30  
22,27,2.827,0.8375  
23,28,1.1772,0.6  
24,29,2.827,0.8375  
25,30,0.018,0.30  
26,27,0.01715,0.175  
27,28,R,R  
28,29,R,R  
29,30,R,R  
26,31,0.018,0.30  
27,32,2.827,0.8375  
28,33,1.1772,0.6  
29,34,2.827,0.8375  
30,35,0.018,0.30  
31,32,0.01715,0.175  
32,33,R,R  
33,34,R,R  
34,35,R,R  
31,36,0.018,0.30  
32,37,2.827,0.8375  
33,38,1.1772,0.6  
34,39,2.827,0.8375  
35,40,0.018,0.30  
36,37,0.01715,0.175  
37,38,R,R  
38,39,R,R  
39,40,R,R  
DATA DUKUNGAN  
1,1,1,1  
2,1,1,1

3,1,1,1  
4,1,1,1  
5,1,1,1  
DATA BEBAN  
7  
6,14.814,0,0  
11,24.769,0,0  
16,31.176,0,0  
21,36.517,0,0  
26,34.979,0,0  
31,36.814,0,0  
36,20.934,0,0  
0



KEADAAN 3 (DENGAN DINDING GESER)

57,37,3,9,21000000

DATA KOORDINAT JOINT

0,0

5,0

10,0

0,5

5,5

10,5

0,10

5,10

10,10

0,14

5,14

10,14

0,18

5,18

9,18

10.5,18

12,18

16,18

21,18

0,22

5,22

9,22

12,22

16,22

21,22

0,25.5

5,25.5

9,25.5

12,25.5

16,25.5

21,25.5

0,29

5,29

9,29

12,29

16,29

21,29

DATA BATANG

1,4,0.0052,0.25

2,5,22.183,2.2

3,6,0.0052,0.25

4,5,0.0054,0.10

5,6,R,R

4,7,0.0052,0.25

5,8,22.183,2.2

6,9,0.0052,0.25

7,8,0.0054,0.18

8,9,R,R

7,10,0.0052,0.25

8,11,22.183,2.2

9,12,0.0052,0.25

10,11,0.0054,0.18



11,12,R,R  
10,13,0.0052,0.25  
11,16,22.183,2.2  
12,19,0.0052,0.25  
13,14,0.0054,0.18  
14,15,R,R  
15,16,R,R  
16,17,R,R  
17,18,R,R  
18,19,R,R  
13,20,0.0052,0.25  
14,21,R,R  
15,22,R,R  
17,23,R,R  
18,24,R,R  
19,25,R,R  
20,21,0.0054,0.18  
21,22,R,R  
22,23,R,R  
23,24,R,R  
24,25,R,R  
20,26,0.0052,0.25  
21,27,R,R  
22,28,R,R  
23,29,R,R  
24,30,R,R  
25,31,R,R  
26,27,0.0054,0.18  
27,28,R,R  
28,29,R,R  
29,30,R,R  
30,31,R,R  
26,32,0.0052,0.25  
27,33,R,R  
28,34,R,R  
29,35,R,R  
30,36,R,R  
31,37,R,R  
32,33,0.0054,0.18  
33,34,R,R  
34,35,R,R  
35,36,R,R  
36,37,R,R  
DATA DUKUNGAN  
1,1,1,1  
2,1,1,1  
3,1,1,1  
DATA BEBAN  
7  
4,12.903,0,0  
7,20.931,0,0  
10,25.758,0,0  
13,29.505,0,0  
20,26.284,0,0  
26,30.465,0,0



KEADAAN 4 (DENGAN DINDING GESER)

63,40,5,15,21000000

DATA KOORDINAT JOINT

0,0

5,0

9,0

12,0

17,0

0,5

5,5

9,5

12,5

17,5

0,10

5,10

9,10

12,10

17,10

0,14

5,14

9,14

12,14

17,14

0,18

5,18

9,18

12,18

17,18

0,22

5,22

9,22

12,22

17,22

0,25.5

5,25.5

9,25.5

12,25.5

17,25.5

0,29

5,29

9,29

12,29

17,29

DATA BATANG

1,6,0.00213,0.133

2,7,1.4783,0.766

3,8,0.607,0.566

4,9,1.4783,0.766

5,10,0.00213,0.133

6,7,0.00178,0.0729

7,8,R,R

8,9,R,R

9,10,R,R

6,11,0.00213,0.133

7,12,1.4783,0.766



8,13,0.607,0.566  
9,14,1.4783,0.766  
10,15,0.00213,0.133  
11,12,0.00178,0.0729  
12,13,R,R  
13,14,R,R  
14,15,R,R  
11,16,0.00213,0.133  
12,17,1.4783,0.766  
13,18,0.607,0.566  
14,19,1.4783,0.766  
15,20,0.00213,0.133  
16,17,0.00178,0.0729  
17,18,R,R  
18,19,R,R  
19,20,R,R  
16,21,0.00213,0.133  
17,22,1.4783,0.766  
18,23,0.607,0.566  
19,24,1.4783,0.766  
20,25,0.00213,0.133  
21,22,0.00178,0.0729  
22,23,R,R  
23,24,R,R  
24,25,R,R  
21,26,0.00213,0.133  
22,27,1.642,0.625  
23,28,0.6803,0.458  
24,29,1.642,0.625  
25,30,0.00213,0.133  
26,27,0.00178,0.0729  
27,28,R,R  
28,29,R,R  
29,30,R,R  
26,31,0.00213,0.133  
27,32,1.642,0.625  
28,33,0.6803,0.458  
29,34,1.642,0.625  
30,35,0.00213,0.133  
31,32,0.00178,0.0729  
32,33,R,R  
33,34,R,R  
34,35,R,R  
31,36,0.00213,0.133  
32,37,1.642,0.625  
33,38,0.6803,0.458  
34,39,1.642,0.625  
35,40,0.00213,0.133  
36,37,0.00178,0.0729  
37,38,R,R  
38,39,R,R  
39,40,R,R  
DATA DUKUNGAN  
1,1,1,1  
2,1,1,1



4,1,1,1  
5,1,1,1  
DATA BEBAN  
7  
6,14.814,0,0  
11,24.769,0,0  
16,31.176,0,0  
21,36.517,0,0  
26,34.979,0,0  
31,36.814,0,0  
36,20.934,0,0  
0



KONDISI I (TANPA DINDING GESEN)

77,48,6,18,21000000

DATA KOORDINAT JOINT

0,0

5,0

9,0

12,0

16,0

21,0

0,5

5,5

9,5

12,5

16,5

21,5

0,10

5,10

9,10

12,10

16,10

21,10

0,14

5,14

9,14

12,14

16,14

21,14

0,18

5,18

9,18

12,18

16,18

21,18

0,22

5,22

9,22

12,22

16,22

21,22

0,25.5

5,25.5

9,25.5

12,25.5

16,25.5

21,25.5

0,29

5,29

9,29

12,29

16,29

21,29

DATA BATANG

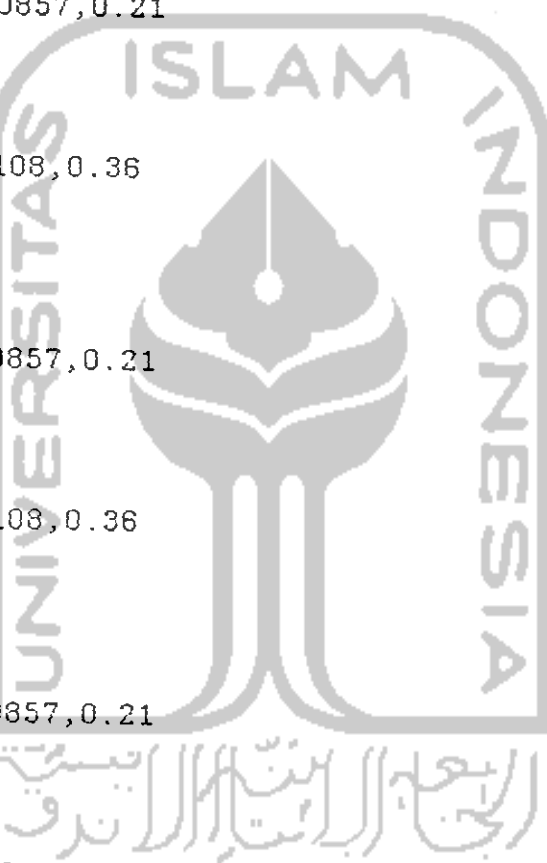
1,7,0,0108,0,36

2,8,R,R

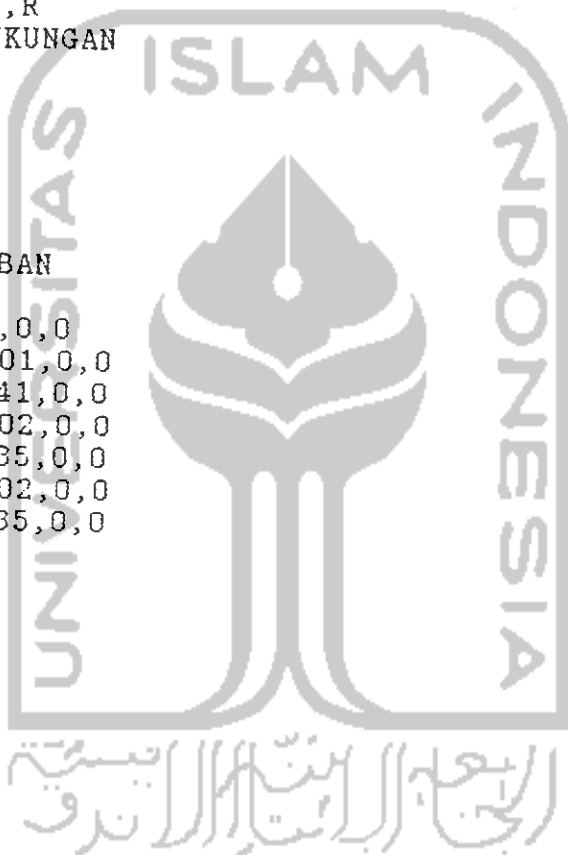
3,9,R,R



4,10,R,R  
5,11,R,R  
6,12,R,R  
7,8,0.00857,0.21  
8,9,R,R  
9,10,R,R  
10,11,R,R  
11,12,R,R  
7,13,0.0108,0.36  
8,14,R,R  
9,15,R,R  
10,16,R,R  
11,17,R,R  
12,18,R,R  
13,14,0.00857,0.21  
14,15,R,R  
15,16,R,R  
16,17,R,R  
17,18,R,R  
13,19,0.0108,0.36  
14,20,R,R  
15,21,R,R  
16,22,R,R  
17,23,R,R  
18,24,R,R  
19,20,0.00857,0.21  
20,21,R,R  
21,22,R,R  
22,23,R,R  
23,24,R,R  
19,25,0.0108,0.36  
20,26,R,R  
21,27,R,R  
22,28,R,R  
23,29,R,R  
24,30,R,R  
25,26,0.00857,0.21  
26,27,R,R  
27,28,R,R  
28,29,R,R  
29,30,R,R  
25,31,0.0108,0.36  
26,32,R,R  
27,33,R,R  
28,34,R,R  
29,35,R,R  
30,36,R,R  
31,32,0.00857,0.21  
32,33,R,R  
33,34,R,R  
34,35,R,R  
35,36,R,R  
31,37,0.0108,0.36  
32,38,R,R  
33,39,R,R



35,41,R,R  
36,42,R,R  
37,38,0.00857,0.21  
38,39,R,R  
39,40,R,R  
40,41,R,R  
41,42,R,R  
37,43,0.0108,0.36  
38,44,R,R  
39,45,R,R  
40,46,R,R  
41,47,R,R  
42,48,R,R  
43,44,0.00857,0.21  
44,45,R,R  
45,46,R,R  
46,47,R,R  
47,48,R,R  
DATA DUKUNGAN  
1,1,1,1  
2,1,1,1  
3,1,1,1  
4,1,1,1  
5,1,1,1  
6,1,1,1  
DATA BEBAN  
7  
7,7.934,0,0  
13,13.601,0,0  
19,19.041,0,0  
25,20.402,0,0  
31,24.935,0,0  
37,28.902,0,0  
43,16.435,0,0  
0



KONDISI 2 (DENGAN DINDING GESER)

119,48,6,18,21000000

DATA KOORDINAT JOINT

0,0

5,0

9,0

12,0

16,0

21,0

0,5

5,5

9,5

12,5

16,5

21,5

0,10

5,10

9,10

12,10

16,10

21,10

0,14

5,14

9,14

12,14

16,14

21,14

0,18

5,18

9,18

12,18

16,18

21,18

0,22

5,22

9,22

12,22

16,22

21,22

0,25,5

5,25,5

9,25,5

12,25,5

16,25,5

21,25,5

0,29

5,29

9,29

12,29

16,29

21,29

DATA BATANG

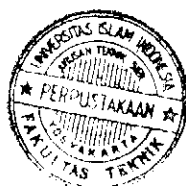
1,7,0,0108,0,36

2,8,0,008,0,493

2,9,0,021,0,564



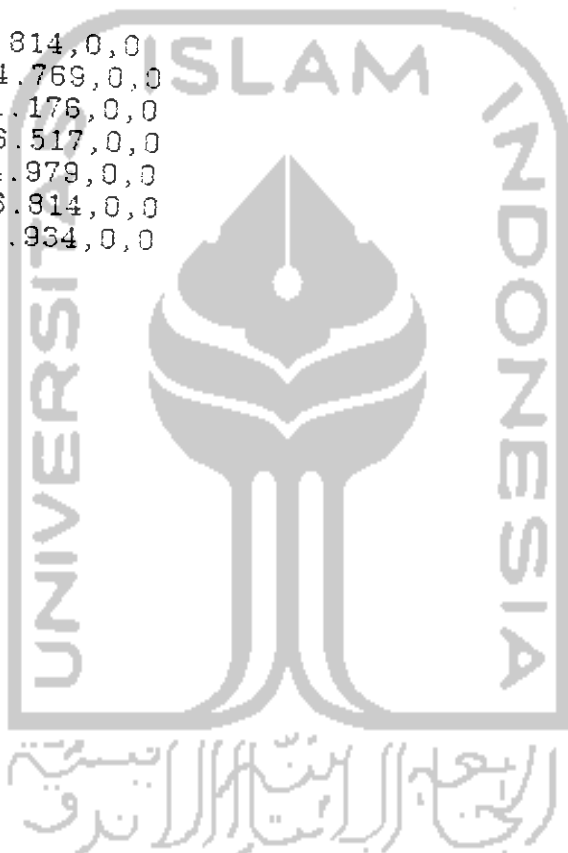
3,8,R,R  
3,9,0.008,0.493  
3,10,0.021,0.564  
4,9,R,R  
4,10,0.008,0.493  
4,11,0.021,0.564  
5,10,R,R  
5,11,0.008,0.493  
6,12,0.0108,0.36  
7,8,0.008575,0.21  
8,9,10+E2,10+E6  
9,10,R,R  
10,11,R,R  
11,12,0.008575,0.21  
7,13,0.0108,0.36  
8,14,0.008,0.493  
8,15,0.021,0.564  
9,14,R,R  
9,15,0.008,0.493  
9,16,0.021,0.564  
10,15,R,R  
10,16,0.008,0.493  
10,17,0.021,0.564  
11,16,R,R  
11,17,0.008,0.493  
12,18,0.0108,0.36  
13,14,0.008575,0.21  
14,15,10+E2,10+E6  
15,16,R,R  
16,17,R,R  
17,18,0.008575,0.21  
13,19,0.0108,0.36  
14,20,0.008,0.493  
14,21,0.021,0.485  
15,20,R,R  
15,21,0.008,0.493  
15,22,0.021,0.446  
16,21,R,R  
16,22,0.008,0.493  
16,23,0.021,0.485  
17,22,R,R  
17,23,0.008,0.493  
18,24,0.0108,0.36  
19,20,0.008575,0.21  
20,21,10+E2,10+E6  
21,22,R,R  
22,23,R,R  
23,24,0.008575,0.21  
19,25,0.0108,0.36  
20,26,0.008,0.493  
20,27,0.021,0.485  
21,26,R,R  
21,27,0.008,0.493  
21,28,0.021,0.446  
22,27,R,R



23,28,R,R  
23,29,0.008,0.4931  
24,30,0.0108,0.36  
25,26,0.0085,0.21  
26,27,10+E2,10+E6  
27,28,R,R  
28,29,R,R  
29,30,0.008575,0.21  
25,31,0.0108,0.36  
26,32,0.008,0.46  
26,33,0.021,0.364  
27,32,R,R  
27,33,0.008,0.46  
27,34,0.021,0.3348  
28,33,R,R  
28,34,0.008,0.46  
28,35,0.021,0.3637  
29,34,R,R  
29,35,0.008,0.46  
30,36,0.0108,0.36  
31,32,0.008575,0.21  
32,33,10+E2,10+E6  
33,34,R,R  
34,35,R,R  
35,36,0.008575,0.21  
31,37,0.0108,0.36  
32,38,0.008,0.46  
32,39,0.021,0.3452  
33,38,R,R  
33,39,0.008,0.46  
33,40,0.021,0.3005  
34,39,R,R  
34,40,0.008,0.46  
34,41,0.021,0.3452  
35,40,R,R  
35,41,0.008,0.46  
36,42,0.0108,0.36  
37,38,0.008575,0.21  
38,39,10+E2,10+E6  
39,40,R,R  
40,41,R,R  
41,42,0.008575,0.21  
37,43,0.0108,0.36  
38,44,0.008,0.46  
38,45,0.021,0.3452  
39,44,R,R  
39,45,0.008,0.46  
39,46,0.021,0.3005  
40,45,R,R  
40,46,0.008,0.46  
40,47,0.021,0.3452  
41,46,R,R  
41,47,0.008,0.46



42,48,0.0108,0.36  
43,44,0.008575,0.21  
44,45,10+E2,10+E6  
45,46,R,R  
46,47,R,R  
47,48,0.008575,0.21  
DATA DUKUNGAN  
1,1,1,1  
2,1,1,1  
3,1,1,1  
4,1,1,1  
5,1,1,1  
6,1,1,1  
DATA BEBAN  
7  
7,14.814,0,0  
13,24.769,0,0  
19,31.176,0,0  
25,36.517,0,0  
31,34.979,0,0  
37,36.814,0,0  
43,20.934,0,0  
0



KONDISI 3 (DENGAN DINDING GESER)  
101,48,6,18,21000000

DATA KOORDINAT JOINT

0,0

5,0

9,0

12,0

16,0

21,0

0,5

5,5

9,5

12,5

16,5

21,5

0,10

5,10

9,10

12,10

16,10

21,10

0,14

5,14

9,14

12,14

16,14

21,14

0,18

5,18

9,18

12,18

16,18

21,18

0,22

5,22

9,22

12,22

16,22

21,22

0,25,5

5,25,5

9,25,5

12,25,5

16,25,5

21,25,5

0,29

5,29

9,29

12,29

16,29

21,29

DATA BATANG

1,7,0,00521,0,25

2,8,0,008,0,3833

2,9,0,021,0,5638



3,9,0.008,0.3833  
3,10,0.021,0.5675  
4,9,R,R  
4,10,0.008,0.3833  
4,11,0.021,0.5638  
5,10,R,R  
5,11,0.008,0.3833  
6,12,0.00521,0.25  
7,8,0.0054,0.18  
8,9,10+E2,10+E6  
9,10,R,R  
10,11,R,R  
11,12,0.0054,0.18  
7,13,0.00521,0.25  
8,14,0.008,0.3833  
8,15,0.021,0.5638  
9,14,R,R  
9,15,0.008,0.3833  
9,16,0.021,0.5675  
10,15,R,R  
10,16,0.008,0.3833  
10,17,0.021,0.5638  
11,16,R,R  
11,17,0.008,0.3833  
12,13,0.00521,0.25  
13,14,0.0054,0.18  
14,15,10+E2,10+E6  
15,16,R,R  
16,17,R,R  
17,18,0.0054,0.18  
13,19,0.00521,0.25  
14,20,0.008,0.3833  
14,21,0.021,0.485  
15,20,R,R  
15,21,0.008,0.3833  
15,22,0.021,0.4464  
16,21,R,R  
16,22,0.008,0.3833  
16,23,0.021,0.485  
17,22,R,R  
17,23,R,R  
18,24,0.00521,0.25  
19,20,0.0054,0.18  
20,21,10+E2,10+E6  
21,22,R,R  
22,23,R,R  
23,24,0.0054,0.18  
19,25,0.00521,0.25  
20,26,0.008,0.3833  
20,27,0.021,0.485  
21,26,R,R  
21,27,0.008,0.3833  
21,28,0.021,0.4464  
22,27,R,R



22,28,0.008,0.3833  
22,29,0.021,0.485  
23,28,R,R  
23,29,0.008,0.3833  
24,30,0.00521,0.25  
25,26,0.0054,0.18  
26,27,10+E2,10+E6  
27,28,R,R  
28,29,R,R  
29,30,0.0054,0.18  
25,31,0.00521,0.25  
26,32,R,R  
27,33,R,R  
28,34,R,R  
29,35,R,R  
30,36,R,R  
31,32,0.0054,0.18  
32,33,R,R  
33,34,R,R  
34,35,R,R  
35,36,R,R  
31,37,0.00521,0.25  
32,38,R,R  
33,39,R,R  
34,40,R,R  
35,41,R,R  
36,42,R,R  
37,38,0.0054,0.18  
38,39,R,R  
39,40,R,R  
40,41,R,R  
41,42,R,R  
37,43,0.00521,0.25  
38,44,R,R  
39,45,R,R  
40,46,R,R  
41,47,R,R  
42,48,R,R  
43,44,0.0054,0.18  
44,45,R,R  
45,46,R,R  
46,47,R,R  
47,48,R,R  
DATA DUKUNGAN  
1,1,1,1  
2,1,1,1  
3,1,1,1  
4,1,1,1  
5,1,1,1  
6,1,1,1  
DATA BEBAN  
7  
7,12.903,0,0  
13,20.931,0,0  
19,25.758,0,0



31,26.284,0,0  
37,30.465,0,0  
43,17.324,0,0  
0



KONDISI 4 (DENGAN DINDING GESEN)

119,48,6,18,21000000

DATA KOORDINAT JOINT

0,0

5,0

9,0

12,0

16,0

21,0

0,5

5,5

9,5

12,5

16,5

21,5

0,10

5,10

9,10

12,10

16,10

21,10

0,14

5,14

9,14

12,14

16,14

21,14

0,18

5,18

9,18

12,18

16,18

21,18

0,22

5,22

9,22

12,22

16,22

21,22

0,25.5

5,25.5

9,25.5

12,25.5

16,25.5

21,25.5

0,29

5,29

9,29

12,29

16,29

21,29

DATA BATANG

1,7,0.00213,0.16

2,8,0.008,0.2933

2,9,0.021,0.564



3,9,0.008,0.2933  
3,10,0.021,0.5675  
4,9,R,R  
4,10,0.008,0.2933  
4,11,0.021,0.564  
5,10,R,R  
5,11,0.008,0.2933  
6,12,0.00213,0.16  
7,8,0.000893,0.0875  
8,9,10+E2,10+E6  
9,10,R,R  
10,11,R,R  
11,12,0.000893,0.0875  
7,13,0.00213,0.16  
8,14,0.008,0.2933  
8,15,0.021,0.564  
9,14,R,R  
9,15,0.008,0.2933  
9,16,0.021,0.5675  
10,15,R,R  
10,16,0.008,0.2933  
10,17,0.021,0.564  
11,16,R,R  
11,17,0.008,0.2933  
12,18,0.00213,0.16  
13,14,0.000893,0.0875  
14,15,10+E2,10+E6  
15,16,R,R  
16,17,R,R  
17,18,0.000893,0.0875  
13,19,0.00213,0.16  
14,20,0.008,0.2933  
14,21,0.021,0.485  
15,20,R,R  
15,21,0.008,0.2933  
15,22,0.021,0.4464  
16,21,R,R  
16,22,0.008,0.2933  
16,23,0.021,0.485  
17,22,R,R  
17,23,0.008,0.2933  
18,24,0.00213,0.16  
19,20,0.000893,0.0875  
20,21,10+E2,10+E6  
21,22,R,R  
22,23,R,R  
23,24,0.000893,0.0875  
19,25,0.00213,0.16  
20,26,0.008,0.2933  
20,27,0.021,0.485  
21,26,R,R  
21,27,0.008,0.2933  
21,28,0.021,0.4464  
22,27,R,R



22,29,0.021,0.485  
23,28,R,R  
23,29,0.008,0.2933  
24,30,0.00213,0.16  
25,26,0.000894,0.0875  
26,27,10+E2,10+E6  
27,28,R,R  
28,29,R,R  
29,30,0.000893,0.0875  
25,31,0.00213,0.16  
26,32,0.008,0.2933  
26,33,0.021,0.3637  
27,32,R,R  
27,33,0.008,0.2933  
27,34,0.021,0.3348  
28,33,R,R  
28,34,0.008,0.2933  
28,35,0.021,0.3637  
29,34,R,R  
29,35,0.008,0.2933  
30,36,0.00213,0.16  
31,32,0.000893,0.0875  
32,33,10+E2,10+E6  
33,34,R,R  
34,35,R,R  
35,36,0.000893,0.0875  
31,37,0.00213,0.16  
32,38,0.008,0.2933  
32,39,0.021,0.3452  
33,38,R,R  
33,39,0.008,0.2933  
33,40,0.021,0.3005  
34,39,R,R  
34,40,0.008,0.2933  
34,41,0.021,0.3452  
35,40,R,R  
35,41,0.008,0.2933  
36,42,0.00213,0.16  
37,38,0.000893,0.0875  
38,39,10+E2,10+E6  
39,40,R,R  
40,41,R,R  
41,42,0.000893,0.16  
37,43,0.00213,0.16  
38,44,0.008,0.2933  
38,45,0.021,0.3452  
39,44,R,R  
39,45,0.008,0.2933  
39,46,0.021,0.3005  
40,45,R,R  
40,46,0.008,0.46  
40,47,0.021,0.3452  
41,46,R,R  
41,47,0.008,0.2933



42,48,0.00213,0.16  
43,44,0.000393,0.0875  
44,45,10+E2,10+E6  
45,46,R,R  
46,47,R,R  
47,48,0.000893,0.0875  
DATA DUKUNGAN  
1,1,1,1  
2,1,1,1  
3,1,1,1  
4,1,1,1  
5,1,1,1  
6,1,1,1  
DATA BEBAN  
7  
7,14.814,0,0  
13,24.769,0,0  
19,31.176,0,0  
25,36.517,0,0  
31,34.979,0,0  
37,36.814,0,0  
43,20.934,0,0  
0

